

ՀԱՅԱՍՏԱՐԻ ՔԻՄԻԱԿԱՐ ՀԱՐԴԵՍ

Химический журнал армении

CHEMICAL JOURNAL OF ARMENIA

ыгричричиь чисьчей

Հ. Գ. Բաբայան, Շ. Հ. Բադանյան (գլխ. խմրագրի տեղակալ), Գ. Հ. Գրի-գորյան, Վ. Մ. Թառայան, Մ. Հ. Ինճիկյան (գլխ. խմրագրի), Լ. Ա. Հակոբյան, Ա. Հ. Մանթաշյան, Մ. Գ. Մանվելյան, Է. Ա. Մարգաթյան, Դ. Բ. Մարտիրոսյան, Լ. Գ. Մելթոնյան, Վ. Հ. Մնացականյան, Գ. Ա. Չուխաջյան, Ս. Հ. Վարդանյան, Մ. Ա. Տեր-Գանիելյան (պատ. քարտուգար), Տ. Վ. Քրմոյան

РЕДАКЦИОННАЯ КОЛЛЕГИЯ

Л. А. Акопян, Г. Г. Бабаян, Ш. О. Баданян (зам. главного редактора).
С. А. Вартанян, Г. О. Григорян, М. Г. Инджикян (глав. редактор).
Т. В. Крмоян, М. Г. Манвелян, А. А. Манташян, Э. А. Маркарян,
Г. Т. Мартиросян, Л. Г. Мелконян, В. А. Мнацаканян, В. М. Тараян,
С. А. Тер-Даниелян (ответ. секретарь), Г. А. Чухаджян

ыбрыярпь Рушь кындый оркый—19, Рыдыцыбль Рушь, 24 Адрес редакции: Ереван-19, Барекамутян, 24 XXVII, № 10, 1974

ОБЩАЯ И ФИЗИЧЕСКАЯ ХИМИЯ

УДК 541-127+547.466.22

ИЗУЧЕНИЕ КИНЕТИКИ ОКИСЛЕНИЯ ГЛИЦИНА ПЕРСУЛЬФАТОМ КАЛИЯ В ВОДНЫХ РАСТВОРАХ И ОПРЕДЕЛЕНИЕ КОНСТАНТ ЭЛЕМЕНТАРНЫХ АКТОВ

Дж. Г. ЧШМАРИТЯН, Н. М. БЕЙЛЕРЯН и Э. А. МКРТЧЯН Ереванский государственный университет Поступило 28 XII 1973

Изучена кинетика окисления глицината серебра персульфатом в бескислородной среде, в интервале температур 15—40°. Установлено, что реакция — радикально-цепная и суммарно второго порядка. Параллельно с цепным протекает также нецепное окисление аминоацетата, приводя к тем же продуктам — формальдегиду и углекислому газу. Методом ингибирования иминоксильным стабильным радикалом определены константы элементарных актов инициирования, роста и обрыва цепи. Предложен вероятный мехинизм реакции.

Рис. 4, табл. 1, библ. ссылок 6.

В [1] установлено, что в присутствии ионов Ag^+ реакция $(NH_2CH_2COO^- + S_2O_8^-)$ протекает с измеримой скоростью; кинетически активной является группировка NH_2CCOO^- .

В данной работе изучена кинетика реакции $S_2O_8^{--} + NH_2CH_2COOAg$ в воде.

Результаты и их обсуждение

Применялись 5-кратно перекристаллизованный из бидистиллята персульфат и аминоуксусная кислота марки «х. ч.». За скоростью реакции следили по уменьшению концентрации персульфата (йодометрически). Опыты проводились в атмосфере гелия особой чистоты при 30° и начальных концентрациях реагентов (monb/n): $[K_2S_2O_8]_0 = 1,25 \cdot 10^{-2}$ [глицин $]_0 = [KOH]_0 = 3 \cdot 10^{-2}$, $[Ag^+]_0 = 2 \cdot 10^{-5}$. Только в бескислородной среде получались воспроизводимые данные. Кислород значительно замедляет реакцию, стирол и акрилонитрил в системе персульфат+хелат полимеризуются. Эти факты товорят о радикально-цепном характере изучаемой нами реакции, что подтверждается также полным ингибированием реакции стабильным свободным радикалом—2,2,6,6-тетраметил-4-оксопиперидин-1-оксилом. Стехиометрия реакции—2P:I комплекс.

Из рис. 1 видно, что $W = \frac{dx}{dt} \sim [X][P]$, где X - текущая

концентрация хелата, а Р — персульфата.

С учетом стехиометрии реакции

$$w = \frac{dx}{dt} = K_{\bullet \Phi} [X - x] [P - 2x].$$

Несмотря на то, что многие перекись-аминные системы являются источниками овободных радикалов, в литературе мало данных об элементарных актах этих реакций и их константах.

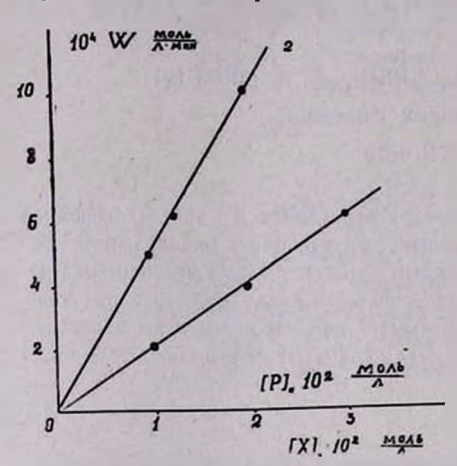


Рис. 1. Зависимость начальных скоростей реакции от начальных концентраций реагентов: 1 — хелата аминоацетата серебра; 2 — персульфата калия.

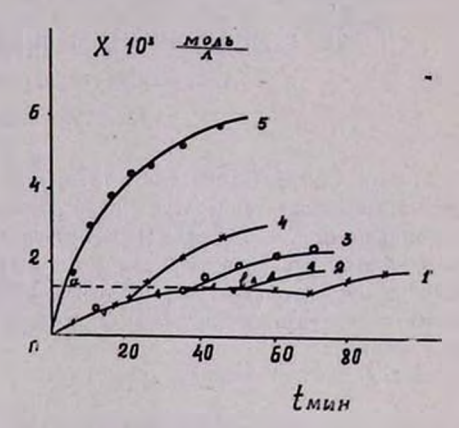


Рис. 2. Кинетические кривые расходования персульфата калия ($[P]_0 = 1.25 \cdot 10^{-2}$, $[глицин]_0 = [KOH]_0 = 3 \cdot 10^{-2}$, $[Ag^+]_0 = 2 \cdot 10^{-5}$ моль/л, $t = 30^\circ$) в присутствии ингибитора в концентрациях (моль/л): $1 - [RNO^*]_0 = 3 \cdot 10^{-4}$; $2 - [RNO^*]_0 = 2 \cdot 10^{-4}$; $3 - [RNO^*]_0 = 1 \cdot 10^{-4}$; $4 - [RNO^*]_0 = 0.5 \cdot 10^{-4}$; $5 - [RNO^*]_0 = 0$.

В данном сообщении делается попытка по методу Плюснина и Чиркова [2] определить константы элементарных актов инициирования $(K_{\text{ин}})$, роста (K_p) и обрыва $(K_{\text{обр}})$ цепей этой реакции. Скорость инициирования определялась методом инизибирования по формуле

$$w_{\text{HM}} = f \frac{[\ln h]_0}{.},$$

где f=1 для RNO·, $[\ln h]_0$ — начальная концентрация ингибитора [RNO·]; — индукционный период*.

Экспериментальные данные удовлетворяют эмпирическому уравнению $\frac{[\ln h]_0}{\tau} = \text{const}$ (рис. 2 и 3).

[•] Время, за которое реакция протекает со скоростью неингибированной реакции.

Из рис. 4 следует, что

$$w_{\rm un} = K_{\rm NII} [комплекс]_0 [P]_0$$

откуда

$$K_{\text{MIR}} = \frac{w_{\text{MIR}}}{\left[\text{КОМПЛЕКС}\right]_{\mathbf{0}}\left[P\right]_{\mathbf{0}}}.$$
 (1)

Температурная зависимость скорости инициирования изучалась в интервале 15—30°. Данные приведены в таблице.

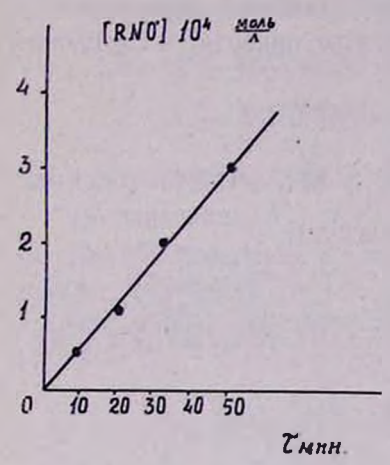


Рис. 3. Зависимость индукционного периода от концентрации ингибитора.

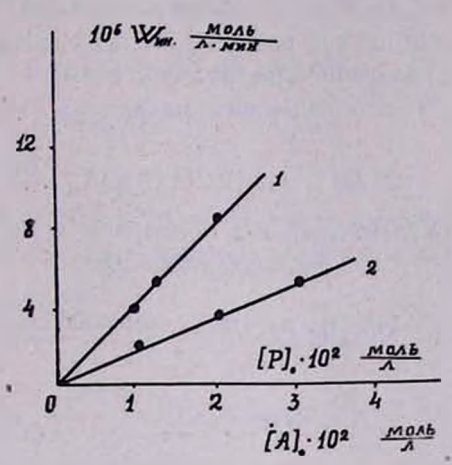


Рис. 4. Зависимость скорости инициирования от начальной концентрации: 1 — персульфата калия; 2 — глицина.

При
$$30^{\circ} \overline{\nu} = \frac{w_{\text{реакции}}}{w_{\text{ин}}} = 150$$
, где $\overline{\nu}$ — средняя длина цепи (учтена лишь доля цепной реакции).

Из уравнения (2) следует, что цепи инициируются в результате реакции иона S₂O₈[−] с незаряженной молекулой комплекса. В таком случае нельзя было ожидать солевого эффекта. С этой целью нами изучено влияние K₂SO₄ на скорость инициирования упомянутой реакции. И действительно, при увеличении ионной силы (3·10^{−8}, 6·10^{−8}, 12·10^{−8}) раствора константа скорости инициирования остается постоянной в полном согласии с теорией [3].

Из рис. 2 видно, что в присутствии RNO на кинетических кривых появляются две области с разными скоростями реакции. Скорость реакции изменяется после полного расходования ингибитора. Первая область кривой, где в присутствии RNO персульфат расходуется с измеримой скоростью, по нашему мнению, описывает нецепной, а вторая область—цепной ход реакции. Исходя из высказанного, интересно было выяснить механизм образования одного из продуктов реакции—формальдегида. Формальдегид количественно определялся полярографически.

Опыты ставились в присутствии и в отсутствие ингибитора. Как видно из рис. 2, точкам «а» и «в» соответствует одинаковая глубина превращения персульфата. Пробы из реакционного раствора брались на 5-ой минуте реакции при $[RNO]_0 = 0$ и на 50-ой минуте при $[RNO]_0 = 2 \cdot 10^{-4}$ моль/л, и определялось количество образовавшегося формальдегида. Оказалось, что количество образовавшегося формальдегида не зависит от механизма окисления глицина, т. к. в точке «в» имеется только нецепной процесс, а в точке «а» представлены оба механизма, причем преобладает цепной. Ниже 30° упомянутая реакция протекает по цепному механизму. Это, по-видимому, обусловлено низким значением энергии активации цепной реакции. Экспериментальные данные приводят к следующей вероятной кинетической схеме:

для нецепного механизма

$$2S_2O_8^{--} + NH_2CH_2COOAg \xrightarrow{H_3O} 2HSO_4^- + NH_3^- + HCHO + CO_3$$

(Углекислый газ определен хроматографически); для цепного механизма

0)
$$NH_2CH_2COOAg + S_2O^{2-} \xrightarrow{K_{HII}} SO_4^{2-} + SO_4^{-} + NH_2CH_2COO + Ag^+$$

1)
$$SO_4^- + NH_2CH_2COO^- \xrightarrow{K_p'} HSO_1^- + NH_2CH_2 + CO_3$$

2)
$$NH_2CH_2 + S_2O_8^{2-} \xrightarrow{K_p} HSO_4^- + SO_4^- + NH = CH_2$$

3)
$$NH_2CH_2 + SO_4 \xrightarrow{K_{06p}} HSO_4 + NH = CH_2$$

5)
$$NH_3 + HSO_4^- \longrightarrow NH_4SO_4^-$$

Из приведенной схемы следует, что

$$K_{\rm sob} = \sqrt{K_{\rm p}^* \cdot K_{\rm p}^*} \sqrt{\frac{K_{\rm sos}}{K_{\rm odp}}}$$

При обозначении $V\overline{K_{\mathtt{p}}\cdot K_{\mathtt{p}}}=K_{\mathtt{p}}$ получаем

$$K_{\text{sop}} = K_{\text{p}} \sqrt{\frac{K_{\text{NR}}}{K_{\text{obp}}}}.$$
 (2)

Для определения Кр метод Плюснина и Чиркова дает возможность вычислить стационарную концентрацию радикалов ($[R]_{cr.}$). Зная величину последней, можно рассчитать K_n :

$$K_{\mathbf{p}}^{\star} = \frac{w_{\mathbf{p}}}{[R]_{\mathbf{cr.}}[P]_{\mathbf{p}}} \tag{3}$$

Этот метод применен к реакции $S_2O_8^{2-}$ с гетероциклическими аминоспиртами и аминоэфирами [4]. Из приведенной схемы следует, что

$$K_p$$
 [SO $_4$] ст. \cdot [A] $_0 = K_p$ [A \cdot] ст. \cdot [P] $_0$ и $K_p = \sqrt{K_p \cdot K_p}$.

При помощи наших и литературных данных можно оценить K_p и K_p . По литературным данным, при флеш-фотолизе персульфата стационарная концептрация радикалов $SO_4 \cong 10^{-5}$ моль/л [5], а в случае спонтанного распада — $[SO_4]_{\text{ст}} \cong 10^{-8}$ моль/л [6]. Можно полагать, что в присутствии аминов $[SO_4]_{\text{ст}} \cong 10^{-6}$ моль/л. Отсюда,

$$K_p^* \cdot 10^{-6} \cdot 10^{-2} \cong 10^3 \cdot 10^{-5} \cdot 10^{-2}$$
, $K_p^* \cong 10^4 \ M^{-1} \ \text{muh}^{-1}$
 $K_p = \sqrt{10^4 \cdot 10^3} \cong 3 \cdot 10^3 \ M^{-1} \ \text{muh}^{-1}$.

Таким образом, $K_{\rm p}\!<\!K_{\rm p}\!<\!K_{\rm p}$

По значениям $K_{\text{ин}}$ и K_{p} по (2) рассчитаны $K_{\text{обр}}$. Опыты ставились при 15—25°, поскольку в указанном интервале реакция протекает по цепному механизму.

Полученные экспериментальные и расчетные данные приведены в таблице.

		1 полица				
7, °K						
288	293	298				
0,15	0,22	0,3				
4,0	5,8	8,0				
0,75	0,7	0,6				
1,0	1,6	2,7				
5,3	8,2	11,6				
0,27	0,42	0,7				
	0,15 4,0 0,75 1,0 5,3	288 293 0,15 0,22 4,0 5,8 0,75 0,7 1,0 1,6 5,3 8,2				

Порядок полученных значений стационарной концентрации свободных аминных радикалов соответствует значениям, приведенным для ряда жидкофазных реакций ($S_2O_8^{--}$ + амины) [4].

На основании данных таблицы определена температурная зависимость констант (M^{-1} мин $^{-1}$):

$$K_{\text{BH}} = 1.5 \cdot 10^{9} \text{ exp } (-15500/RT)$$
 $K_{p}^{*} = 6.3 \cdot 10^{15} \text{ exp } (-17000/RT)$
 $K_{obp} = 5.7 \cdot 10^{11} \text{ exp } (-6500/RT)$
 $K_{gap} = 4 \cdot 10^{15} \text{ exp } (-21500/RT)$

ջբԱՅԻՆ ԼՈՒԾՈՒՅԹՆԵՐՈՒՄ ՊԵՐՍՈՒԼՖԱՏՈՎ ԳԼԻՑԻՆԻ ՕՔՍԻԳԱՑՄԱՆ ԿԻՆԵՏԻԿԱՅԻ ՈՒՍՈՒՄՆԱՍԻՐՈՒԹՅՈՒՆ ԵՎ ՏԱՐՐԱԿԱՆ ԱԿՏԵՐԻ ՀԱՍՏԱՏՈՒՆՆԵՐԻ ՈՐՈՇՈՒՄ

2. 2. Zouarissul, v. v. postorsul L f. 2. uhrsqsul

Ուսումնասիրված է պերտուլֆատով արծաթի պլիցինատի օքսիդացման կինետիկան թթվածնաղուրկ պայմաններում 15—40° ջերմաստիճանային միջակայքում, Պարզված է, որ այդ ռետկցիան երկրորդ կարդի է և ընթանում է ռուդիկալա-շղթայական մեխանիզմով, Բացահայաված է, որ արձաթի ամինոացետատի շղթայական մեխանիզմով օքսիդացմանը ղուգրնթաց տեղի ունի նաև ոչ շղթայական պրոցես։ Երկու մեխանիզմներն էլ հանդեցնում են միևնույն վերջանյութերի՝ մրջնալդեհիդի և ածխաթթու դազի,

Ինհիրիտորային մեխոդով որոշված է տարրական ակտերի՝ հարուցման, ղարգացման և հատման արադության հաստատունները։ Որոշված են վերջիններիս ջերմաստիճանային կախվածությունները։

KINETICS OF GLYCINE OXIDATION BY POTASSIUM PERSULFATE IN AQUEOUS SOLUTIONS AND RATE CONSTANTS OF THE ELEMENTARY STEPS

J. H. CHSHMARITIAN, N. M. BEYLERIAN and E. H. MKRTCHIAN

The silver glycinate oxidation by potassium persulfate has been studied in oxygen-free medium, in an aqueous solution and in the temperature range of 15—40°C. It was established that the reaction has mainly a radical-chain character.

The non-radical path of the reaction is expressed fewly. The result of both mechanisms is the same: formation of formaldehyde and carbon dioxide.

The rate constants of elementary reactions of chain initiation, propagation and termination were determined using iminoxyl stable free radicals as scavenger.

ЛИТЕРАТУРА

- 1. Н. М. Бейлерян, Дж. Г. Чимаритян, О. А. Чалтыкян, ДАН Арм. ССР. 55, 103 (1972).
- А. Н. Плюснин, Н. М. Чирков, Теор. и эксп. химия, 2, № 6, 1777 (1966), А. Н. Плюснин, Авт. канд. дисс. М., 1967.
- Н. М. Эмануэль, Д. Г. Кнорре, Курс хим. кинетики, Изд. «Высшая школа», М., 1969, стр. 126.
- 4. Н. М. Бейлерян, Р. П. Меликсетян, О. А. Чилтыкян, ДАН Арм ССР, 53, 32 (1971).
- 5. E. Heckel, A. Helglein, G. Beck Berichte der Bunsen Gesel. phys. chem., 70, No 2, 149 (1966).
- 6. W. V. Smith, J. Am. Chem. Soc., 71, 4077 (1949).

XXVII, No 10, 1974

НЕОРГАНИЧЕСКАЯ И АНАЛИТИЧЕСКАЯ ХИМИЯ

УДК 543.066

К ОСОБЕННОСТЯМ ЭКСТРАКЦИИ ПЕРРЕНАТ-ИОНА ОСНОВНЫМ КРАСИТЕЛЕМ—МЕТИЛОВЫМ ЗЕЛЕНЫМ

В. М. ТАРАЯН, Ф. В. МИРЗОЯН и Ж. В. САРКИСЯН

Ереванский государственный университет Институт общей и неорганической химии АН Армянской ССР, Ереван Поступило 4 II 1974

Исследована экстракция перрената метилового зсленого (МЗ) в зависимости от концентрации МЗ и кислотности среды, а также от природы органического растворителя. Показано, что максимальное и постоянное значение оптической плотности бензольных экстрактов находится в зависимости от рН и от концентрации реагента красителя. При повышении концентрации МЗ «насыщение» наблюдается в более кислой среде и наоборот.

Методами сдвига равновесия и изомольных серяй установлено, что соотношение компонентов ($n=M3:ReO_4^-$) заметно отклоняется от 1:1 и число n равно примерно 1,5.

Высказано мнение, что при извлечении перрената МЗ бензолом одновременно с ним соэкстрагируется и простая соль реагента, возможно, путем образования смешанного ионного ассоциата с межмолекулярной водородной связью.

Применение более полярного растворителя — бутилацетата, приводило к снижению как соотношения компонентов (1:1), так и величины оптической плотности соответствующих экстрактов примерно в 1,5 раза. Последнее обстоятельство, по-видимому, служит дополнительным аргументом, говорящим в пользу вышеописанного явления соэкстракции.

Рис. 5, библ. ссылок 7.

Основные органические красители, обладающие интенсивной окраской, нашли широкое применение для экстракционно-фотометрического определения микроколичеств многих элементов в виде трехкомпонентных соединений типа ионных ассоциатов.

При определении стехиометрического отношения компонентов в этих извлекаемых в органическую фазу соединениях применяются различные спектрофотометрические методы, приводящие в преобладающем большинстве случаев к значениям n=1.

Однако при изучении экстракции броммеркурната основного красителя—метилового зеленого (МЗ) из солянокислой, бромистоводородной и сернокислой сред было установлено, что при определенной кислотности водной фазы анионный комплекс ртути (II) реагирует с катионом МЗ в отношении 1:2 [1—2]. Аналогичное явление наблюдалось при извлечении меркуро-иона тем же реагентом из сернокислой среды в присутствии анионных лигандов: хлорида, бромида и роданида, когда процесс экстракции изучался как функция от рН, концентрации аниона-лиганда и реагента-красителя [3—5].

Детальным исследованием системы $Hg^{2+}-Br^--$ M3—органический растворитель с использованием радиоактивного изотопа ^{203}Hg было показано, что возрастание оптической плотности экстракта (т. е. повышение соотношения $M3:HgBr_3^-$) при повышении концентрации бромида или M3 обусловлено соэкстракцией простой соли красителя.

Для подтверждения возможности явления соэкстракции на других примерах нами была избрана система перренат-ион—МЗ—органический растворитель. Эта система представляла интерес, поскольку при образовании ионного ассоциата однозарядный анион ReO₄— должен был обеспечить образование нейтральной молекулы ионного ассоциата при отношении компонентов, равном 1:1. Кроме того, в этом случае исключалась необходимость в добавлении аниона-лиганда, что позволяло исследовать процесс экстракции в зависимости только лишь от двух факторов: кислотности и концентрации реагентв-красителя.

В настоящем сообщении приведены результаты изучения экстракции перренат-иона основным красителем—метиловым зеленым (МЗ).

Экспериментальная часть

Запасной раствор перрената натрия готовился растворением соответствующей навески в дистиллированной воде. Его титр устанавливался гравиметрически, хлоридом тетрафениларсония.

Раствор МЗ готовился растворением извески препарата марки Reanal (Colour Index № 42590) в рассчитанном объеме дистиллированной воды. В связи с некоторой пеустойчивостью во времени использовались только свежеприготовленные растворы. Кислотиссть водной фазы регулировалась серной кислотой. Оптическая плотность экстрактов измерялась на спектрофотометре СФ-4А, а рН водной фазы—стеклянным электродом на потенциометре ЛПУ-01.

В качестве наиболее подходящего органического растворителя, извлекающего рений 1-кратной экстракцией практически полностью и не экстрагирующего простую соль МЗ, был избран бензол. Экстракционное равновесие устанавливалось за 4 мнн. Оптическая плотность бензольных экспрактов остается постоянной длительное время.

Влияние кислотности водной фазы и концентрации реагента-красителя на оптическую плотность экстрактов перрената МЗ. При изучения влияния рН на светопоглощение экстрактов были использованы растворы МЗ двух различных концентраций. Результаты исследования представлены на рис. 1. Из приведенных данных следует, что оптическая плотность бензольных экстрактов, представленная на рис. 1 в виде обычных «кривых насыщения» в зависимости от рН развивается неодинаково. При 8·10⁻⁸ М концентрации МЗ постоянное значение оптической плотности (~0,60) достигается при рН 1 и далее до рН 2,0 не изменяется. Снижение концентрации красителя в 10 раз сдвигает начало области насыщения до рН 2,0. Таким образом, максимальное и постоянное значение оптической плотности бензольных экстрактов находится в зависимости как от рН, так и от концентрации реагента-красителя. При повышении концентрации МЗ «насыщение» наступает в более кислой среде, т. е. при рН 1,0. При более низкой концентрации красителя в водной

фазе насыщение наступает в области рН 2. Однако поведение соответствующих «холостых» различно. В первом случае (кр. 1', рис. 1) оптическая плотность «холостого», начиная с рН 1,25, последовательно возрастает, в то время как при экстракции из разбавленных по красителю растворов она практически равна нулю (кр. 2', рис. 1).

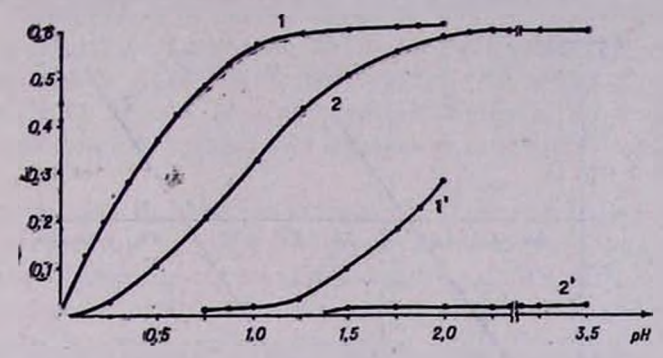


Рис. 1. Зависимость оптической плотности бензольных экстрактов ог рН при различных исходных концентрациях МЗ: 1, 2— экстракты исследуемого соединения; 1', 2'— холостые* экстракты. [ReO4*]=5,375· 10^{-6} г-ион/л; $V_B = V_0 = 10$ мл, b = 1 см [M3], М: 1, 1'— $8 \cdot 10^{-3}$; 2, 2'— $8 \cdot 10^{-4}$.

Одновременно была проверена возможность извлечения перренатнона в органическую фазу бензолом в отсутствие основного красителя МЗ при оптимальной кислотности (рН 1). Соответствующим экспериментом было установлено, что перренат-ион в отсутствие МЗ бензолом не экстрагируется.

Методом повторной экстракции было показано, что 1-кратной экстракцией перренат-ион практически полностью переходит в органическую фазу. Методом реэкстракции была определена величина фактора извлечения перрената бензолом в виде трехкомпонентного его соединения [6]. Она оказалась равной 0,98.

Далее методом сдвига равновесия определяли соотношение компонентов в экстрагируемом соединении при значениях рН 1,0 и 2,20 (рис. 2).

Полученные результаты говорят об отклонении соотношения компонентов (МЗ: ReO₄) от 1:1, n=1,5. Обращает на себя внимание и то обстоятельство, что это соотношение компонентов наблюдается жак при рН 1,0 и наличии в водной фазе более высокой концентрации красителя, так и при рН 2,20, когда оптимальная концентрация красителя на порядок ниже.

Для подтверждения объективности полученных результатов был применен и метод изомольных серий (рис. 3, кр. 1).

Из приведенной на рис. 3 кр. 1 завиоимости выхода комплекса от состава водной фазы следует, что экстремальной точке соответствует соотношение компонентов M3: ReO₄ = 1.5:1.

Таким образом, данные, полученные двумя различными спектрофотометрическими методами свидетельствуют о том, что соотношение компонентов в перренате МЗ при его извлечении бензолом заметно отклоняется от 1:1. По-видимому, при извлечении перрената МЗ бензолом одновременно с ним соэкстрагируется и простая соль реагента.

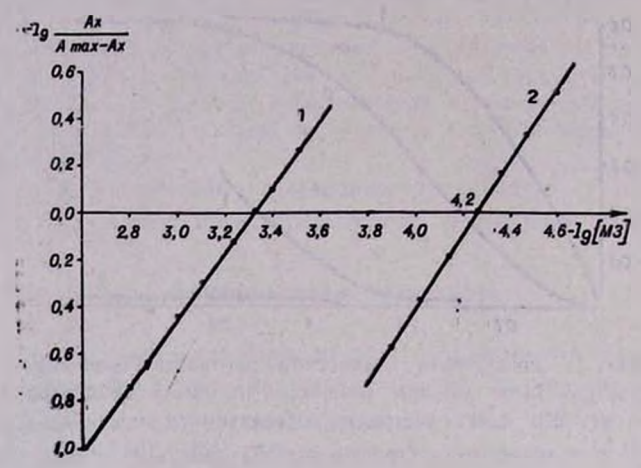


Рис. 2. Определение мольного отношения (n) компонентов в экстрагируемом соединении. 1 - pH 1,0; 2 - pH 2,20; $n = tg \alpha = M3 : ReO_4 = 1,5$.

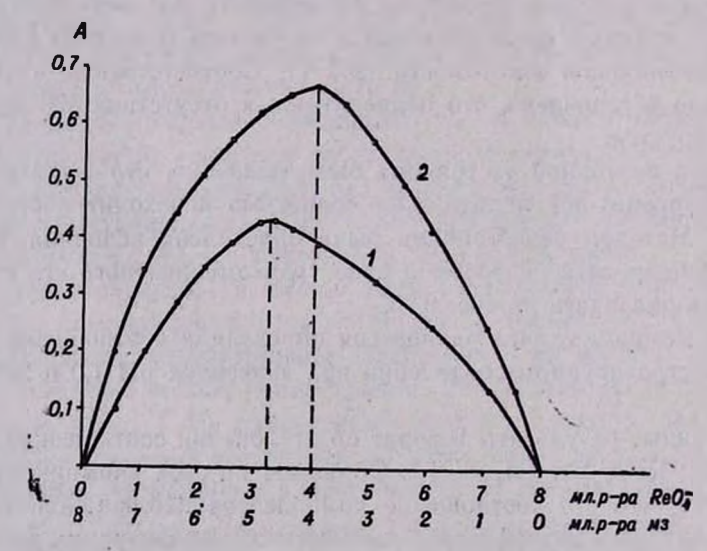


Рис. 3. Изомольные серии системы МЗ—ReOT с использованием в качестве экстрагента бензола (1) и бутилацетата (2). pH 1.0; $V_B = V_0 = 10$ мл; b = 0.5 см. $1 - \Sigma$ [ReOT] + + [M3] = $0.86 \cdot 10^{-4}$ M; $2 - \Sigma$ [ReOT] + [M3] = $1.72 \cdot 10^{-4}$ M.

Влияние природы органического растворителя на соотношение комглонентов в экстрагируемом ионном ассоциате. Следовало ожидать, что
явление соэкстракции простой соли красителя при извлечении образо-

вавшегося ионного ассоциата будет в определенной мере зависеть и ог природы применяемого для экстракции органического растворителя. В вышеописанных опытах в качестве такового был иопользован бензол, т. е. неполярный растворитель. Поэтому представлялось интересным проверить влияние более полярных органических растворителей на соотношение компонентов в экстрагируемом ионном ассоциате, т. е. на явление соэкстракции. В качестве подобных растворителей были испробованы интробензол (ДП=34,75), этилацетат (ДП=6,0) и бутилацетат (ДП=4,87) [7]. От первых двух пришлось отказаться, т. к. они одновременно с извлечением перрената МЗ извлекали и простую соль реагентакрасителя.

Предварительно было установлено, что перренат в отсутствие красителя бугилацетатом не экстрагируется. Была снята кривая светопоглощения бутилацетатных экстрактов перрената МЗ как функция от концентрации реагента-красителя при рН 1 и методом реэкстракции [6] был определен фактор извлечения перрената МЗ бутилацетатом (0,75).

Полученные результаты представлены на рис 4 (кр. 1) и одновременно сопоставлены с кривыми, полученными для бензольных экстрактов (кр. 2 и кр. 3).

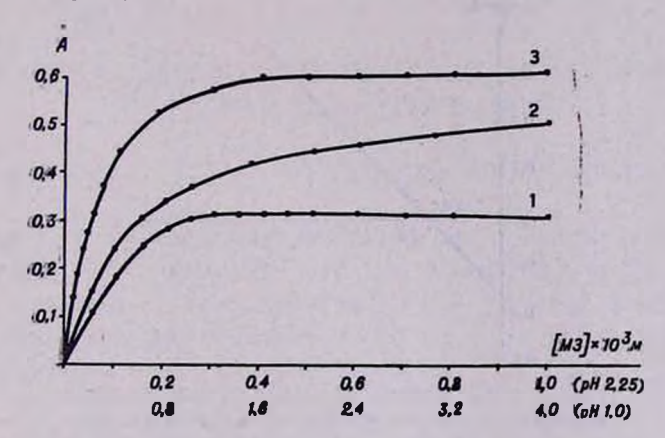


Рис. 4. Зависимость оптической плотности бутилацетатных (1) и бензольных (2, 3) экстрактов от концентрации МЗ. $[\text{ReO4}] = 5,375 \cdot 10^{-6} \text{ z-uou/a}; \ V_{\text{B}} = V_{\text{O}} = 10 \text{ м.a., } b = 1 \text{ см.} \\ 1, 2 - \text{pH 1,0}; \ 3 - \text{pH 2,25}.$

Из рис. 4 следует, что область насыщения для бутилацетатных экстрактов (кр. 1) наблюдается, начиная с $1,2\cdot 10^{-3}$ М концентрации МЗ в водной фазе (A=0,3), в то время как при той же кислотности и заметно более высокой концентрации МЗ ($4\cdot 10^{-8}$ М) оптическая плотность бензольных экстрактов все еще не приобретает постоянного значения, хотя и пс своей абсолютной величине превосходит оптическую плотность бутилацетатных экстрактов (кр. 2).

С повышением рН водной фазы до 2,25 область насыщения на кривых бензольных экстрактов проявляется, начиная с 2,4·10⁻³ М концентрации МЗ, а соответствующая оптическая плотность достигает величаныю, 6 (рис. 4, кр. 3). Методом повторной экстракции было установлено, что при практически полном извлечении перрената МЗ бутилацетатом (рН 1) оптическая плотность соответствующего экстракта возрастает до значения 0,40. При сравнении этой величины с максимальной оптической плотностью бензольных экстрактов, полученных при той же кислотности и оптимальной концентрации реагента-красителя (A = 0,60), можно придти к выводу, что в бутилацетатный экстракт переходит заметно меньше реагента МЗ, ибо оптическая плотность определяется количеством перешедшего в экстракт катиона красителя.

Таким образом, сравнительно низкое значение оптической плотности бутилацетатного экстракта перрената МЗ следует объяснить отсутствием явления соэкстракции, чему способствовала природа растворителя. Это подтверждается и определением соотношения компонентов в понном ассоциате, извлеченном бутилацетатом (МЗ: $ReO_4^-=1:1$). Последнее было установлено методами сдвига равновеоия (рис. 5) и изомольных серий (рис. 3, кр. 2).

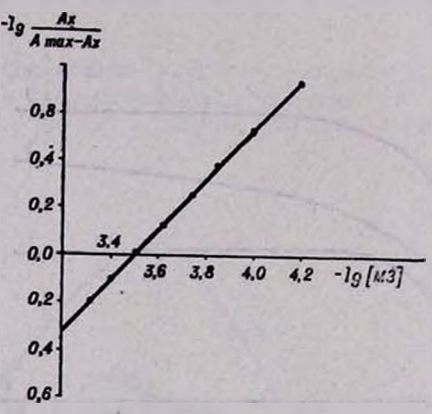


Рис. 5. Определение мольного отношения компонентов в эктрагируемом бутилацетатом соединении. pH 1,0; n = tg z = M3: ReO = 1,0.

Возможность извлечения иоиного ассоциата с отношением компонентов, равным 1,5:1, можно, по-видимому, объяснить переходом в органическую фазу смешанного иоиного ассоциата (перрената МЗ и простой соли МЗ) с межмолекулярной водородной связью.

ՄԵԹԻԼԱՅԻՆ ԿԱՆԱՉ ՀԻՄՆԱՑԻՆ ՆԵՐԿԱՆՅՈՒԹՈՎ ՊԵՐՌԵՆԱՏ-ԻՈՆԻ ԷՔՍՏՐԱԳՄԱՆ ԱՌԱՆՁՆԱՀԱՏԿՈՒԹՅՈՒՆՆԵՐԻ ՄԱՍԻՆ

4. V. PUPUSUL, S. 4. VIPANSUL L J. 4. VUPSUSUL

Ուսումնասիրված է մեթիլային կանաչի (ՄԿ) պերռենստոի արտահանումը կախված ՄԿ-ի կոնցենտրացիայից և միջավայրի թթվությունից, ինչպես նաև օրդանական լուծիչի բնույքից։ Ցույց է արված, որ բենվոլային էքստրականեւրի օպտիկական խտուքլան արժեքի մաքսիմալ և հաստատուն մեծուքյունը կախված է ինչպես pH-ից, այնպես էլ ռեագենտ հանդիսացող ներկանյունի կոնցենտրացիան մեծացնելիս «հագեցումը» նը-կատվում է ավելի քժվային միջավայրում և հակառակը։

Հավասարկչոության տեղաշարժի և իկոմոլյար սերիաների եղանակներով Հաստատված է, որ կոմպոնենտների Տարաբերությունը (n=ՄԿ:ReO4) նկատներիր կունն շեղվում է 1:1-ից և ո-ը ստացվում է հավասար մոտավորապես 1,5։

Կարծիք է հայտնված, որ ըննվոչով ՄԿ-ի պերռենատի էքստրակաման ժամանակ, վերջինիս հետ միաժամանակ հարակից արտահանվում է նաև սեաղենտի հասարակ աղը, հնարավոր է, միջմոլեկուլային ջրածնական կասյով խառն իոնական ասոցիատի առաջացման ճանապարհով։

Ավելի ակտիվ լուծիչի՝ թուտիլացևատտի, կիրառումը Տանգեցնում է ինչպես կոմպոնենաների Հարաբերության (1:1), այնպես էլ Համապատասխան Լրստբակաների օպտիկական խտության մեծության իջեցման մոտավորապես մեկուկես անդամ։ Վերջին Հանդամանքը, ըստ երևույթին, Հանդիսանում է մի լրացուցիչ փաստարկ, որը խոսում է վերևում նկարագրված Հարակից արտա-. Տանման մեխանիզմի օգտին։

ON THE PECULIARITIES OF EXTRACTION OF PERRHENATE-ION BASIC DYE OF METHYL GREEN

V. M. TARAYAN, F. V. MIRZOYAN and Zh. V. SARKISSIAN

It has been shown, that in extraction of perrhenate of methyl green with benzene, it is coextracted and the simple salt of the dye, consequently the relation of the components in the extracted associate is equal to 1:1,5. The exchange of benzene with the more polar solvent of butyl acetate presses the coextraction of the dye.

ЛИТЕРАТУРА

- 1. В. М. Тароян, Е. Н. Овсепян, С. П. Лебедева, ДАН АрмССР, 51, № 4, 219 (1970).
- 2. В. М. Тираян, Е. Н. Овсепян, С. П. Лебедеви, ЖАХ, 26, 1745 (1971).
- 3. В. М. Тараян, Ф. В. Мирзоян, ДАН Арм. ССР, 56, 239 (1973).
- 4. В. М. Тараян, Ф. В. Мирзоян, Арм. хим. ж., 26, 903 (1973).
- 5. В. М. Тараян, Ф. В. Мирзоян, Уч. зап. ЕГУ, № 11, 122, 65 (1973).
- И. А. Блюм, Экстракционно-фотометрические методы анализа, Изд. «Наука», М, 1970, стр. 34.
- .7. Справочинк химика, т. 1, М.-Л., 1962, стр .950.

ДЦЗЧЦЧЦЪ РРГРЦЧЦЪ ЦГОЦЧРГ АРМЯНСКИЯ ХИМИЧЕСКИЯ ЖУРНАЈ

XXVII, № 10, 1974

УДК 543.842+543.843+543.848

ПРИМЕНЕНИЕ ПРОДУКТА ТЕРМИЧЕСКОГО РАЗЛОЖЕНИЯ ПЕРМАНГАНАТА КАЛИЯ, ОСАЖДЕННОГО НА АСБЕСТЕ ИЛИ ПЕМЗЕ, В КАЧЕСТВЕ КАТАЛИЗАТОРА СОЖЖЕНИЯ И ПОГЛОТИТЕЛЯ ПРИ ЭЛЕМЕНТНОМ АНАЛИЗЕ ОРГАНИЧЕСКИХ СОЕДИНЕНИЯ

А. А. АБРАМЯН, Р. А. МЕГРОЯН, А. А. КОЧАРЯН и А. С. ТЕВОСЯН Институт органической химии АН Армянской ССР, Ереван Поступило 6 II 1973

Разработан новый вариант микроопределения углерода и водорода, а также совместного микроопределения углерода, водорода и галогенов (Cl, Br, I) в органических соединениях, содержащих C, H, O, N, Cl, Br, I, F, S, P и Se с использованием в качестве катализатора сожжения и поглотителя продукта термического разложения перманганата калия (ПТРПК), осажденного на асбесте или пемзе.

Табл. 3, библ. ссылок 4.

Ранее нами было показано [1], что ПТРПК, осажденный на асбесте, является не только катализатором сожжения но и хорошим поглотителем гетероэлементов и их соединений, мешающих определению углерода и водорода. Слабым местом данного метода являлась необходимость создания для полного сожжения опециальной окислительной зоны перед слоем катализатора при помощи электропечи длиной в 100 мм, нагреваемой до 850—900°.

Дальнейшие наши исследования показали, что введение в трубку для сожжения осажденного на асбесте или пемзе [2] слоя ПТРПК длиной в 150—200 мм, нагреваемого до 400—450°, полностью обеспечивает количественное окисление органических соединений. Таким образом устраняется необходимость создания специальной окислительной зоны. В настоящей работе проведено микроопределение углерода и водорода, а также совместное микроопределение углерода, водорода и галотенов в органических соединениях с использованием по этому видоизмененному методу осажденного на асбесте или пемзе ПТРПК без создания окислительной зоны. Поглотитель на пемзе выгодно отличается от поглотителя на асбесте простотой и легкостью приготовления. Использование же пемзы вместо кварца облегчает извлечение катализатора из фарфоровой чашки после прокаливания в муфельной печи.

Таблица 1

			C, %			H. º/	
Вещество	Навеска,	нычис-	найдено	погреш- ность (абс. °/,в)	пычис-	найдено	Hocth (asc. 0/0)
Антрацен	3,360 3,340 3,760	94,26	94,47 94,53 93,97	+0.21 -0.27 -0.29	5,74	5,60 6,02 5,57	$ \begin{array}{r} -0,14 \\ +0.28 \\ -0,17 \end{array} $
C11H22O11	3,582 3,642 3,882	42,12	42,36 42,35 42,40	-0,24 +0,23 +0,28	6,48	6,50 6,28 6,30	-0,02 -0,20 -0,18
сісн₃соон	5,290 4,160 4,510	25,39	25,65 25,29 25,45	+0,26 -0,10 +0,06	3,17	3,05 3,44 3,47	$ \begin{array}{r} -0,12 \\ +0,27 \\ +0,30 \end{array} $
BrC ₆ H ₅ COOH	3,818 5,033 5,520	41,79	41,88 41,80 41,55	+0,09 +0,01 -0,24	2,48	2,60 2,75 2,35	+0,12 +0,27 -0,13
C ₆ H ₆ Br ₆	4,268 5,935 5,065	12,90	13,06 12,64 12,60	+0,16 -0,26 -0,30	1,08	0,99 0,97 1,34	-0,09 -0,11 +0,26
Тефлон	5,635 4,120 5,900	24,00	24,22 24,18 23,80	$^{+0,22}_{+0,18}_{-0,20}$	0,00	0,27 0,19 0,00	+0,27 +0,19 0,00
H ₃ NC ₆ H ₄ SO ₃ H	5,520 5,400 3,318	41,57	41,55 41,38 41,85	-0,02 -0,19 -0,28	4,04	4,14 4,34 4,27	+0,10 +0,30 +0,23
CS(NH ₂) ₂	3,670 4,118 5,060	15,79	15,63 15,80 16,00	-0.16 + 0.01 - 0.21	5,26	5,28 5,35 5,40	+0,02 +0,09 +0,14
C ₂ H ₅ (CH ₃) ₂ N—CH=CH—CF ₃ + 1-	4,710 4,080 3,500	28,47	28,45 28,23 28,70	-0,02 -0,24 +0,23	4,41	4,46 4,30 4,59	+0,05 -0,11 +0,18
(C ₂ H ₅) ₄ N I	5,214 4,345 4,642	37,35	37,47 37,59 37,60	+0,12 +0,24 +0,25	7,78	8,01 8,01 7,87	+0,23 +0,23 +0,09

Экспериментальная часть

Приготовление катализатора-поглотителя. ПТРПК, осажденный на асбесте, готовился по [1]. Для получения ПТРПК, осажденного на пемзе, в фарфоровой чашке готовилась смесь предварительно размельченных до 0,5—1,0 мм зернышек пемзы с пермантанатом калия в соотношении 3:1, при перемешивании добавлялось небольшое количество дистиллированной воды, затем чашка оставлялась в сущильном шкафу 3—4 часа при 200—250°, после чего прокаливалась в муфельной печи 15—20 час. при 960—1050°.

Армянский химический журнал, XXVII, 10-2

Таблица 2

			C, 0'0		1	H, °/	0
Вещество	Напеска,	BLATIIC- ACIIO	найдено	ποτρεπ- ποττь (αδυ. °/ ₀)	BENTIIC-	пандено	HOUTH (afic. °/0
сісн,соон	4,130 5,400	25.39	25,57 25,27	+0.18 -0.12	3,17	3,27 3,14	+0.10 -0,03
C12H8O4CI2	4,750 3,400	47,13	47,11 47,03	-0.02 -0.10	2,41	2,58 2,59	+0,17 +0.18
(C ₆ H ₄ NH ₂) ₂ ·2HCl	3,890 3,880	55,99	55,99 55,94	0,00 -0,05	5,44	5,29 5,27	-0.15 -0.17
C _e H _e Br _e	4,272 4,160	12,90	13,27 13,12	+0,37 +0,22	1,08	1,13 1,34	+0,05 +0,26
BrC₄H₄COOH	3,950 4,020	41,79	4i,87 41,93	+0.08 -0.14	2,48	2,77 2,76	$^{+0.29}_{+0.28}$
CS(NH ₂) ₂	4,880 4,760	15,90	15,61 15,82	$-0.29 \\ \div 0.02$	5,33	5,20 5,05	$-0.13 \\ -0.28$
H ₂ NC ₈ H ₄ SO ₃ H	4,330 4,920	41,57	41,73 41,66	+0,16 -0,11	4,04	4,15 4,13	÷0,11 0,09
C ₂ H ₅ SeCl ₂	5,800 4,225	34,71	34,99 34,83	÷0,28 ÷0,12	3,30	3,06 3,19	-0.24 -0.11
(C ₆ H ₅) ₃ P	4,850 4,672	82,44	82,50 82,52	+0,06 +0,08	5,72	5,41 5,48	-0,31 -0,24
Тефлон	6,225 3,790	24,00	24,18 23,94	+0,18 -0,06	-	=	=
(C ₃ H ₅) ₄ N I	4,480 4,560	37,35	37,15 37,25	-0,20 -0,10	7,77	8,00 7,90	+0,23 +0,13
Антрацен	3,670 4,400	94,24	94.21 94.39	-0,03 +0,15	5,76	5,48 5,60	-0,28 -0,16
Сахароза	5,670 5,330	42.12	42,21 42,33	÷0,09 +0,21	6,68	6,57 6,79	-0,11 + 0,11

Выполнение анализов.

а) Микроопределение углерода и водорода. Определение углерода и водорода проводилось на стандартной установке. Носовая часть трубки для сожжения закрывалась пятимиллиметровым слоем асбеста, насыпался слой поглотителя длиной в 15 см, завершаемый асбестовым тампоном. До выполнения анализов слой катализатора-поглотителя нагревался 20 мин. при 800—900° в быстром токе кислорода (35—50 мл/мин). Во время анализов слой нагревался электропечью типа МА-2/14 до 450—500°, а в случае иодсодержащих соединений до 400—450°. Кварцевая пробирка с навеской вещества (3—6 мг) вводилась в трубку. Сожжение производилось электропечью типа МА-Г/бр при 800—900° в токе кислорода со скоростью 12—15 мл/мин. Продолжительность знализов 35—40 мин. Ошибка определений углерода и водорода±0,30% абс.

			C. %		H, %			Галоген, 0/		
Вещество	Навеска,	вычис-	найдено	погреш- ность (абс. º/e)	вычис-	найдено	norpem- nocta (a6c. °/ _o)	вычис-	найдено	HOCTE HOCTE (acc. %)
сісн₂соон	5,720 4,330	25,39	25, 63 25, 45	÷0,24 +0,06	3,17	3,30 2,99	+0.13 -0.18	37,56	37,43 37,61	-0.13 -10.05
C ₆ H ₈ Br ₆	5,090 5,940	12,90	13,20 13,09	+0,30 +0,19	1,08	1,28 0,99	0,20 -0,09	86,02	85,79 86,11	$-0.23 \\ +0.09$
CH_3 N CH_2 CH_3 CH_3 CH_3 CH_3 CH_3 CH_3	5,240 5,120	56,80	56,50 56,66	-0.30 -0.14	5,91	5.83 5.68	-0.08 -0.23	23,66	23,51 23,77	-0.15 +0.11
BrC ₆ H ₄ COOH	2,720 3,462	41,79	41,94 41,78	+0.15 -0.01	2,48	2.70 2.47	-0,22 -0,01	39,80	39,73 40,01	-0.07 0.21
CH ₃ CH ₃ CH ₃	4,020 4,127	45,63	45,90 45,76	-1-0,27 0,13	5,57	5,75 5,69	+0.18 +0.12	43,93	43,71 43,64	-0,22 -0,29
(C ₃ H ₅) ₄ N1	3,030 4,192	37 ,35	37,21 37,51	-0.14 + 0.16	7,77	7,74 7,99	0,03 +0,22	49,41	49,12 49,25	-0,29 -0,16

Результаты анализов ряда веществ с иопользованием ПТРПК, осажденного на асбесте, приведены в табл. 1, а на пемзе — в табл. 2.

б) Совместное микроопределение углерода, водорода и галогенов. При совместном микроопределении углерода, водорода и галогенов использовалась обычная трубка для сожжения с гильзой [3]. Донышко гильзы закрывалось асбестовым тампоном и вся суженая часть ее засыпалась поглотителем. Сожжение вещества проводилось по [4]. Углерод и водород определялись весовым способом, а галогены—объемным [4]. Ошибка определений углерода, водорода и галогенов ± 0,30% абс. Результаты анализов приведены в табл. 3.

ՕՐԳԱՆԱԿԱՆ ՄԻԱՑՈՒԹՅՈՒՆՆԵՐԻ ԷԼԵՄԵՆՏԱՅԻՆ ՄԻԿՐՈԱՆԱԼԻԶՈՒՄ ԿԱԼԻՈՒՄԻ ՊԵՐՄԱՆԳԱՆԱՏԻ ՋԵՐՄԱՅԻՆ ՔԱՅՔԱՅՄԱՆ ՊՐՈԴՈՒԿՏԻ, ՆՍՏԵՑՐԱԾ ՊԵՄԶԱՅԻ ՎՐԱ, ՕԳՏԱԳՈՐԾՈՒՄԸ ՈՐՊԵՍ ԱՅՐՄԱՆ ԿԱՏԱԼԻԶԱՏՈՐ ԵՎ ԿԼԱՆԻՉ

u. u. upruzuvsut, z. u. vegrosut, u. u. pogursut L u. v. pegovsut

Առաջարկված է օրգանական միացությունն և մահայման ժամանակամիջոցը։

կատալիզատորի արժեքը և մեծացնում է ծառայման ժամանակամիջոցը։

կատալիզատորի արժեքը և մեծացնում է ծառայման ժամանականը, փորացնում է կատալիղատորի և որպես ածիստծնի ու ջրածնի որոշմանը իսանդարող հետերուկեմեննաների և նրանց միացությունների կրանիչ օգտագործվել է կալիումի պերմանգանատի ջերմային բայքայման պրուդուկտը՝ նստեցրած ասբեստի կամ պեմվայի վրա։ Պիմզան՝ որպես կրուղնի որ Հետերուկտը՝ նստեցրած ասբեստի կամ պեմվայի վրա։ Պիմզան՝ որպես կրուղնի որ համանական հետաջարկված է օրգանական համանականիցություններում է հատալիզատորի արժեքը և մեծացնում է ծառայման ժամանակամիջոցը։

Ածխածնի, ջրածնի և **Հալոգ**ենների որոշման բացարձակ ճշտությունը .Ս,30% է։

THE USE OF THE THERMAL DESTRUCTION PRODUCT OF POTASSIUM PERMANGANATE PRECIPITATED ON PUMICES STONE AS A CATALYST AND ABSORBER IN THE ELEMENTAL MICROANALYSIS OF ORGANIC COMPOUNDS

A. A. ABRAMIAN, H. A. MEGHROYAN, A. A. KOCHARIAN and A. S. TEVOSSIAN

A new modification for the determination of carbon and hydrogen, as well as of carbon, hydrogen and halogens (CI, Br, J) has been proposed. The thermal destruction product of potassium permanganate precipitated on pumice has been used as the combustion catalyst and absorber for halogens and halogen containing compounds, for nitrogen and sulfur exides.

ЛИТЕРАТУРА

- 1. Л. Л. Абрамян, Р. А. Мегроян, А. А. Кочарян, Арм. хим. ж. 19, 849 (1966).
- 2. М. О. Коршун, Н. Э. Гельман, Н. С. Шевелева, ЖАХ. 13, 695 (1958).
- 3. Н. Э. Гельман, М. О. Коршун, Н. С. Шевелева, ЖАХ, 12, 526 (1957).
- 4. А. А. Абрамян, Р. А. Мегроян, Арм. хим. ж., 20, 191 (1967).

XXVII, № 10, 1974

ОРГАНИЧЕСКАЯ ХИМИЯ

УДК 677.494.7

ТЕРМОРЕАКТИВНЫЕ бис-МАЛЕИМИДЫ ДЛЯ ВЫСОКОТЕРМОСТОЙКИХ И ВЫСОКОПРОЧНЫХ МАТЕРИАЛОВ, АРМИРОВАННЫХ ВОЛОКНОМ*

Д. О. ГУММЕЛЬ, Г. ШТЕНЦЕНБЕРГЕР, К. У. ГАЙПЕН и Г. РОЗЕН

Институт физической химии, Кёльн (ФРГ). Кёльнский университет

Поступило 19 III 1974

При новышенных температурах бис-малеимиды полимеризуются в отсутствие инициатора, образуя сшитые полисукцининиды. Тройная ароматическая смесь бис-мале-имидов может быть использована в качестве пропитывающей смолы при изготовлении высокотермостойких, армированных волокном конструкционных материалов с отличными механическими свойствами. При малом содержании ингибитора и температур переработки 125° смесь сохраняется долгое время без полимеризации.

Термическая деструкция полисукцининидов изучена масс-спектрометрией, дифференциальным термическим анализом и термогравиметрией.

Рис. 1, табл. 6, библ. ссылок 7.

Полимеры, эксплуатируемые в необычных условиях

Космонавтика ставит в очень трудные рабочие условия не только человека, но и космическую технику.

Неорганические и органические материалы, используемые для изготовления солнечных элементов, терморегулирующих покрытий, теплозащитных экранов и т. д., должны противостоять как высоким и низким температурам, так и быстрым переходам между ними. Они должны сохранить свои эксплуатационные свойства и после воздействия высоких радиационных доз, т. е электромагнитной радиации, особенно коротковолнового ультрафиолета, и быстрых частиц (протонов).

Одной из наиболее интересных задач является создание высокололимеров для изготовления пленок, покрытий, адгезивов, литых и пропитных смол, а также волокон, способных работать в этих необычных условиях [1].

Для достижения стойкости к высокой температуре и радиации необходимы следующие условия:

[•] Доложено на общем собрании ОХН АН Арм. ССР 23.1V.74.

- 1. Энергия, поглощенная материалом, должна рассеиваться быстро по всей системе, т. е. по полимерной цепи.
- 2. Пиролиз и радиолиз должны приводить преимущественно к малым фрагментам, подобным H_2O , CO_2 , CO, NH_3 и др., с тем, чтобы конечным макромолекулярным продуктом был графит с хорошими механическими свойствами.
- 3. В присутствии кислорода требуется отсутствие легко окисляющихся групп.

Первое условие вполне удовлетворяется рядом линейных полиароматических макромолекул, причем самыми удачными являются полиимиды типа [2].

$$-N$$
 NR $-N$ NR $-N$ NR $-N$ NR $-N$ NR $-N$ NR NR $-N$ NR

В настоящее время целый ряд полимеров с интересными свойствами не удовлетворяет второму условию. Следует учесть, что деструкционное поведение, статистический обрыв цепи и деполимеризация, улетучивание большей части полимера в виде мономерных и олигомерных фрагментов свойственны многим виниловым полимерам.

Этих педостатков не лишены также поли-п-ксилилен (парилен N) и поли-2,6-диметил-п-фениленоксид (PPO). Нами была исследовача термическая деструкция этих полимеров непосредственно в масс-спектрографе, снабженном пиролитической установкой и нонизационным полем (Varian MAT CH4).

Масс-спектр пиро-ионного поля (МСПИП) парилена N

$$-CH_2-CH_2-(M=104)$$

показывает, что первичными фрагментами виролиза являются, главным образом, мономерные и олигомерные фрагменты с массами вплоть до 4M+16. (Очень часто фрагменты протонизируются на поверхности высокозаряженного ионизационного апода). Подобное поведение свойственно и PPO

$$CH_3$$
 $-O CH_3$
 $(M-120).$

где наибольшая масса ЗМ + 15.

Ароматические полиамиды, по крайней мере, частично удовлетворяют второму условию. В зависимости от структуры они теряют от 90 («Каптон», см. далее) до 30% веса в течение термогравиметрирования. При этом РРО и парилен N, деструктируясь, практически улетучиваются на 100%. МСПИЛ каптоновых пленок показывает, что самый большой пик массы появляется при m/e=94. Масса повторяющейся единицы (М) равна 382, однако спектр не показывает этого значения т/е. Пиромеллитимидная единица (C₁₀H₂O₄N₂) имеет относительную массу 214, фениленоксифениленовая — 168. Отсутствие этих масовых чисел в спектрс указывает на более сильную связь между имидным азотом и ароматикой. Вероятно, массе 185 соответствует аминодифениловый эфир; другие ароматические фрагменты с азотом, непосредственно связанным с ароматическим кольцом, имеют массы 109 (аминофенол) и 93/94 (вероятнес всего, анилин и протонизированный анилин); масса 237 — протонизированный моноанпидрид пиромеллитовой кислоты. В табл. 1 даны чанболее вероятные отнесения наблюдаемых в МСПИП каптона масс.

	Таблица 1 МСПИП "Каптона"
m/e	Структура
93	NH ₂
94	№ № МН3,
109	HONH ₂
185	-ONH2
237	HO_C CNH ₂ H_C COH

Полимеры бис-малеимидов [3—5] также удовлетворяют второму условию.

Третье условие удовлетворяется очень немногими полимерами обсужденного здесь типа. Атомы водорода, отделенные от электроноакцепторной группы двумя одинарными связями, окисляются легче других.

Легко окисляющимися центрами являются третичные алифатические и активированные водородные атомы в ароматических циклических системах, а также алифатическая двойная связь.

В настоящее время синтезировано мало полимеров без водорода и двойной связи, из них наиболее известны перфторированные полимеры. Другим примером является следующий полиимид:

Благодаря остаточным двойным связям и третичным водородным атомам сопротивляемость кислороду полисукцинимидов, полученных полимеризацией бис-малеимидов, ограничена.

Смолы для материалов, армированных волокном

Для применения в качестве литых или пропитных смол форполимеры должны быть жидкими (или низкоплавкими) или растворимыми в обыкновенных растворителях. Для высоких температур были предложены «имидиты», получаемые на основе изофталевой кислоты и 3,3′, 4,4′ тетрааминодифенила (диаминобенэидина), циклизующиеся при 250° в поли-п-фенилендибензимидазол или полиамидокислоты из пиромеллитового диангидрида и днаминодифенилэфира, приводящие к полиимиду приблизительно при той же температуре.

Полученные из них материалы проявляют превосходные термомеханические свойства. Однако главным недостатком их является довольно сложная переработка. Полиамидокислоты требуют использования растворителей, подобных диметилацетамиду, которые могут быть удалены из конечного продукта вместе с водой, образовавшейся во время циклизации. Композиционные материалы, полученные этим путем, содержат значительное количество пустот, т. е. мелких пузырыков, образованных выделяющейся водой и растворителем на конечной стадии отвердения.

Эти связующие обладают плохими свойствами, если конечная стадия отвердения проводится без давления.

Мономерные или олигомерные имиды с ненасыщенными реакционноспособными концевыми пруплами могут быть подвергнуты полимеризации без образования низкомолекулярных промежуточных продуктов. Полученные этим способом композиционные материалы, особенно армированные волокном слоистые пластики, имеют очень мало пустот.

бис-Малеимиды: синтез и применение

В настоящей работе описаны свойства новых низкоплавких бис-малеимидных систем, а также новый технический подход к переработке

связующих систем на основе этих смол [6]. бис-Малеимиды применяются в расплавленном состоянии в процессе пропитки волокна без растворителя, в виде обмотки. Важными обстоятельствами являются низкая температура плавления и ниэкая вязкость расплава, чем достигается хорошая пропитка волокна. Для этого применяются почти эвтектические смеси ароматических бис-малеимидов, плавящиеся в интервале 70—125° и температуре переработки 125°.

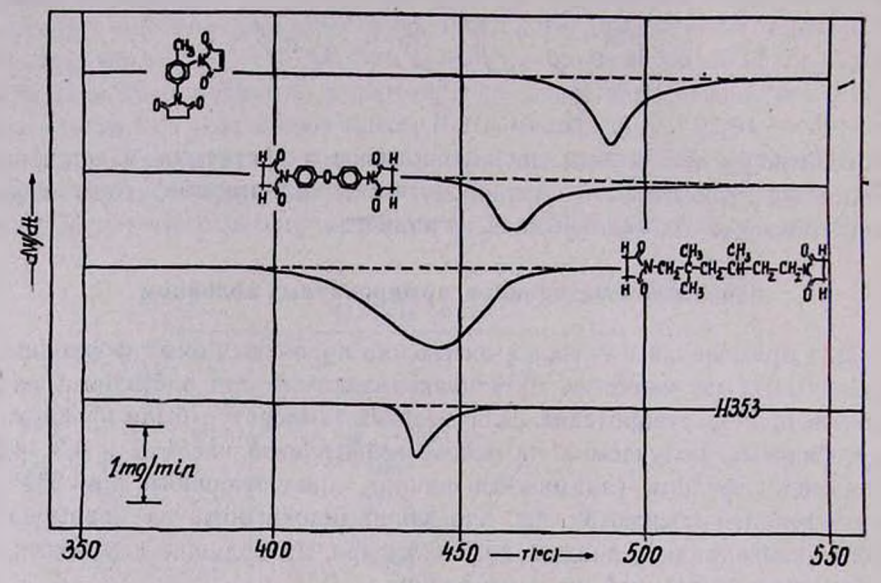


Рис. ПА-кривые разных полисукцинимидов.

Синтез бис-малеимидов осуществляется по [7] взаимодействием малеинового ангидрида с алифатическим или ароматическим диамином, приводящим к образованию бис-малеимидной кислоты, подвергающейся циклодегидратации в уксусном ангидриде в присутствии уксуснокислого натрия:

$$2 \underbrace{ \begin{bmatrix} O \\ O \\ O \end{bmatrix}}_{0} + H_{2}NRNH_{2} \longrightarrow \underbrace{ \begin{bmatrix} COOH \ HOOC \\ CO \ NH \ RNHCO \end{bmatrix}}_{0} \longrightarrow \underbrace{ \begin{bmatrix} O \\ O \\ NRN \end{bmatrix}}_{0}$$

Благодаря боковым имидным карбонильным группам двойная связь в бис-малеимидах в высшей степени электроннодефицитна и, следовательно, легко полимеризуема. При нагревании продукта без инициатора при ~200° образуются полностью сшитые полисукцинимиды.

В табл. 2 приведены ДТА, температуры плавления, вязкости и термогравиметрический разрыв (термическое разложение) некоторых бис-мателимидов. бис-Малеимиды, содержащие алифатические цепи, низкоплавки и проявляют низкую вязкость расплава, ароматические—гугоплавки, с высокой вязкостью расплава. Продукт Н 353 является тройной смесью, близкой к эвтектическому составу с низкой областью температуры плавления, несмотря на 85% ароматики в смеси. Вязкость расплава высока, но приемлема для технического применения. В отличие от чистых бисмалениидов, промышленная смола Н 353 не рекристаллизуется при охлаждении расплава при комнатной температуре. При внесении малой концентрации гидрохинона она длительное время не полимеризуется при 125° (температура переработки), при нагревании же до 200° происходит быстрая полимеризация.

Таблица 2 Свойства некоторых бис-маленмидов и полимеров на их основе

R (мостик)	Т. пл., °С*	Вязкость ^{2*} (cst/°C)	ТГА-раз- рыв, °Сэ*	Стабиль- ность4*
Гексаметилен	137—138	13,2; 140	418	3,20
Октаметилен	118-119	18,0; 120	405	3,30
Декаметилен	111-113	14,5; 120	401	3,10
Додекаметилен	110112	13,7; 120	378	3,20
2,2,4-Триметилгексиметилен	70—130	15,5; 130	392	1,90
Смесь с 4,4,2- м-фенилен	198—201	_		0,60
п-фенилен	>300	_		0,30
2,4-Толуилен	172—174	47,0; 175	463	0,10
4,4'-Дифениленметан	154—156	28,0; 160	452	1,40
4.4'-Дифениленэфир	180-181	_	437	1,10
Тройная смесь 85% ароматики	70-125	105 —10; 125	431	1,54

^{*} Плавление в капилляре. 3* В вискозиметре Уббелоде. 3* Скорость нагрева $^{2°}$ С/мин; N_2 . 4* Потеря веса в 9 / $_{0}$ после 100 час. при $^{260°}$ на воздухе.

Однонаправленные слоистые пластинки из Н 353 были изготовлены методом обмотки. Отверждение (сшивка) проводилось при 210° (4 часа); постотверждение — при 220° (15 час.), что значительно улучшает механические свойства. Образцы для определения прочности на изгиб имели толщину 3 мм, для определения среза и ударной прочности — 4 мм.

Сопротивление на изгиб пластинок из Н-353

Таблица 3

Волокно	Объемная доля во- локна	Темпе- ратура.	Прочность на изгиб* (Ра)	Удержа- ние, ⁰/ ₀	Модуль изгиба (10 ⁻³ Ра)	Удержа- ние, ⁰ / ₀
Модмор* I (НМ)	0,395	300 420 470 520	548.55 521,64 555,45 590,64	100,0 95,1 101,0 107,5	108,33 104,19 106,95 105,57	100,0 96,2 98,7 97,5
Модмор II S (HS)	0,520	300 370 470 520	1194,39 1121,25 1073,64 981,18	100.0 94.0 90,0 82,2	131,10 149,04 152,84 150,77	100,0 113,7 116,3 115,0
Е-Гласс-К43	0,523	300 450 470 520	1030,17 961,86 825,24 717,60	100,0 93,4 80,4 70,0	35,81 35,33 36,09 34,09	100,0- 98,6 100,7 95,2

^{*} Изгиб в трех точках; отношение длины к глубине 33:1.

В табл. З приведены прочность на изгиб и модуль изгиба при разных температурах для пластинок из Н 353 с тремя разными волокнистыми

материалами, в табл. 4 и 5 — ударопрочные свойства и сопротивление на срез этих пластинок.

Сопротивление на срез пластинок из Н-353

Таблица 4

Таблица 5

Волокно	Объемная	Прочность на срез* (MPa), °К						
	-ов вког внуют.	300	420	470	520			
Молмор I (НМ)	0,395	29,53**	29,67**	29,29**	29,33**			
Модмор II S (HS)	0,520	73,49	54,99	48,16	46,16			
Е-Гласс К-43	0,523	68,17	49,06	44,16	40,23			
Е-Гласс 528/558	0,660	76,11	66,24	51,47	48,02			

^{*} Короткий балансир среза: отношение длины к глубине 5:1.

Ударопрочные свойства пластинок из Н-353

Волокно	Объемная доля во- локна	Ударі	ное сопротив	эление, <i>кг-см</i>	· c.w ⁻²
Модмор I (НМ)	0,545	25,36	23,97	23,54	21,21
Модмор II S (HS)	0,544	75,76	90,31	94,48	90,31
Е-Гласс (522/558)	0,590	39,89	201,36	198,38	198,38

Термическая деструкция полисукцинимидов, полученных из бис-малеимидов. Полисукцинимиды из бис-малеимидов разлагаются при 400—530°. Рисунок показывает дифференциальные гравиметрические кривые с линейной температурной программой для полисукцинимида из двух ароматических, одного алифатического и одного третичного бис-малеимидов (Н 353).

Наивысшую область разложения проявляет полимер с *п*-фениленовым звеном (не показанный здесь). Следующим является бис-малеимидтолуиленовое производное с максимальной скоростью разложения около 490° и бис-малеимиддифениленэфирное производное при 465°. Полимер, содержащий 2,2,4(4,4,2-) триметилгексаметиленовые эвенья, начинает разлагаться в области 395° с максимальной скоростью при 445°. Полученный из тройной смеси полимер имеет конечную небольшую областьполного разложения между 430 и 460° с максимумом около 440°.

С целью установления количественной связи между структурой и деструкционным поведением ряд бис-малеимидов был отвержден при 200° и подвержен термической деструкции (разложению) при линейном повышении температуры до 625°. Результаты приведены в табл. 6. Первоначально предполагалось, что механизм разложения состоит, главным образом, в отщеплении звеньев между сукцинимидными единицами с по-

^{**} Испытание на срез пожницами.

следующей рекомбинацией последних. Это предположение оказалось неправильным Потери веса алифатических полисукцинимидов с полиметиленовыми звеньями в описанных выше условиях оказались намного больше предполагаемых. Например, диметиленовое производное теряет почти 50% веса, причем весовая доля диметиленового мостика составляет всего 13%. Производное с самым длинным полиметиленовым мостиком. (СН₂)₁₂ имеет полиметиленовую весовую долю 47%, а теряет в весе 88,5%.

Таблица 6 Потеря веса в ТГ-измерениях с линейной температурной программой

		Весовая доля массы в моно-мерной единице			
бис-Маленмиды	,MW	2-мален- мидные единицы	мостик	потеря веса, ⁰ / ₄	
Полиди мет илен бис-малеимид	220	0,875	0,127	49.5	
Полигексаметилен	276	0,696	0,304	78,4	
бис-Маленмид полноктаметилен	304	0,632	0,368	83,9	
бис-Маленмид полидекаметилен	332	0,575	0,422	86,8	
бис-Маленмил полидекаметилен	360	0,533	0,467	88,5	
бис-Маленмид поли-2,2,4-тетраметилгек- саметилен-бис-маленмид	318	0,604	0,396	84,7	
Поли 4,4'-дифениленметан бис-маленмид	358	0,536	0,464	40,9	
Поли-2,4-толуилен-бис-маленмид	282	0,681	0,319	45,9	
бис-Маленмид поли 4,4'-дифенилен эфир- бис-маленмид	360	0,333	0,467	44,5	
Эфир-бис-малеимид Н-353	_		_	55,0	

^{*} После нагрева до 900°К с линейной температурной программой.

Несмотря на то, что весовая доля ароматических звеньев между сукцинимидными звеньями колебалась между 32 и 47%, в ароматических полисукцинимидах лотери веса оказались между 41 и 46%. Это наводит на мысль о разложении сукцинимидных единиц на фрагменты, носящие остатки ароматических звеньев. С целью проверки были исследованы некоторые МСПИП полисукцинимидов.

Например, в МСПИП полисукцинимида, полученного из бис-малеимидтолуилена, массы 28—30 можно было бы отнести к алифатическим фрагментам. Вероятно, первые два фрагмента в эначительной степени состоят из положительных ионов разных гидрированных цианистых водородов: НСNН и H₂CNH. Масса 42, кроме С₃Н₆, может быть и у СН₃CNH. Сильная линия фрагмента при массе 99, по всей вероятности, относится к сукцивимиду. Следующий сильнейший пик в этой области (масса 122), который должен относиться к диаминотолуолу, показывает, что арематическая С—N связь в этих соединениях довольно сильная. Массовые числа 107 и 108 относятся к анилину и протонизированному анилину, соответственно. Это окончательно доказывает природу фрагментации сукцинимидных единиц в процессе пиролиза.

Мы выражаем глубокую благодарность Федеральному Министерству научных исследований и технологии за поддержку через Общество исследования космоса.

ՋԵՐՄԱՌԵԱԿՏԻՎ ԲԻՍՄԱԼԵՒՄԻԳՆԵՐ՝ ՄԱՆՐԱԹԵԼՈՎ ԱՄՐԱՆԱՑՎԱԾ ԲԱՐՉԲ ՋԵՐՄԱԿԱՅՈՒՆՈՒԹՅՈՒՆ ԵՎ ՄԵԾ ԱՄՐՈՒԹՅՈՒՆ ՈՒՆԵՑՈՂ ՆՅՈՒԹԵՐԻ ՍՏԱՑՄԱՆ ՀԱՄԱՐ

Դ. Օ. ԴՈՒՄՄԵԼ, Գ. ՇՏԵՆՑԵՆԲԵՐԳԵՐ, Կ. ՈՒ. ՀԱՅՆԵՆ և Գ. ՌՈԶԵՆ

Ռարձր ջերմաստիձաններում, հարուցիչի բացակայությամբ, բիսմալեիմիդները որդիմերվում են, առաջացնելով կարված պոլիսուկցինատներ։ Բիսմալեիմիդների հուսկի, հիմնականում արոմատիկ խառնուրդը կարող է կիրառվել որպես ծծեցնող խեժ բարձր ջերմակայուն, մեխանիկական լավ հատկություններով օժտված, մանրաթելով ամրանացված կոնստրուկցիոն նյութերի պատրաստման համար, Հարուցիչի քիչ պարունակության դեպքում 125°-ում մշակելիս խառնուրդը կարելի է պահել երկար ժամանակ առանց պոլիմերվելոււ

Պոլիսուկցինատննրի Բերմիկ քայքայումն ուսումնասիրված է մասսպեկտրոմետրիայի, դիֆերենցիալ Բերմիկ անալիդի և Բերմոգրաֆիմետրիայի օգնությամբ։

THERMOREACTIVE bis-MALEIMIDES FOR HIGHLY THERMOSTABLE AND DURABLE MATERIALS REINFORCED WITH FIBRAS

D. O. GUMEL, G. SHTENTSENBERGER, K. U. HAYNEN and G. ROSEN

bis-Maleimides are polymerized at high temperatures in the absence of initiators and sewed polysuninates are obtained. The preparation of impregnated gumy compounds with high thermal and mechanical stability in described. Studies of thermal degradation of polysuccinates by a number of methods is described.

ЛИТЕРАТУРА

- 1. J. I. Jones, J. Macromol. Sci., Revs. Macromol. Chem., C2 (2), 303 (1968).
- 2. C. E. Sroog, J. Polymer. Sci., Part A. 3, 1373 (1965).
- 3. P. Kovacic, R. W. Hein, C. A., 52, 5018 (1958); U. S. Patent 2.818.405 (1957).
- 4. F. W. Harris, J. K. Stille, Macromol., 1, 463 (1968).
- 5. F. Grundschober, J. Sambeth, Suisse Patent 471.183 (1969).
- H. D. Stenzenberger, Polymeric Materials for Unusual Serive Conditions, Nov. 29-Dec. 1 (1972). Nasa, Amer Research Center, Moffett Field, California 94035.
- 7. N. E. Searle, C. A., 43, 4421 (1949); U. S. Patent 2.444.536 (1948).

XXVII, № 10, 1974

УДК 542.91+5547.314

РЕАКЦИИ НЕПРЕДЕЛЬНЫХ СОЕДИНЕНИЙ

XVIII. ВЗАИМОДЕЙСТВИЕ ГАЛОГЕНАНГИДРИДОВ ОРГАНИЧЕСКИХ КИСЛОТ С СОЕДИНЕНИЯМИ, СОДЕРЖАЩИМИ СОПРЯЖЕННЫЕ КРАТНЫЕ СВЯЗИ

К. Л. САРКИСЯН, Т. Т. МИНАСЯН и Ш. О. БАДАНЯН Институт органической химии АН Армянской ССР, Ереван Поступило 20 VII 1973

Взаимодействие галогенангидридов карбоновых кислот с циклогексенилацетиленом приводит к образованию функционально замещенных дисновых кетонов. Присоединание галогенангидридов к фенилацетилену протекает по тройной связи. Библ. ссылок 2.

Недавно нами было показано, что реакция каталитического ацилирования диолефинов галогенангидридами и ангидридами органических кислот открывает широкие возможности синтеза реакционноспособных соединений, содержащих активные кратные связи и карбонильную группу [1]. Настоящая работа посвящена изучению влияния строения исходных компонентов на ход реакции.

Оказалось, что при взаимодействии циклогексенилацетилена I с хлорангидридами органических кислот в присутствии хлористого алюминия образуются алкилциклогексенилвинилкетоны III, т. е. центром электрофильной атаки является сравнительно менее пуклеофильная тройная связь

$$C = CHCOCH_3$$

Алкилциклогексенилвинилкетоны получаются либо прямым присоединением ацилкатиона к тройной связи (а), либо через первоначальное образование продуктов 1,4—присоединения—алленовых кетонов II, легко изомеризующихся в более устойчивые сопряженные диены III (б).

Строение аддукта III подтверждено ИК спектрами, характеризующимися частотами при 1591, 1606 и 1663 см⁻¹, отвечающими сопряженным кратным связям и карбонильной группе. В них отсутствовали частоты, характерные для тройной связи, алленовой группировки, активного ацетиленового водорода.

Интересно было исследовать поведение по отношению к галогенангидридам органических кислот более непредельного аналога циклогексенилацетилена — фенилацетилена, обладающего в присутствии безводного треххлористого алюминия четко выраженной склонностью к реакциям ароматического ядра. Вопреки ожидаемому, реакция произошла по тройной связи с образованием алкилфенилхлорвинилкетонов V.

PhC = CH
$$\longrightarrow$$
 PhCCI=CHCOR $\xrightarrow{R=C_3H_7}$ PhCH₂CH₂COC₃H₇

IV VI

R=CH₃, C₂H₅, C₃H₇, CICH₂.

В ИК спектрах соединений обнаружены поглощения при 1633—1660, 1606, 1591, 1491, 1446 с. u^{-1} , отвечающие карбопилу кратной связи и ароматическому ядру, соответственно. Кроме того, при гидрировании пропилфенилхлорвимлкетона V ($R=C_3H_7$) был выделен пропилфенилэтиленкетон VI, идентифицированный оравнением с заведомо известным образцом [2].

Реакция производных органических кислот с диенами и енинами применена для введения ацильного остатка в другие непредельные системы, а имению, в синтезе непредельных кетонов, содержащих арильные заместители в 4-положении к карбонилу. Оказалось, что ацильный катион гладко вступает в реакцию сопряженного ацилирования-алкилирования с различными диенами и ароматическими соединениями по схеме:

R=H, CH_3 , OCH_3 ; X=H, CH_3 , CI; $X_1=H$, CI

ИК спектры соединений VIII карактеризовались частотами для ароматического кольца (1490—1495, 1603, 1616 cm^{-1}), изолированной двойной связи (1650—1670 cm^{-1}) и карбонильной группы (1730—1735 cm^{-1}).

Экспериментальная часть

ИК спектры сняты на слектрофотометре УР-10.

1-Хлор-1-циклогексенил-1-бутен-3-он. К 5,25 г (0,05 моля) циклогексенилацетилена, растворенного в 30 мл четыреххлористого углерода, при

Армянский химический журнал, XXVII, 10-3

охлаждении до —10 —15° прибавлено 7 г (0,05 моля) хлористого алюминия и 4 г (0,05 моля) ацетилхлорида. Реакционная смесь перемешивалась полчаса при комнатной температуре, после чего была вылита на смесь соляной кислоты, эфира и льда. Отделением водной части, экстрагированием эфиром, высушиванием над хлористым кальцием и перегонкой получено 4 г (43,4%) 1-хлор-1-циклогексенил-1-бутен-3-она, т. кип. 115°/5 мм; n_D^{20} 1,5420; d_4^{20} 1,1047. MR_D найдено 54,05, вычислено 49,32. Найдено %: С 65,13; Н 7,60; С1 18,65. $C_{10}H_{13}$ CIO. Вычислено %: С 65,04; Н 7,15; С1 19,23.

1-Хлор-1-фенил-1-бутен-3-он. Аналогично из 10,2 г (0,1 моля) фенилацетилена и 8 г (0,1 моля) ацетилхлорида в присутствии 14 г (0,1 моля) хлористого алюминия получено 14 г (77,8%) 1-хлор-1-фенил-1-бутен-3-она; т. кип. $\frac{1112^{\circ}}{1}$ мм; $n_{\rm D}^{20}$ (1,5950; $d_{\rm A}^{20}$ Г,1696. М $R_{\rm D}$ найдено 52,42, вычислено 49,18. Найдено %: С 66,37; Н 5,53; С1 18,73. $C_{10}H_{\rm P}C1O$. Вычислено %: С 66,42; Н 5,58; С1 19,66.

1-Xлор-1-фенил-1-пентен-3-он. Аналогично из 5,1 z (0,05 моля) фенилацетилена 4,6 z (0,05 моля) хлорантидрида пропионовой кислоты и 3,5 z (0,05 моля) хлористого алюминия получено 3,8 z (39,2%) 1-хлор-1-фенил-1-пентен-3-она; т. кип. $121^{\circ}/2$ мм; n_D^{20} 1,5770; d_L^{20} 1,1453 М R_D найдено 56,27, вычислено 53,81. Найдено %: С 67,82; Н 6,00; С1 17,690. С $_{11}$ Н $_{11}$ С1О. Вычислено %: С 67,86; Н 5,65; С1 18,25.

1-Xлор-1-фенил-1-гексен-3-он. Аналогично из 5,1 ε (0,05 моля) фенилацетилена, 5,6 ε (0,05 моля) хлорангидрида масляной кислоты и 3,5 ε (0,05 моля) хлористого алюминия выделено 4,5 ε (43,2%) 1-хлор-1-фенил-1-гексен-3-она; т. кил. 141/3 мм; n_D^{20} 1,5730; $d_{\rm c}^{20}$ 1,1032. MR $_{\rm D}$ найдено 62,24, вычислено 58,42. Найдено %: C 69,12; H 6,60; Cl 16,89. $C_{12}H_{13}$ ClO. Вычислено %: C 69,06; H 6,23; Cl 17,02.

1-Фенил-3-гексанон. К смеси 2 г 1-хлор-1-фенил-1-гексен-3-она, 25 мл винного спирта и 1,5 г карбоната натрия добавлен платиновый катализатор (по Адамсу). По окончании гидрирования реакционная смесь огфильтрована и после отгонки растворителя остаток разогнан в вакууме. Выделено 1,3 г (78,3%) 1-фенилгексенона-3; т. кип. 125°/4 мм; по 1,5050. Семикарбазон, т. пл. 80—89° [2].

3-Xлор-1-фенил-2-гексан-5-он. Аналогично в реакцию введено 19,6 г (0,25 моля) хлорангидрида уксусной кислоты, 3,4 г (0,25 моля) хлористого алюминия и 22,1 г (0,25 моля) хлоропрена. Затем при —10 \pm —15° прибавлено 17 г (0,25 моля) бензола. После обработки получено 20 г (39,8%) 3-хлор-1-фенил-2-гексен-5-она; т. кип. $144^\circ/4$ мм; 1^{20} 1,5430; 1^{20} 1,2003. М R_D найдено 54,28, вычислено 52,46. Найдено %: С 69,10; Н 6,69; С1 16,48. 1^{20} 1^{20} С1 16,48. С12 1^{20} На 1^{20} С1 16,48. С12 1^{20} На 1^{20} С1 17,03.

3-Хлор-1-параметилфенил-2-гексен-5-он. Тем же способом из 22,1 z (0,25 моля) хлоропрена, 19,6 z (0,25 моля) ацетилхлорида и 23 z (0,25 моля) толуола получен 21 z (37,8%) 3-хлор-1-толил-2-гексен-5-она; т. юип. 152°/3 мм; n_D^{20} 1,5420; d_2^{40} 1,1813. MR_D найдено 59,48, вычислено 57,18. Найдено %: С 69,76; Н 6,47, С1 15,91. $C_{13}H_{14}ClO$. Вычислено %; С 70,11; Н 6,32; С1 16,27.

2-Метил-1-параметоксифенил-2-гексен-5-он. Аналогично из 7 г (0,1 моля) изопрена, 8 г (0,1 моля) ацетилхлорида и 21 г (0,2 моля) анизола получено 14 г (66,7%) 2-метил-1-параметоксифенил-2-гексен-5-она с т. кип 208—211°/3 мм; n_D^{20} 1,5580; d_2^{20} 1,0594. MR_D найдено 63,90, вычислено 61,58. Найдено %: С 78,70; Н 8,75. С₁₄Н₁₈О₂. Вычислено %: С 78,06; Н 8,25.

2,3-Дихлор-1-фенил-2-гептен-5-он. Аналогично из 12 г (0,01 моля) 2,3-дихлорбутадиена-1,3, 9,2 г (0,1 моля) хлорангидрида пропионовой кислоты и 8 г (0,1 м) бензола в растворе метиленхлорида получено 13 г (50,6%) 2,3-дихлор-1-фенил-2-гептен-5-она; т. кип. 120°/1 мм; n_D^{20} 1,5440; d_D^{20} 11,2043. М R_D найдено 67,91, вычислено 63,37. Найдено %: С 59,93; Н 5,59; С1 28,00. $C_{13}H_{14}Cl_2O$. Вычислено %: С 60,70; Н 5,49; С1 27,92.

ՉՀԱԳԵՑԱԾ ՄԻԱՑՈՒԹՅՈՒՆՆԵՐԻ ՌԵԱԿՑԻԱՆԵՐԸ

XVIII. ዐՐԳԱՆԱԿԱՆ ԹԹՈՒՆԵՐԻ ՀԱԼՈԴԵՆԱՀԻԴՐԻԴՆԵՐԻ ՓՈԽԱԶԴԵՑՈՒԹՑԱՆԸ ԶՈՒԴՈՐԴՎԱԾ ԿՐԿՆԱԿԻ ԿԱՊԵՐ ՊԱՐՈՒՆԱԿՈՂ ՄԻԱՑՈՒԹՅՈՒՆՆԵՐԻ ՀԵՏ

Կ. Լ. ՍԱՐԿԻՍՅԱՆ, Տ. Տ. ՄԻՆԱՍՅԱՆ և Շ. Հ. ԲԱԴԱՆՅԱՆ

Ցույց է արված, որ կարբոնաԹԹուների անհիդրիդների փոխազդեցությ։ ւնը ցիկլոհեքսենելացետիլենի հետ բերում է ֆունկցիոնալ տեղակալված դիենային կետոնների առաջացման։ Հալոգենանհիդրիդների միացումը ընթանում է ֆենիլացետիլենի եռակի կապին։

REACTIONS OF UNSATURATED COMPOUNDS

XVIII. THE INTERACTION OF HALOGENANHYDRIDES OF ORGANIC ACIDS WITH SHE COMPOUNDS CONTAINING CONJAGATED DOUBLE BOUND

K. L. SARKISSIAN, T. T. MINASSIAN and Sh. H. BADANIAN

The interaction of acid halogens with cyclohexanylacetylene leads to the formation of functionally substituted diene ketones acid halogens add to the trible bond of phenylacetylene.

ЛИТЕРАТУРА

- 1. Ш. О. Бадинян, К. Л. Саркисян, Арм. хим. ж., 26, 817, 925 (1973).
- 2. Словарь орг. соед., т. III, стр. 416.

XXVII, № 10, 1974

УДК 542.91+547.318

РЕАКЦИИ НЕПРЕДЕЛЬНЫХ СОЕДИНЕНИЙ

XIX. О НОВОЙ РЕАКЦИИ ВОССТАНОВИТЕЛЬНОЙ ДЕГАЛОДИМЕРИЗАЦИИ ВИНИЛПРОПАРГИЛЬНЫХ ГАЛОГЕНИДОВ

Ш. О. БАДАНЯН, М. Г. ВОСКАНЯН и Ж. А. ЧОБАНЯН Институт органической химии АН Армянской ССР, Ереван Поступило 29 XII 1973

Винилпропаргильные галогениды в присутствии первичных аминов и смеси одноклористой и порошкообразной меди путем дегалоконденсации превращаются в высоконепредельные углеводороды—димеры углеводородной части молекулы. Табл. 10, библ. ссылок 3.

В предыдущих сообщениях нами было установлено, что замещение галогена вторичными аминами в вынилацетиленовых галогенидах приводит к преимущественному образованию аномальных продуктов реакции—кумуленовых аминов [1]. В продолжение этих исследований в настоящей работе приводятся данные по изучению реакции винил-пропаргильных галогенидов с первичными аминами. Все наши попытки вовлечь в реакцию первичные амины в условиях реагирования вторичных аминов оказались безуспешными. При применении же апротонных растворителей продукты замещения — винилацетиленовые амины II, получались лишь с низкими выходами (5—9%, табл. 1).

$$R_1R_2C(X)C = CH - CH_2 \xrightarrow{H_3NR} R_1R_2(CNHR)C = CCH = CH_2$$

 $R = CH_3$, C_3H_7 , C_4H_9 ; $R_1 = R_2 = CH_3$, C_2H_5 ; $X = CI$, Br.

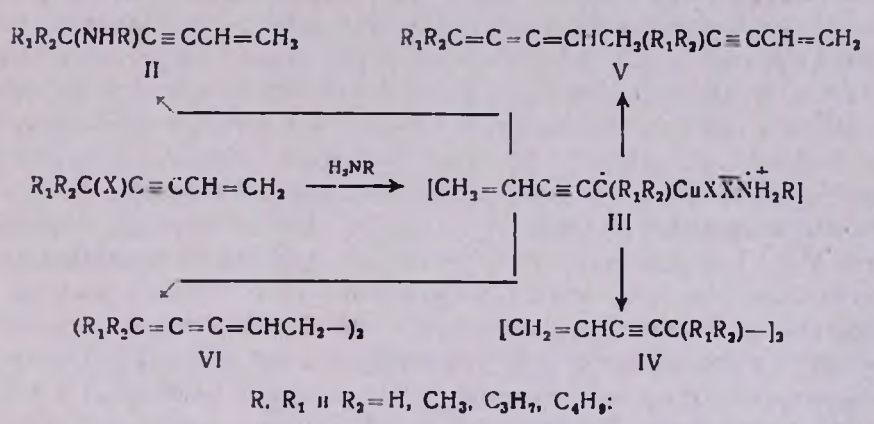
Таблица / Зависимость выхода винилацетиленовых аминов II от растворителя

R R ₁		R ₂	x	Исход	ное ве- О, моли	Растворитель	К-во воды.	Выход,
		+.		амин	хлорид		моли	0/0
C ₃ H ₁	CH ₃	СН	CI	0,2	0,1	бензол	0,05	7,0
C ₃ H ₇	CH ₃	C ₂ H ₅	CI	0,2	0,1	бензол	0,05	5,0
C ₄ H,	CH ₃	CH ₃	CI	0,2	0,1	эфир	0,05	0,0
C ₄ H ₉	CH ₃	CH ₃	CI	0,2	0,1	диметилформамид	0,05	0,0
C ₃ H ₇	CH ₃	CH ₃	CI	0,2	0,1	ацетонитрил	0,0	9,0
C ₃ H ₇	СНз	CH3	Br	0,2	0,1	бензол	0,05	8,5

Строение синтезированных аминов II доказано изучением их ИК спектров, а также гидрированием в известные в литературе предельные амины. В ИК спектрах обнаружены частоты при 936, 990, 1596—1604, 2206—2232, 3118, 3293—3333 см⁻¹, полностью характеризующие винилэтинильную и NH-группировки.

Таким образом, замена вторичных аминов первичными привела не только к сильному замедлению реакции вообще, но и к полному подавлению аномального замещения.

Для повышения выхода продуктов реакции мы попытались использовать катализаторы, часто применяемые в реакциях замещения в пропаргильных системах. Так, известно, что применение медного катализатора приводит к повышению выходов продуктов замещения пропаргилгалогенидов аминами [2]. Однако неожиданным образом при применении смеси порошкообразной и однохлористой меди в качестве катализатора основными продуктами взаимодействия винилацетиленовых галогенидов с аминами оказались непредельные соединения—димеры. Винилацетиленовые амины при этом были выделены лишь с чебольшими выходами. Образование продуктов реакции представляется нам протекающим по схеме



Как видно из приведенной схемы, можно было ожидать наличия в смеси нескольких непредельных углеводородов IV—VI. И действительно, перегонкой нейтрального экстракта удалось выделить две фракции. В ИК спектре низшей из них были обнаружены полосы поглощения незамещенной винильной группы (920—930, 980—990, 1600—1610, 3100—3120 см⁻¹) и сопряженной тройной связи (2260—2230 см⁻¹), отнесенные нами к соединению IV. Последнее содержит диендииновую группировку сопряженных кратных связей и является димером углеводородной части исходного хлорида I. Индивидуальность углеводорода I подтверждена методом ГЖХ, а правильность прилисываемой структуры — восстановлением до предельного аналога — 5,5,6,6-тетраметилдекана (VII), идентифицированного сравнением с образцом, синтезированным независимым путем.

ИК спектр высшей фракции наряду с частотами поглощения незамещенной винильной группы (920—930, 980—990, 1600—1610, 3100—3120 см⁻¹) и сопряженной тройной связи (2260—2230 см⁻¹) содержля поглощение в области 2060—2070 см⁻¹, присущее системе кумулированных приенов, которое может быть приписано соединению V. Однако хроматографические исследования показали наличие двух соединений (в отношении 1:3), которыми могли быть углеводород V и его изомер VI. Для выяснения этого вопроса нами было проведено восстановление высшей фракции. Хроматограмма показала, что в результате гидрирования также образуются два соединения VIII и IX Последние были идентифицированы путем встречного синтеза как 2,11-диметилдодекан и 2,5,5-триметилундекан, являющиеся предельными аналогами ненасыщенных углеводородов V и VI, соответственно:

$$V \longrightarrow (CH_3)_2CH(CH_3)_2C_4H_9, \qquad IV \longrightarrow C_4H_9C(CH_3)_2C_4H_9$$

$$VII \qquad \qquad VII$$

$$VI \longrightarrow [(CH_3)_2CH(CH_2)_3CH_2 -]_2$$

$$IX$$

Взаимодействие винилацетиленовых галогенидов с первичными аминами в присутствии медных катализаторов (смесь однохлористой и порошкообразной меди), по всей вероятности, можно представить протекающим по вышеприведенной схеме. В результате переноса электрона от амина к винилацетиленовому галогениду в начальном акте образуются комплекс, содержащий винилацетиленовый радикал, и катион-радикал амина. Известно, что если образуются в начальном этапе стабильные радикалы, то вероятен их выход из комплекса [3]. Углеводороды V и VI, по-видимому, получаются в результате изомеризации и рекомбинации этих результатов. Образование II в условиях реакции замещения, вероятно, объясняется тем, что катион-радикал протон [3] и превращается в нейтральный радикал амина. Последний рекомбинируется с винилацетиленовым радикалом (в комплексе) в винилацетиленовый амин. Исключительное образование винилацетиленового амина овидетельствует о том, что в отличие от реакции винилацетиленовых галогенидов со вторичными аминами атака первичных аминов в присутствии клорида меди направляется на углерод, связанный с уходящей пруппой. Не иоключается возможность и других альтернативных интерпретаций схем протекания реакции.

Для расширения области распространения найденной реакции аномальной дегалоконденсации винилацетиленовых галогенидов мы сочли целесообразным изучить влияние природы аминов и галогенидов, соотношения исходных реагентов и жатализатора, а также продолжительности реакции на направление и выходы продуктов. Так, показано, что увеличение углеводородного остатка амина приводит к уменьшению выхода углеводорода. Одновременно понижается выход продукта замещения—винилацетиленового амина II (табл. 2—8).

Наблюдаемое явление, вероятно, объясняется тем, что при увеличении углеводородного остатка амина повышается его основность, что приводит к затруднению депротонизации катион-радикала, т. е. к затруднению образования свободного радикала амина, через который, на наш взгляд, и получаются аминные продукты.

Интересно отметить, что в противоположность влиянию заместителей у аминного азота, увеличение алкильных остатков у третичного атома углерода в винилацетиленовых галогенидах приводит к уменьшению выхода высоконепредельного углеводорода (табл. 3). Это, видимо, объясияется пространственным влиянием алкильных групп.

Таблица 2
Зависимость выходов пепредельных углеводородов от заместителей у язота

	, ,	у азота	
R	R R ₁		Общий вы- ход углево- дородов, ⁰ / ₀
CH ₃	CH ₃	CH ₃	46,9
C ₃ H ₇	CH ₃	CH ₃	56,3
C ₄ H ₉	CH3	CH ₃	60,8
	I		ı

Таблица 3
Зависимость выходов непредельных углеводородов от заместителей при углероде, связанном с галогеном

R		Заместители у углерода				
вамине	R ₁	R ₂	выход, ⁰/₀			
C ₄ H,	Н	Н	49,8			
C ₄ H ₉	CH ₃	CH3	60,8			
C ₄ H ₈	CH ₃	C ₂ H ₅	33,2			
C ₄ H ₉	н	C ₃ H ₇	23,4			

Изучение влияния температуры на ход реакции показало, что ее повышение приводит к увеличению выхода продукта замещения и к уменьшению выхода углеводорода (табл. 4).

Таблица 4
Зависимость выходов продуктов реакции от температуры

R	R ₁	R ₂		исходных виоли	Время, час/t, °С	Общий вы-	Выход амина, •/ ₀	
	~1	12	амип	хлорид	Бремя, чис/г, С	дорода, %		
C ₃ H ₇	СН3	CII3	0,2	0,1	6/70 - 18/ком.	27.4	21,6	
C ₃ H ₄	CH ₃	CH ₃	0,2	0,1	6/-15 + 18/ком.	64,7	12,9	
C ₄ H ₉	CH ₃	C ₂ H ₅	0,2	0,1	6/70 + 24/kom.	23,4	18,4	
C ₄ H ₉	CH ₃	C ₂ H ₅	0,2	0,1	6/15 + 24/kom.	33,2	7,0	

Наблюдаемая зависимость полятна с точки зрения сравнительно высокой энергии активации депротонизации по сравнению с энергией рекомбинации алкильных радикалов.

Из табл. 5 видно (на примере диметилвинилэтинилхлорметана), что при увеличении продолжительности реакции увеличиваются выходы как углеводородов, так и аминов.

Таблица 5 Зависимость выходов продуктов реакции от времени

R	Кол-во исходных веществ, моли		Время, час/1, °С	Выход амина.	Общий вы- хол углево-		
	амни хлорнд		0/0	дорода, %			
CH ₃	0,4	0,1	7/15 + 17/ком.	10,0	26,2		
	0,4	0,1	7/-15 + 65/ком.	17,4	50,0		
	0,2	0,1	7/-15 + 17/ком.	10,0	30,4		
C ₃ H ₁	0,2	0,1	7/-15 + 65/ком.	12,9	64,2		

Были поставлены опыты и по исследованию влияния соотношения исходных реагентов на выходы продуктов реакции. Найдено, что при увеличении относительной доли аминов увеличиваются выходы как углеводородов, так и аминов. Эти данные сведены в табл. 6.

Таблица 6 Зависимость выходов продуктов реакции от соотношения реагентов

R		исходных в, <i>моли</i>	Время, ч <i>ас/t</i> , °С	Общий пы-	Выход	
	амин хлорид		Бреми, чист, С	дородов, %	0/0	
CH,	0,2	0,1	9/—10 — 63/ком.	44,1 50,2	10,0 13,1	
C ₃ H ₇	0,1 0,2 0,3	0,1 0,1 0,1	7/10 + 8/ком.	19,6 30,4 37,5	8,0 10,0 11,2	
C ₄ H ₉	0,1	0,05	7/40 — 17/ком.	54,3 60,9	21,8 23,0	

Наконец, изучение (на примере диметилвинилэтинилхлорметана) зависимости хода реакции от количества катализатора (табл. 7) показало, что с его увеличением выходы продуктов повышаются. Максимальный выход получается при мольных соотношениях катализатора, амина и винилацетиленового хлорида 0,11:0,2:0,1.

Таблица 7 Зависимость выхода продуктов реакции от количества катализаторов

Аминный		вещество, оли	Кол-во	Общий вы-	Выход	
R амии хлорид		Cu+Cu ₂ Cl ₂ , 2	дорода, %	°/o		
CH ₂	0,2	0,1	0,0	0,0	0,0	
	0,2	0,1	0,5+0,5	14,0	0,0	
	0,2	0,1	3,0+3,0	26,3	10,0	
	0,2	0,1	3,6+5,0	56,3	18,5	
C ₄ H ₈	0,4	0,1	0+0	0,0	0,0	
	0,4	0,1	0,3+0,3	10.\$	0,0	
	0,4	0,1	2,55,0	27,8	9,7	
	0,4	0,1	5,010,0	60,9	21,0	

Как видно из приведенных данных, медный катализатор играет роль реагента. Это находится в соответствии и с вышеприведенной схемой. Интересно также то, что в отсутствие аминов реакция дегалоконденсации не имеет места. При этом исходные галогениды в основном выделяются обратно.

Экспериментальная часть

Индивидуальность и строение синтезированных соединений устанавливались ГЖХ (колонка $1=80\,$ см, наполненной хроматоном с $5\,$ % апиезона и $15\,$ % твина, $t=130-150\,$ °, газ-носитель—аэот).

Взаимодействие винилацетиленовых галогенидов с первичными аминами в отсутствие катализатора. Смесь 0,1 моля винилацетиленового галогенида, 0,2 моля первичного амина, 0,05 моля воды и 25—30 мл растворителя кипятилась при перемешивании 30 час. Затем подкислялась 20% НСІ, экстрагировалась эфиром и сушилась над сульфатом магния. Отгонкой эфира обратно выделялся исходный хлорид. Водный раствор органических оснований нейтрализовался поташом, экстрагировался эфиром, сушился над сульфатом магния и после отгонки эфира остаток разгонялся в вакууме. Выходы и некоторые физико-химические константы полученных винилацетиленовых аминов II приведены в табл. 8.

Таблица 8 Винилацетиленовые амины II: R₁R₂C(NHR)C≡CCH=CH₂

200		1	0/0		1		Анализ, º/ _o N		
R	R ₁	R ₂	Выход, "	Т. кип., °С/ <i>мм</i>	11 ²⁰	d ²⁰	найдено	вычис-	
СНа	CH ₃	CH ₃	13,8	46/12	1,4750	0,8232	11,30	11,50	
CaH,	CH ₃	CH ₃	21,5	44/2	1,4685	0,8289	9,43	9,27	
C ₄ H ₉	Н	C ₃ H ₇	10,0	62/2,5	1.4565	0,8185	7,92	7,82	
C ₄ H ₉	CH ₃	CH ₃	21,0	79/10	1,4668	0,8305	8,35	8,45	
C ₄ H ₉	CH _a	C ₂ H ₅	18,4	67/3	1,4695	0,8358	7,86	7,82	

^{*} В случае метиламина ревкция проведена при -15°.

Взаимодействие винилацетиленовых галогенидов с первичными аминами в присутствии смеси однохлористой и порошкообразной меди. К смеси 100—150 мл эфира, первичного амина, однохлористой и порошкообразной меди (соотношение реагентов в табл. 5—8) при — 15° прикапывался винилацетиленовый хлорид с такой скоростью, чтобы температура не превышала —15°. Перемешивание продолжалось при этой температуре 7 час. и далее при комнатной от 17 до 65 час. (табл. 5—7). Затем реакционная смесь поджислялась HCI; экстрагировалась эфиром, высушивалась над сульфатом магния и после отгонки эфира перегонялась в вакууме. Некоторые физико-химические константы по-

лученных при этом непредельных углеводородов (IV—VI) и их общте выходы в различных условиях приведены в табл. 9, 10 и 3—7, соответственно. Выходы винилацетиленовых углеводородов (IV), согласно ГЖХ, колеблются от 30 до 50%, кумуленовых (VI) от 10 до 15%. Непредельные углеводороды смешанного строения (V) присутствуют в виде примеси. Идентифицировать их в чистом виде не удается. Водный раствор органических оснований нейтрализовался поташом, экстрагировался эфиром, сущился над сульфатом магния и после отгонки эфира разгонялся в вакууме. Константы полученных винилацетиленовых аминов приведены в табл. 8, а их выходы — в 4—8.

Таблица 9 Винилацетиленовые углеводороды IV: (—C(R₁R₂)C≡CCH-Cll₂)₂

			1.2			Анализ, °/。						
		%	Т					11				
R ₁	R ₃	Выход,	Т. кип., °С/мм	n ²⁰	d ₂₀	пайдено	вычис-	пвидено	яычис- лено			
н	Н	49,8	62,3	1,5135	0.8705	92,25	92,31	7,65	7,69			
Н	C ₃ H ₇	23,4	107/2	1,5075	0,8732	89,43	89,72	10,28	10,28			
CH ₃	CH ₃	50,5	66/2	1,5085	0,8414	89,62	89,40	10,21	10.60			
CH ₃	C ₂ H ₅	20,0	70/2	1,5068	0,8678	89.22	89,72	10,42	10,28			

Таблица 10 Кумуленовые углеводороды VI: $(R_1R_2C=C=C=CICH_2-)_2$

	1				Анализ, %					
R ₁	R ₂	0/0	Т. кип., °С/мм	n ²⁰	d ₂₀	C		9		
		Выход,	-C/ <i>M</i> .12			пайдено	BLAUNC-	แลหิдено	Вычис- лено	
CH ₃	СН	10,5	88/2	1,5255	0.8640	89,15	89,40	10,70	10,60	
CH ₃	C ₂ H ₅	14,0	98/2	1,5205	0,8736	89,60	89,72	10,28	10,28	

Гидрирование 2,11-диметил-2,3,4,8,9,10-додекагексаена. 1,5 г 2,11-диметилдодекагексаена VI ($R_1\!=\!R_2\!=\!CH_3$) гидрировалось в 20 мл абс. этилового спирта в присутствии платинового катализатора (по Адамсу). Получено 0,9 г (56,2%) 2,11-диметилдодекана VII, т. кип. $106\!-\!107^\circ$ при 13 мм, n_D^{20} 1,4378, d_z^{20} 0,7808, идентичного по ГЖХ, 2,11-диметилдодекану, полученному нами независимо по реакциям Вюрца и Гриньяря из 2-метил-1-хлоргексана (т. кип. $108\!-\!110^\circ$ при 15 мм, n_D^{20} 1,4355).

Гидрирование 5,5,6,6-тетраметил-1,9-декадиендиина-3,7. Аналогично из $\cdot 18$ г 5,5,6,6-тетраметил-1,9-декадиендиина-3,7 (IV, $R_1=R_2=CH_3$). Получено $\cdot 1,3$ г (60,8%) 5,5,6,6-тетраметилдекана VIII ($R_1=R_2=CH_3$)

с т. кип. $104-105^{\circ}$ при 12 мм, n_D^{20} 1,4450; d_s^{20} 0,7825, идентичного, по ГЖХ, 5,5,6,6-тетраметилдекану, полученному по реакциям Вюрца и Гриньяра из диметилбутилхлорметана (т. кип. $108-109^{\circ}$ при 16 мм, n_D^{20} 1,4430).

Гидрирование 1,9-декадиен-3,7-диина. Аналогично из 1 г 1,9-декадиен-3,7-диина IV ($R_1=R_2=H$) получено 0,8 г декана VIII ($R_1=R_2=H$) (т. кип. 140° при 680 мм), n_D^{20} 1,4125, идентичного, по ГЖХ, с H-деканом.

ՉՀԱԳԵՑՍԾ ՄԻԱՑՈՒԹՅՈՒՆՆԵՐԻ ՌԵԱԿՑԻԱՆԵՐԸ

XIX. ՎԻՆԻԼԱՑԵՏԻԼԵՆԱՅԻՆ ՀԱԼՈԳԵՆԻԴՆԵՐԻ ՎԵՐԱԿԱՆԳՆՈՂ ԴԵՀԱԼՈԴԻՄԵՐԻԶԱՑԻԱՅԻ ՆՈՐ ՌԵԱԿՑԻԱՅԻ ՄԱՍԻՆ

Շ. Հ. ԻԱԴԱՆՑԱՆ, Մ. Գ. ՈՍԿԱՆՑԱՆ և Ժ. Ա. ՉՈԲԱՆՑԱՆ

Վինիլպրոսպարդիլային հալոդենիդների և առաջնային ամինների փոխազդիցության ռեակցիայի ուսումնասիրությունները ցույց են տվել, որ առաջանում են ցածր ելբերով (5—9%) միայն վինիլացետիլենային ամիններ։ Մինչդեռ օգտագործելով պղնձի փոշին կամ պղնձի միարժեք քլորիդը որպես կատալիղատոր, ռեակցիայի արդյունթում ստացվում են գերչհագեցած ածխաջրածիններ բարձր ելբերով։ Վերջիններս իրենցից ներկայացնում են վինիլացետիլենային քլորիդների ածխաջրածնային մասի դիմերներ։ Մփաժամանակ
տանջատվել են նուկլեոֆիլ տեղակալման պրոդուկտներ՝ վինիլացետիլենային
ամիններ (13—21,5% ելքով)։ Ցույց է տրվել, որ ջերմաստահեանի բարձխացում բամինային պրոդուկտի ելքի ցածրացմանը՝ չհագեցած ածխացուծի ելքի մեծացման։ Հատանալ ամինի և քլորիդի 3:1 մտլյար հարաբերաթյան և կստալիզատորի էկվիմոլեկուլյար քանակի կիրառման դեպքում։

REACTIONS OF UNSATURATED COMPOUNDS

XIX. ON NEW REACTION OF REDUCTIVE DEHALODIMERIZATION OF VINYLPROPARGYLHALIDES

Sh. H. BADANIAN, M. G. VOSKANIAN and G. A. TCHOBANIAN

The dehalocondensation of vinylpropargylhalides in the presence of primary amines and mixtures of cuprous chloride and powdered Cu leads to the formation of highly unsaturated hydrocarbons as dimers.

ЛИТЕРАТУРА

1. S. A. Vartanian, Sh. O. Badanian, UPAC Abstracts of Congress, Lecturs and Seientific Papera, London, 1963, 226; Angew. Chem., 75, 1034 (1963); С. А. Вартанян, Ш. О. Баданян, А. В. Мушегян, Изв. АН Арм. ССР, ХН, 16, 547 (1963); 17, 505 (1964); С. А. Вартанян, М. Р. Бархударян, Ш. О. Баданян, ЖОрХ, 3, 1967 (1967); Ш. О. Баданян, М. Г. Восканян, Г. Г. Худоян, Арм. хим. ж., 23, 804 (1970).

G. F. Hennton, C. V. Digiovana, J. Org. Chem., 30, 2645 (1965); 43, 1319 (1969).
 Am. Chem. Soc., 82, 4908 (1960); N. R. Eston, R. D. Dillard, W. J. Doran, M. Divezey, D. E. Morrison, J. Org. Chem., 28, 3772 (1961).

3. G. N. Lewis, D. Lipkin, J. Am. Chem. Soc., 64, 2801 (1942); И. Н. Бубнов, С. Г; Кукес, А. И. Прокофьев, С. П. Солодовников, Д. Х. Расулаев, А. И. Володокин, В. В. Ершов, ДАН СССР, 204, 865 (1972); Г. А. Разуваев, Г. А. Абакумов, Е. С. Климов, ДАН СССР, 206, 889 (1972).

CONTRACTOR OF THE PARTY OF THE

 XXVII, № 10, 1974

УДК 547.3334

ИССЛЕДОВАНИЯ В ОБЛАСТИ АМИНОВ И АММОНИЕВЫХ СОЕДИНЕНИЙ

CIV. РЕАКЦИЯ ЦИКЛИЗАЦИИ

С. Т. КОЧАРЯН, Дж. В ГРИГОРЯН, Т. Л. РАЗИНА, В. С. ВОСКАНЯН в А. Т. БАБАЯН

Институт органической химии АН Армянской ССР, Ереван Поступило 28 XII 1973

Изучена циклизация аммониевых солей, содержащих наряду с 3-алкенил (арил) пропартильной группой 2-бутинильную, 3-хлор-2-бутенильную или 2-хлор-2-бутенильную группу. Установлена способность последней группы к непосредственному участно в циклизации с последующим дегидрохлорированием продукта и образованием солей 2,2-дналкилизо- и бензизонидолиния.

Табл. 2. библ. ссылок 3.

Ранее нами изучалась циклизация аммониевых солей, содержащих 2-бутинильную или 3-хлор-2-бутенильную группу в сочетании с 3-винилили 3-фенилпропаргильной группой [1—3]. В настоящем сообщении исследовалась циклизация хлористых солей диметил-(I), диэтил-(II)-(3-хлор-2-бутенил) (3-изопропенилпропаргил) аммония и бромистых солей диметил-(III), диэтил-(IV)-(2-бутинил) (3-изопропенилпропаргил) аммония (V), диметил (2-хлор-2-бутенил) (3-фенилпропаргил) аммония (VI), диметил (2,3-дихлорбутил) (3-фенилпропаргил) аммония (VII). Результаты приведены в табл 1, в которую для сравнения включены и данные некоторых рансе изученных солей (VIII—X). Как видно из табл. 1, замена 3-винил- или 3-фенилпропаргильной группы 3-изопропенилпропаргильною в аммониевых системах, содержащих 3-хлор-2-бутенильную группу, приводит к неожиданным результатам.

Метильный аналог (I) при действии водной щелочи полностью полимеризуется. В случае этильного аналога (II) выход продукта циклизации составляет 54%. Если же 3-изопропенилиропартильная группа находится в сочетании с бутинильной, то и метильные (III), и этильные (IV) аналоги циклизуются с высокими выходами с образованием солей 2,2-диалкил-4,6-диметилизоиндолиния.

$$R_{2} \stackrel{+}{\stackrel{+}{N}} CH_{3} - C \equiv CCH_{3}$$

$$CH_{2}C \equiv C - C = CH_{2}$$

$$CH_{3} \qquad (78 - 84^{\circ}/_{o})$$

$$III R = CH_{3}; IV R = C_{2}H_{5}$$

Поведение солей, содержащих 2-хлор-2-бутенильную группу, интересно было сравнить с поведением солей с 3-хлор-2-бутенильной группой.

Исследования показали, что при наличии наряду с 2-хлор-2-бутенильной группой 3-винилпропаргильной продукт циклизации получается с низким выходом (30%)—в основном идет осмоление. В случае же 2хлор-2-бутенильной группы в сочетании с 3-фенилпропаргильной (VI) выход продукта циклизации составляет 68%.

Приведенные в табл. 1 соли с 3-хлор-2-бутенильной группой в сочетании с 3-винилиропаргильной и 3-фенилиропаргильной циклизуются с хорошими выходами (72—74%).

Соли, содержащие 2-хлор-2-бутенильную группу, имеют возможность участвовать в циклизации как непосредственно (а), так и после предварительного дегидрохлорирования (б).

$$R_{2}N \stackrel{\leftarrow}{\stackrel{\leftarrow}{\cap}} CH_{2}CCC = CHCH_{3} \qquad (a)$$

$$\downarrow (\delta)$$

$$R_{2}N \stackrel{\leftarrow}{\stackrel{\leftarrow}{\cap}} CH_{2}C = CCH_{3}$$

В случае солей с 3-хлор-2-бутенильной группой показано [1, 2], что названная группа может участвовать в циклиэации непосредственно—в качестве группы аллильного типа.

Для выяснения последовательности реакций дегидрохлорирования и циклизации солей с 2-хлор-2-бутенильной пруппой нами изучена скорость образования ионного хлора под действием водной щелочи на соли VI и XI (табл. 2). Известно, что аммониевые соли, содержащие 2-хлор-2-бутенильную группу, достаточно устойчивы к дегидрохлорированию. Поэтому можно было ожидать, что если 2-хлор-2-бутенильная группа вовлекается в реакцию циклизации непосредственно, то дегидрохлорирование промежуточной циклической соли должно идти гораздо легче. Поскольку соль XI не способна циклизоваться, сравнением скоростей образования ионного хлора из солей VI и XI можно было получить нежоторую информацию о последовательности реакций дегидрохлорирования и циклизации.

Результаты циклизации солей 1—VII под действием водной щелочи при 70-часовом стоянии при комнатной температуре (из них 20 час. при 40)

	1				1	Пр	олукт цик		111								1,
%		Исходна	ая соль		т. пл., °C	R ₂ N	CH ₃ -	CII3	R′ R″	Т. пл., °С	3, 0,0	nai	Аналі		слено	0 0	Дегидроклорирова ине, °
	R ₂	R'	R"	x	100	№	R ₃	R,	R*		Выход	N	Br (CI)	N	Br (CI)	Амин,	Легил
İ	(CH ₁) ₂	CH ₃ CH=CCH ₃	CH ₂ C≡CC=CH ₂	CI	137	la	пол	пме	p	выше 350	-	4,57	(16,24)	6,62 5,69	(16,78) (19,30)	4,8	45
ii III IV	(C ₂ H ₅) ₂ (CH ₃) ₂ (C ₂ H ₅) ₃	CH ₂ C≡CCH ₃	-	Br	145—147 85—87 122—123	Ila Illa IVa	(C ₂ H ₅) ₂ (Cl·l ₃) ₂ (C ₂ H ₅) ₃	CH ₃	н	158—159 152—153 161—162	78,1	5,20	31,05	5,69	31,20	3,5	74,8
V	(CH ₃) ₂	CH ₂ C=CHCH ₃	CH ₂ C≡CCH≔CH ₃		**	Va	(CH ₃) ₂	H		158 - 160			32,85	5,79	33,05	13,5	75
Vi	•		CH ₂ C≡CC ₆ H ₅		141-142	Via	-	\		192—193			-			18,28	
VII		CH ₂ CH—CHCH ₃		•	156—158	VIIa		**	H	192 193	76,0	4,71	27.35	1,76	27,21	7,5	87
VIII*	(CH ₃) ₂	CH3CH=CCH3	CH ₂ C≡CCH=CH ₂	CI	**	VIIIa	•	Н		184185	72,0	-		-	-	11,0	84,0
IX*	(C ₂ H ₅),\$	ĊH _a	F		**	IXa	(C ₂ H ₅) ₂			**	25, 0	-	_		-	17.4	84,2
Х*	(CH ₃) ₂		CH ₂ C≡CC ₆ H ₅	•	132—133	Xa		/		233—235	74,0	_	-		_	24,0	86

[•] Приводятся из статей [2, 3] для сравнения. ** Т. пл. не определена из-за гигроскопичности.

Результаты взаимодействия солей VI и XI с водной щелочью приведены в табл. 2, согласно которой по скорости образования понного хлора соль XI в аналогичных условиях заметно уступает соли VI.

Таблица 2

Скорость образования ионов хлора при взаимодействии с водной щелочью бромистых солей диметил (2-хлор-2-бутенил) (3-фенилпропаргил) аммония (VI) и диметил (2-хлор-2-бутенил) (2-бутинил) аммония (XI)

Скорость образования понов хлора, ⁰ / ₀					
соль VI	соль ХІ				
15,4	9,1				
27,2	16,7				
37,7	22,8				
49,5	29,9				
65,8	40,2				
	хлор соль VI 15,4 27,2 37,7 49,5				

Полученные результаты свидетельствуют в пользу того, что 2хлор-2-бутенильная группа может участвовать в циклизации и в качестве группы аллильного типа.

На основании полученных данных пока трудно дать количественную характеристику соотношения направлений реакции (а) и (б).

Далее нами показано, что в качестве потенциальной β,γ -непредельной группы в циклизацию может быть вовлечена 2,3-дихлорбутильная группа. В результате дегидрохлорирования триалкил (2,3-дихлорбутил) аммония образуется соль триалкил (2-хлор-2-бутенил) аммония [4]. Надо полагать, что циклизация бромистого диметил (2,3-дихлорбутил) (3-фенилпропаргил) аммония (VII) также происходит через промежуточное образование соли с 2-хлор-2-бутенильной группой (VI).

$$(CH_3)_{3}\overset{+}{N}\overset{CH_2C-CCH_3}{\underset{Br}{C}} \longrightarrow (CH_3)_{2}\overset{+}{N}\overset{CH_2C-CHCH_3}{\underset{CH_2C\equiv C-CH_3}{\overset{+}{C}}} \longrightarrow (CH_3)_{2}\overset{+}{N}\overset{CH_2C=CHCH_3}{\underset{CH_3}{\overset{+}{C}}} \longrightarrow (CH_3)_{2}\overset{+}{N}\overset{CH_3C-CHCH_3}{\underset{CH_3}{\overset{+}{C}}} \longrightarrow (CH_3)_{2}\overset{+}{N}\overset{CH_3C-CH_3}{\underset{CH_3}{\overset{+}{C}}} \longrightarrow (CH_3)_{2}\overset{+}{N}\overset{CH_3C-CH_3}{\underset{CH_3}{\overset{+}{C}}} \longrightarrow (CH_3)_{2}\overset{+}{N}\overset{CH_3C-CH_3}{\underset{CH_3}{\overset{+}{C}}} \longrightarrow (CH_3)_{2}\overset{+}{N}\overset{CH_3C-CH_3}{\underset{CH_3}{\overset{+}{C}}} \longrightarrow (CH_3)_{2}\overset{+}{N}\overset{C}{\overset{+}{N}} \longrightarrow (CH_3)_{2}\overset{+}{N}\overset{C}{\overset{+}{N}} \longrightarrow (CH_3)_{2}\overset{+}{N}\overset{C}{\overset{+$$

Синтез исходных солей I—IV осуществлен взаимодействием диалкил (3-изопропенилиропаргил) аминов с 1,3-дихлор-2-бутеном или 1-бром-2-бутином. Соли V—VII получены взаимодействием диметил (2-хлор-2бутенил) - или диметил (2,3-дихлорбутил) аминов с соответствующими алкилгалогенидами.

Экспериментальная часть

Реакция циклизации. В колбу, снабженную нисходящим холодильпиком, соединенным последовательно с приемником, промывалкой (содержащими титрованный раствор кислоты) и газометром, помещался
водный раствор испытуемой соли и основания. Реакционная смесь оставлялась на определенное время при комнатной температуре или нагревалась на водяной бане. Для удаления побочных продуктов реакции
смесь экстрагировалась эфиром. В водном слое определялось количество
образовавшегося ионного галоида. Водный слой нейтрализовался, выпаривался досужа. Продукт шиклизации извлекался абс. спиртом и перекристаллизовывался из смеси спирта с ацетоном. Эфирный экстракт реакционной смеси добавлялся к содержимому приемника и промывалок.
Обратным типрованием кислоты определялось количество амина, образовавшегося в результате расщепления соли.

Взаимодействие хлористого диметил (3-хлор-2-бутенил) (3-изопропенилиропоргил) аммония (I) с водной щелочью. Раствор 1,24 г соли I в 2 мл воды и 3,4 мл 4,5 н едкого кали нагревался в течение 20 час. при 40°. После соответствующей обработки выделено 0,8 г кристаллического вещества, чернеющего, начиная с 262°, и не плавящегося до 350°. В ИК и УФ спектрах отсутствуют характерные поглощения как исходной, так и циклической соли.

В водном слое установлено образование 0,45 г-ат ионного галоида на 1 моль взятой соли.

Все остальные опыты проведены аналогично этому.

Циклизация хлористого диэтил (3-хлор-2-бутенил) (3-изопропенил-пропаргил) аммония (II). Из 1,38 г соли II в 2 мл воды и 3,4 мл 4,5 н раствора едкого кали получено 0,000654 моля (111,1%) амина с т. пл. пикрата 118°, не дающего депрессии температуры плавления в смеси с пикратом диэтил (3-изопропенил пропаргил) амина, и 0,65 г (54,2%) хлористого 2,2-диэтил-4,6-диметилизоиндолиния с т. пл. 158—160°. Найдено %: N 6,20; $\overline{C1}$ 17,20. $C_{14}H_{22}NC1$. Вычислено %: N 6,70; $\overline{C1}$ 17,40. ИК спектр, см-1: 1600, 690. УФ слектр: 265 мм.

В водном слое наблюдалось образование $0.748\ e\text{-}ar$ ионного хлора на 1 моль взятой соли.

Циклизация бромистого диметил (2-бутинил) (3-изопропенил пропаргил) аммония (III). Из 2,56 г соли III в 4 мл воды и 0,74 мл 4,5 н раствора едкого кали получено 0,00035 моля (3,5 %) амина и 2 г (78,1%) бромистого 2,2,4,6-тетраметилизоиндолиния с т. пл. 152—153°. Найдено %: N 5,20; $\overline{\rm Br}$ 31,05. $C_{12}H_{18}N{\rm Br}$. Вычислено %: N 5,60; $\overline{\rm Br}$ 31,20. ИК спектр. см $^{-1}$: 1600, 700. УФ спектр: 265 нм.

Циклизация бромистого диэтил (2-бутинил) (изопропенилиропаргил)-аммония (IV). Из 2,84 г соли IV в 4 мл воды и 0,74 мл 4,5 н раствора едкого кали получено 0,0001794 моля (1,8 %) амина и 2,4 г (84,5 %) бромистого 2,2-диэтил-4,6-диметилизоиндолиния с т. пл. 161—162°. Найдено %: N 4,70; Вг 27,50. С₁₄H₂₂NBг. Вычислено %: N 4,90; Вг 27,90. ИК спектр, см⁻¹: 1600, 760. УФ спектр: 265 нм.

Циклизация бромистого диметил (2-хлор-2-бутенил) (3-винилпропаргил) аммония (V). Из 2,8 г соли V в 4 мл воды и 7 мл 3,7 н раствора едкого кали получено 0,00135 молей (13,5 %) амина с т. пл. пикрата 87°, не дающего депрессии температуры плавления в смеои с пикратом диметил (3-винилпропаргил) амина, и 0,73 г (30%) бромистого 2,2,4-триметилизочиндолиния с т. пл. 158—160°, не дающего депресоии температуры плавления с известным образцом [2].

В водном слое установлено образование 0,75 г-ат ионного хлора на 1 моль взятой соли.

Циклизация бромистого диметил (2-хлор-2-бутенил) (3-фенилпропар-гил) аммония (VI). Из 3 г соли VI в 19 мл воды и 3 мл 6,2 н раствора едкого кали получено 0,001664 моля (18,28%) амина с т. пл. пикрата 115—116°, не дающего депрессии температуры плавления в смеси с пикратом диметил (3-фенилпропаргил) амина, и 1,8 г (68,1%) бромистого 2,2,4-триметил-5,6-бензизоиндолиния с т. пл. 192—193°, который не даег депрессии температуры плавления в смеси с известным образцом [2].

Циклизация бромистого диметил (2,3-дихлорбутил) (3-фенилпропаргил) аммония (VII). Из 2 г соли VII в 12 мл воды, 4 мл спирта и 3 мл 6 н раствора едкого кали получено 0,0004085 моля (7,5%) амина с т. пл. пикрата 115—116°, не дающего депрессии температуры плавления в смеси с пикратом диметил (3-фенилпропаргил) амина, и 1,2 г (76%) бромистого 2,2,4-триметил-5,6-бензизоиндолиния с т. пл. 192—193°, не дающего депрессии температуры плавления в смеси с пикратом продукта циклизации из предыдущего опыта и с известным образцом [2]

ՀԵՏԱԶՈՏՈՒԹՅՈՒՆՆԵՐ ԱՄԻՆՆԵՐԻ ԵՎ ԱՄՈՆԻՈՒՄԱՅԻՆ ՄԻԱՑՈՒԹՅՈՒՆՆԵՐԻ ԲՆԱԳԱՎԱՌՈՒՄ

Ս. Տ. ՔՈՉԱՐՅԱՆ, Ջ. Վ. ԴՐԻԳՈՐՏԱՆ, Տ. Լ. ՌԱԶԻՆԱ, Ո. Ս. ՈՍԿԱՆՑԱՆ և Ա. Թ. ԲԱԲԱՅԱՆ

Ներկա հաղորդումը նվիրված է չորրորդային ամոնիումային աղերի ցիկլացմանը, որոնք ենինային խմբերի հետ մեկտեղ պարունակում են 2-բութիՆիլ, 3-քլոր-2-բութենիլ կամ 2-քլոր-2-բութենիլ խմբեր։ Արդյունքները բերված են 1 աղյուսակում։ Ինչպես երևում է նրանից, I աղը ջրային հիմբի աղդեցության տակ ենթարկվում է պոլիմերացման, իսկ նրա դիէթիլ անալոգը
նույն պայմաններում առաջացնում է ցիկլիկ պրոդուկտ 54% ելքով։ Երբ
3-իղոսրոպենիլարոպարգիլ խումբը գուգակցված է բութենիլ խմբի հետ, ապա

և դիմենիիլ (III), դիէնիլ (IV) անալոգները նույնպես բարձր ելջերով բերում են ցիկլիկ պրողուկաների դոյացմանը։ Ցույց են տրվել, որ երը 2-ջլոր-2-բու-իենիլ խումբը զուդակցված է 3-վինիլպրոպարգիլ խմբի հետ (V), ապա ցիկ-լիկ պրոդուկաները ստացվում են ցածր ելջով (30%)։ Իսկ ենե այդ խումբը զուդակցված է 3-ֆենիլպրոպարգիլ խմբի հետ, ապա ցիկլիկ պրոդուկան ել-բր բարձրանում է մինչև 68%։ Ցույց է տրված, որ բարձր ելջով ցիկլացման է եննարկվում նաև VII աղը։

Ուսումնասիրվել են նաև VI և XI աղերի դեհիդրոքլորացման ռեակցիաների արադությունները։ Արդյունքները բերված են II աղյուսափում։ Բերված տվյալների համաձայն, XI աղի դեհիդրոքլորացման ռեակցիան ի տարբերություն VI աղի դնում է անհամեմատ արագ։ Այնուհետև ստացված տվյալները հաստատում են, որ VI աղը կաթող է մասնակցել ցիկլացման ռեակցիային, որպես ալիլային տիպի խումը։

INVESTIGATIONS IN THE FIELD OF AMINES AND AMMONIUM COMPOUNDS

CIV. THE CYCLIZATION REACTION

S. T. KOCHARIAN, J. V. GRIGORIAN, T. L. RAZINA, V. S. VOSKANIAN and A. T. BABAYAN

The cyclization of ammonium salts containing 2-butynyl, 3-chloro-2-butenyl or 2-chloro-2-butenyl groups together with 3-alkenyl(aryl) propargylic ones. The ability of the former to participate directly in the cyclization with subsequent dehydrochorination of the cyclization product has been confirmed.

ЛИТЕРАТУРА

- 1. А. Т. Бабаян, С. Т. Кочарян, П. С. Чобанян, Т. А. Азизян, ДАН Арм. ССР, 51. 227 (1970).
- 2. А. Т. Бабаян, С. Т. Кочарян, Дж. В. Григорян, П. С. Чобанян, ЖОрХ, 7, 2253 (1971).
- 3. А. Т. Бабаян, С. Т. Кочарян, Дж. В. Григорян, Т. Л. Разина, В. С. Восканян, ДАН Арм. ССР (в печати)

XXVII, № 10, 1974

УДК 547.316

СИНТЕЗ α-АЛКИЛ (АРИЛ) - N- (ω-АМИНОТЕТРАМЕТИЛ) - γ-ВАЛЕРОЛАКТАМОВ И СООТВЕТСТВУЮЩИХ БИС-ЛАКТАМОВ

С. В. АРАКЕЛЯН, С. М. АКОПЯН и М. Т. ДАНГЯН

Ереванский государственный университет

Поступило 28 IX 1973

Взаимодействием α -алкил (арил) - γ -валеролактонов с тетраметилендиамином получены α -алкил (арил) -N - (ω -аминотстраметил) - γ -валеролактамы и 1,4-бутан-N,N'-бисалкил (арил) - γ -валеролактамы.

Табл. 1, библ. ссылок 4.

Известно, что пятичленные лактоны реагируют с диаминами с образованием в зависимости от условий реакции моно- или бис-лактамоз [1—3].

Настоящая работа посвящена синтезу новых α -алкил (арил) - N- (ω -аминотетраметил) - γ -валеролактамов и 1,4-бутан-N,N'-бис-алкил (арил) - γ -валеролактамов. В качестве исходных веществ использовались ранее нами синтезированные α -алкил (арил) - γ -валеролактоны [4] и тетраметилендиамин. Синтез моно- и бис-лактамов проводился в среде кипящего абсолютного толуола при соотношении реагентов 1:1 и 1:2 и времени реагирования 9—11 час. Строение полученных бис-лактамов доказано вопречным синтезом. α -Гексил-N-(ω -аминотетраметил) - γ -валеролактам (R= C_6H_{13}) взаимодействием с α -гексил- γ -валеролактоном переведен в 1,4-бутан-N,N'-бис- α -гекоил- γ -валеролактам. Идентичность полученных бис-лактамов показана с помощью ИК спектров, отсутствием депрессин температуры плавления и величинами R_{\bullet} .

15	Выхол, °/о	Т. пл., С	Растворитель при перекристаллизации
C ₂ H ₅	97,4	88-90	петр. эфир 🕂 ацетон
C ₄ H ₉ C ₅ H ₁₁ C ₄ H ₁₃ C ₆ H ₈ CH ₂	73,1 71,8 73,2 72,1	120—121 116 123—124 147	ацетон — дноксан ацетон диоксан ацетон

C ₄ H ₉	72,5	112	ацетон
C ₅ H ₁₁	88,6	103—105	диоксан
C ₆ H ₁₃	83,3	113—115	диоксан
C ₆ H ₅ CH ₂	75.8	136—137	бензол + ацетон

			Ап	али	3,	°/o	
				ŀ	i	N	
Rt	Элюент	найдено	вычис-	нандено	BLYIIC-	найдено	вычис-
0,58	Дис. вода-и бутанол- лед, уксусная к-та 4:1:1	64,11	63,95	10,27	10,38	10,3	9,99
0,60	н	71,98	72,52	10,20	10,96	7,72	7,68
0,59	7.1	73,16	73,49	10,89	11,22	7,57	7,14
0,62	n ·	74,35	74,28	11,24	11,43	6,58	6,67
0,57		77,56	77,78	8,21	8,33	6,42	6,18

$$CH_3 - \begin{array}{c} -R \\ O \\ (CH_3)_4 NH_2 \end{array}$$

0,65	Дис. вода—и буганол— лед. уксусная к-та 80 мл + 40 мл + 25 мл						
0,61		69,66	70,00	11,54	11,66	12,30	12,66
0,63		71,02		11,79			
0,60		73,95	73,84	9,12	9,23	10,54	10.76

В ИК спектрах полученных моно- и бис-лактамов найдены характерные частоты в области 1660—1647 см⁻¹, приписываемые карболильной группе лактамного кольца. Индивидуальность моно- и бис-лактамов контролировалась с помощью ТСХ, а исходных лактонов—ГЖХ*.

Экспериментальная часть

1. α-Алкил(арил)-N-(ω-аминотетраметил)-γ-валеролактамы. Смесь 30 мл абс толуола, 0,01 моля тетраметилендиамина и 0,01 моля α-алкил-(арил)-γ-валеролактона шагревалась до прекращения выделения воды.

После отгонки толуола под уменьшенным давлением кристалличес-

кий остаток отфильтровывался (табл. 11).

- 2. 1,4-Бутан-N,N'-бис-α-алкил(арил)-γ-валеролактамы. Смесь 40 мл абс. толуола, 0,01 моля тетраметилендиамина и 0,02 моля α-алкил (арил)-γ-валеролактона нагревалась до прекращения выделения воды. После отгонки растворителя под уменьшенным давлением кристаллический остаток отфильтровывался.
- 3. 1,4-Бутан-N,N'-бис- α -гексил- γ -валеролактам. Условия опыта те же, что и в 1. Найдено %: С 74,3%; Н 11,27%, N 6,49%. R_f на окиси алюминия—0,62.

α–ԱԼԿԻԼ (ԱՐԻԼ)–N (ω–ԱՄԻՆՈՏԵՏՐԱՄԵԹԻԼ)–γ–ՎԱԼԵՐՈԼԱԿՏԱՄՆԵՐԻ ԵՎ ՀԱՄԱՊԱՏԱՍԽԱՆ ԲԻՍ–ԼԱԿՏԱՄՆԵՐԻ ՍԻՆԹԵԶԸ

Ս. Վ. ԱՌԱՔԵԼՑԱՆ, Ս. Մ. ՀԱԿՈՐՏԱՆ և Մ. Տ. ԴԱՆՂՑԱՆ

3ույց է տրված, որ α-արկիլ(արիլ)-γ-վալհրոլակտոնները տետրամենիլենդիամինի հետ փոխազդելիս, 1:1 և 2:1 հարաբերունյերով, բացարձակ տոլուոլի միջավայրում առաջացնում են α-ալկիլ(արիլ)-N-ամինոտետրամենիլ)-γ-վալերոլակտամներ և 1,4-բուտան-N,N'-ալկիլ(արիլ)-γ-վալերոլակտամներ։

SYNTHESIS OF α-ALKYL(ARYL)-N-(ω-AMINOTETRAMETHYL)γ-VALEROLACTAMS AND bis-LACTAMS

S. V. ARAKELIAN, S. M. HAKOPIAN and M. T. DANGHIAN

It has been shown that interaction of α -alkyl(aryl)- γ -valerolactons with tetramethylendiamine produces α -alkyl(aryl)-N-(ω -tetramethyl)- γ -valerolactams and 1,4-bytane-N,N'-bis- α -alkyl(aryl)- γ -valerolactams.

^{*} В качестве набивки использовался хемосорб 0,25—0,35 мм, содержащий 5% ПЭЯ-400, т. колонки 17—195°С, размер колонки 2000 \times 3 мм, скорость He—60 мл/ми:, время анализа 5—8 мин., количество пробы 3—4 мкл.

ЛИТЕРАТУРА

- 1. Reppe und mittarheitern, Lieb. Ann., 596, 176 (1955).
- 2. Г. Б. Арссиян, С. Т. Налбандян, С. В. Аракелян, М. Т. Дангян, Арм. хим. ж., 23. 390 (1970)
- 3. С. В. Аракелян, С. М. Акопян, С. Г. Титанян, М. Т. Данеян, Арм. хим. ж., 25, 335. (1972)
- 4. С. В. Аракелян, С. М. Акопян, С. Г. Титанян, М. Т. Дангян, Уч. зап. ЕГУ, 1, 122, (1972).

XXVII, № 10, 1974

УДК 547.298,1+547.538.111

АЛКИЛИРОВАНИЕ ПРОИЗВОДНЫХ КИСЛОТ СТИРОЛОМ В ПРИСУТСТВИИ НАТРИЯ

Э. А. ГРИГОРЯН, Г. Г. СУКИАСЯН и Г. Т. МАРТИРОСЯН

Всесоюзный научно-исследовательский и проектный институт полимерных продуктов, Ереван

Поступило 24 XII 1973

Изучено С-алкилирование N,N-диэтилацетамида и N-метилпирролидона стиролом в присутствии каталитических количеств металлического натрия. Показано, что в зависимости от условий проведения реакции образуются продукты различной степени алкилирования. Предложена схема образования продуктов ди- и триалкилирования, включающая внутримолекулярное протонирование по четырехчленному циклическому механизму.

Табл. 2, библ. ссылок 6.

Нами было показано [1-4], что первичные, вторичные алифатические и гетероциклические амины, а также имины альдегидов и кетонов подвергаются N- и С-алкилированию 1,3-диеновыми углеводородами и активированными олефинами в присутствии каталитических количеств щелочных металлов. В продолжение этих исследований изучена реакция С-алкилирования производных карбоновых кислот стиролом в присутствин натрия. Т. к. эфиры малоновой кислоты при взаимодействии с алкоголятами натрия образуют соответствующие карбанионы, то предполагалось, что при взаимодействии их со стиролом будет иметь место С-алкилирование. Оказалось, что реакция присоединения стирола к малонсвому эфиру в присутствии каталитических количеств натрия не имеет места даже при нагревании реакционной смеси в течение 20 час при 120—130°. Продукты присоединения не образуются также при использовании эквимольного количества натрия. При этом в небольших количествах получается 1,3-дифенилбутан, образование которого можно представить схемой

Можно было полагать, что при переходе к эфирам одноосновных карбоновых кислот активность промежуточно образующихся карбанионов будет достаточна для осуществления алкилирования. Оказалось, что при взаимодействии амилового эфира уксусной кислоты со стиролом при 100—120° в течение 10—15 час. продукт алкилирования получается лишь с 2—3% выходом.

В ряду RCOCI, RCOOCOR, RCOOH, RCOOR, RCONH2 и RCOO-

реакционная способность соответствующих карбанионов R-CH-C

должна увеличиваться слева направо [5]. Исходя из этих соображений, в реакциях алкилирования необходимо было иопользовать либо соли карбоновых кислот, либо амиды. Взаимодействие ацетата натрия со стиролом как в бензоле, так и без растворителя не привело к положительным результатам По всей вероятности, это можно было объяснить нерастворимостью ацетата натрия как в ствроле, так и в смеси бензолстирол. Реакция же N,N-диэтиламида и N-метилпирролидона со стиролом протекает экзотермично и практически заканчивается за 10-15 мин. При осуществлении реакции без растворителя температура реакционной смеси быстро поднимается и значительная часть стирола полимеризуется. Сравнительно гладко и без побочных процессов протекает реакция в среде растворителя и в присутствии ингибитора полимеризации неозона «Д». В результате получается смесь продуктов различной степени алкилирования. Данные приведены в табл. 1, из которой видно, что при мольном соотношении реагентов 1:1 (опыты 1, 2, 3, 10) наряду с моноалкилированным продуктом реакции получаются также ди- и триалкилированные продукты. Аналогично протекает реакция и при прикапывании эквимольного количества стирола к предварительно нагретой до 80° смеси амида и натрия. Более избирательное течение реакции наблюдается в случае проведения опыта без нагревания. При этом выхол моноалкилированного продукта сосгавляет 67%, а приалкилированный продукт вовсе не образуется. Как и следовало ожидать, с увеличением мольной доли стирола увеличиваются выходы ди- и триалкилированных продуктов (опыты 5, 7, 8).

На основании полученных данных, а также из соображений по химизму алкилирования аминов, альдиминов и кетиминов в присутствии щелочных металлов [2—4] алкилирование производных кислот стиролом можно представить схемой

PhCH=CH₂ + Na
$$\longrightarrow$$
 PhCH-CH₃

Na Na

I + CH₃-C

O

NaCH₂C

NaCH₂C

O

NaCH₂C

N(C₂H₅)₃

PhCHCH₂CH₂CH₂C

N(C₂H₅)₂

PhCHCH₂CH₂CH₂C

N(C₃H₅)₂

PhCH₂CH₂CH₂CH₂C

N(C₃H₅)₂

PhCH₂CH₂CH₂CH₃C

N(C₃H₅)₂

PhCH₂CH₂CH₃CH₃C

N(C₃H₅)₂

Образование ди- и триалкилированных продуктов можно было представить аналогичной схемой. Однако отдельными опытами было показано, что готовые моноалкилированные продукты реакции далее в принятых условиях не подвергаются алкилированию стиролом. Этот факт позволяет сделать вывод о том, что в условиях реакции имеет место внутримолекулярное протонирование промежуточно образовавшегося карбаниона по четырехчленому циклическому механизму, приводящее к более стабильному карбаниону:

$$C - CH_2NQ + CH_2 = CHPh \longrightarrow C - CH - CH_2$$

$$R_1N H^2 = CHPh$$

$$0 CH_2CH_2Ph$$

$$0 C$$

Нами изучено и алкилирование N-метилпирролидона стиролом. Показано, что в этом случае гладко образуются соответствующие моно- и диалкилированные продукты:

$$\begin{array}{c} & & & \\ & &$$

Экспериментальная часть

Общее описание алкилирования производных кислот стиролом. Смесь 0,1 моля N,N-диэтилацетамида или N-метилпирролидона, 0,05—0,3 моля стирола, 0,2 г металлического натрия, 40—100 мл бензола и 0,05 г неозона «Д» при перемешивании кипятилась 2—6 час. После отгонки растворителя продукты реакции перегонялись под вакуумом.

Данные приведены в табл. 1 и 2 Индивидуальность полученных продуктов показана при помощи ТСХ на незакрепленном слое окиси алюминия (д/х), (проявитель—металлический йод, растворитель—эфир: бензол, 1:12) и ГЖХ на хроматографе ЛХМ-8МД (газ-носитель—гелий, твердая фаза ПДЭГС 10% на хроматоне-Н, длина колонки 2 м, температура колонки 160—180°).

Взаимодействие диэтилового эфира малоновой кислоты со стиролом в присутствии натрия. Смесь 40 г (0,25 моля) диэтилового эфира малоновой кислоты, 78 г (0,75 моля) стирола, 5,75 г (0,25 моля) металлического натрия в 80 мл бензола кипятилась при перемешивании 16-17 час. После нейтрализации натрия смесь экстрагирована эфиром и высушена над MgSO₄. Перегонкой получено: 40,7 г (0,39 моля, 52,1%) стирола с т. кип. 40—45° (20 мм), \mathbf{n}_{D}^{20} 1,5450; 20,6 г (0,128 моля, 51,5%) диэтилового эфира малоновой кислоты с т кип. 94—96 (18 мм), \mathbf{n}_{D}^{20} 1,4362 и 14,5 г (0,07 моля, 27,6%) 1,3-дифенилбутана, т. кип. 140—143° (3 мм), \mathbf{n}_{D}^{20} 1,5518 [6].

Таблица 1 Алкилирование N,N-диэтилацетамида и N-метилиирролидона стиролом в бензоле при 78

_	B GOLDWING WAY 10												
e		Сооти.	Кол-во	Время	Продукты реакции, выход, ⁰ / ₀								
№ опыта	Исходный амин	амида к стиролу, моли	бензола, <i>мл</i>	взанмо- действия, час	моноал- килиро- ванный	диалки- лирован- ный	триал- килиро- ванный						
1	CH ₃ C. O N(C ₂ H ₃) ₃	1:1	60	2	40	24	23						
2		1:1	60	3,5	39	36	18						
3*		1:1		0,5	27,1	43,1	21,4						
4**	,	1:1	50	6	67	29	_						
5*		1:2	70	6	17,5	40,5	6,7						
6**		1:2	50	6	50,3	39,6	10						
7		1:3	100	4	10	40,6	33,4						
8*		1:3	50	2,5	6,8	20,5	47						
9*		2:1	45	2,5	28,9	30,3	38						
10	=0	1:1	50	3	33,5	34,3	_						
***	N-CH ₃		=0		40	00.0							
11*		1:1	50	6	40	33,3	_						
12		1:2	60	6	9,2	40	_						
13		2:1	50	3	34,2	58,2	_						
14	•	2:1	130	3	37,2	29,1	-						

^{*} Реакция проводилась в условиях прикапывания стирола к смеси.

Ревкция проводилась без нагревания.

Таблица 2

$$\begin{array}{c|c}
R & & & \\
R^{1}-C-C & & & \\
R^{11} & & & \\
R^{1} & & & \\
C & & \\
C & & \\
C & & \\
C & & & \\
C & &$$

		200							Λн	ал	и з,	%	0/0				
R	RI	RII	Kili	RIV	Т. кип.,	d ₄ ²⁰	n ²⁰	найдено вычисле		но							
					°C/мм	-4	J	С	н	N	С	9,40 6,40 8,90 4,40 8,60 3,28 8,37 6,90					
Н	Н	(CH ₂) ₂ Ph	_	_	133 – 135/2	1,0056	1,5211	76,80	9,65	6,41	76,00	9,40	6,40				
Н	(CH ₂) ₃ Ph	(CH ₂) ₂ Pli		-	204-206/2	1,0330	1,5472	81.97	9,10	4,40	81,70	8,90	4,40				
(CH ₂) ₂ Plı	(CH ₂) ₂ Ph	(CH ₂) ₂ Ph		_	248-250/2	1,0414	1,5620	84.46	8,61	3,42	84,30	8,60	3,28				
_			Н	(CH ₂) ₂ Ph	160-162/2	1,0755	1,5380	75,14	8,19	7,10	74,60	8,37	6,90				
	_	_ <	(CH ₂) ₂ Pli	(CH ₂) ₂ Ph	210-212/2	-		82,30	8,90	4,61	82,08	8,31	4,56				

ԹԹՈՒՆԵՐԻ ԱԾԱՆՑՅԱԼՆԵՐԻ ԱԼԿԻԼՈՒՄԸ ՍՏԻՐՈԼՈՎ ՆԱՏՐԻՈՒՄԻ ՆԵՐԿԱՑՈՒԹՅԱՄԲ

է. Ա. ԳՐԻԿՈՐՅԱՆ, Դ. Գ. ՍՈՒՔԻԱՍՅԱՆ և Գ. Թ. ՄԱՐՏԻՐՈՍՅԱՆ

Ուսումնասիրված է N,N-դիալկիլացնտամիդի և N-մենիլպիրրոլիդոնի C-ալկիլումը ստիրոլով կատալիտիկ ջանակությամբ մետաղական նատրիումի ներկայությամբ։ Ցույց է տրված, որ կախված պրոդուկտներ։ Առաջարկված է դի- և տրիալկիլված պրոդուկտների առաջացման սխեմա, Համաձայն որի պրոցնսում տեղի ունի ներմոլեկուլյար պրոտոնացում՝ չորսանդամանի ցիկարդանասում տեղի ունի ներմոլեկուլյար պրոտոնացում՝ չորսանդամանի ցիկ-

THE ALKYLATION OF ACID DERIVATIVES WITH STYRENE IN THE PRESENCE OF SODIUM

E. A. GRIGORIAN, G. G. SUKIASSIAN and G. T. MARTIROSSIAN

The C-alkylation of N,N-dialkylacetamid and N-methylpyrrolidone has been investigated in the presence of catalytic amounts of metallic sodium. It has been shown that various alkylation products are obtained depending upon the reaction conditions. A reaction scheme is put forward to explain the formation of di- and trialkyl products, suggesting an intramolecular protonation process involving a four-membered ring mechanism.

ЛИТЕРАТУРА

- 1. Г. Т. Мартиросян, Э. А. Григорян, Изв. АН Арм. ССР, ХН, 16, 31 (1963).
- 2. Г. Т. Мартиросян, А. Ц. Казарян, Э. А. Григорян, А. Т. Бабаян, ЖОрХ, 6, 446 (1970).
- 3 А. Ц. Казарян, Г. Т. Мартиросян, Арм. хим. ж., 25, 861 (1972).
- 4. Э. А. Григорян, А. Ц. Казарян, К. С. Лусарарян, Г. Т. Мартиросян, Арм. хим. ж. 27, 304 (1974).
- 5. К. Райд, Курс физической органической химин, Изд. «Мир», стр. 398, 1972.
- 6. H. Stobbe, G. Posnjak, Ann., 1909, 371, 287.

XXVII, № 10, 1974

УДК 547.514,471+547.59+547.52

СИНТЕЗ АЛЬДЕГИДОВ, СОДЕРЖАЩИХ АРИЛЬНЫЕ И ЦИКЛОАЛКИЛЬНЫЕ ФРАГМЕНТЫ, ИЗ СООТВЕТСТВУЮЩИХ НИТРИЛОВ

Э. А. МАРКАРЯН, А. С. АДЖИБЕКЯН и С. Г. КАРАГЕЗЯН

Институт тонкой органической химин им. А. Л. Миджояна АН Армянской ССР, Ереван

Поступило 31 VII 1973

Получены І-фенил-, 1-(4-метоксифенил)-, I-(3,4-диметоксифенил) циклопентан и циклогексанкарбальдегиды, их изоникотипоилгидразоны и тиосемикарбазоны. Табл. 2, библ. ссылок 8.

Сочетанне ароматической и циклоалкильной групп является структурной основой ряда биологически активных соединений [1]. При получении подобных веществ обычно исходят из соответствующих нитрилов (I, II) [2] через кислоты и амины [3,4].

В литературе имеются многостадийные методы получения альдегидов (III, R=H, n=4,5 и IV) со оравнительно низкими выходами через ацилаэиридины [5], оксазины [6], хлорангидриды [7]. Среди других методов получения альдегидов с использованием нитрилов, на наш взгляд, заслуживал внимания метод Стефана, позволяющий непосредственно превращать нитрилы в альдегиды [8].

Попытки получения альдегидов восстановлением по Розенмунду из хлорангидридов соответствующих арилциклоалканкарбоновых кислот, синтезируемых в свою очередь из нитрилов I и II, не увенчались успехом.

$$\begin{array}{c} R' \\ R- \\ \end{array} \begin{array}{c} (CH_2)_n \\ -C-CN \\ \end{array} \begin{array}{c} -CH-CN \\ \end{array} \begin{array}{c} R' \\ -C-CHO \\ \end{array} \begin{array}{c} -CH-CHO \\ \end{array} \begin{array}{c} -CH-$$

R=H, OCH_3 ; R'=H, OCH_3 ; n=4, 5.

Альдегиды III, IV получены с хорошими выходами восстановлением питрилов I и II хлорным оловом в растворе этилацетата и последующим гидролизом альдиминного комплекса. ИК спектры показывали наличие карбонильной группы (поглощение в области 1730 см-1).

Помимо 2,4-динитрофенилгидразонов (табл. 1), синтезированы также изоникотиноилгидразоны (Va, VIa) и тиосемикарбазоны (V6, VI6).

$$R \longrightarrow (CH_2)_n$$

$$V \longrightarrow CH-CH=N-NH-X$$

$$V \longrightarrow VI$$

$$a. X = -C \longrightarrow N$$

$$O \longrightarrow NH_2$$

Изучалось противотуберкулезное действие синтезированиых изоникотиноилгидразонов и тносемикарбазонов на двух лабораторных штаммах (Н₃₇Rv, БЦЖ), одном, выделенном из мокроты больного (Id), и двух атипичных штаммах микробактерий (табл.
2). Исследования проводились на жидкой синтетической среде Сотона и твердой яичной среде Герольда. Все изоникотиноилгидразоны активны, Наиболее активен изоникотиноилгидразон 1-(3,4-диметоксифенил)-1-циклопентанкарбальдегида, содержащий
в ароматическом ядре две метоксигруппы (табл. 2). Удлинение альдегидной цепочки
на одну метиленовую группу несколько уменьшает активность по отношению к атипичным штаммам.

Изменения в правой части молекулы полностью лишают соединения противотуберкулезной активности.

Экспериментальная часть

Чистота веществ проверена ТСХ. ИК спектры сняты на приборе UR-10, т. пл. определены на микронагревательном столике «Боетиус».

1-Фенил-1-циклопентанкарбальдегид. К 34,2 г (0,2 моля) нитрила 1-фенил-1-циклопентанкарбоновой кислоты в 100 мл этилацетата, насыщенного хлористым водородом при 0° в течение 7 час., добавлено 41,6 г (0,22 моля) безводного хлористого олова и пропущен хлористый водород при —10° в течение 24 час. Образующийся комплекс постепенно осаждался. Осадок отфильтровывался, промывался эфиром и гидролизовался нагреванием с 50 мл воды на кипящей водяной бане. Эфирный экстракт промывался 5% раствором едкого натра, водой, высушивался над сернокислым натрием и перегонялся в вакууме. Аналогично получены остальные альдегиды. ТСХ на окиси алюминия II степени активности с подвижной фазой бензол-петролейный эфир (1:3) выявила для всех альдегидов одно лятно. Выходы и константы оинтезированных альдегидов приведены в табл. 1.

2-Фенил-2-циклогексилацетальдегид. Выход 65,3%, т. кип 108— $110^{\circ}/0,5$ м.н. d_4^{20} 1,0114; π_D^{20} 1,5319. М R_D найдено 61,97, вычислено

Таблица 1

3							A	нали	3, %			2,4-Динитрофенилгидразон		
		61	0/0		11/6		С		Н				аналя	13, 9/0
R'	R	RInl		Т. кип., °С/.и.и	$n_{\rm D}^{20}$	d_4^{20}	0 !!	ı.	011	i.	R_f	т. пл.,		1
	1 4 4		Выход	-,		331	пайдено	вычис	найде	вычис лено		ిల	найдено	вычис- лено
-	1								1 -			1		
Н	H	4	65,5*	9092/0,1	1,5352	1,0453	82,50	82,71	8,03	8,09	0,58	163—164	16,00	15,70
Н	CH ₃ O	4	77,3	115-117/0,1	1,5388	1,0733	76,00	76,47	8,08	7,88	0,40	139140	14,60	14,57
Н	Н	5	55,0**	89-90/0,5	1,5398	1,0360	82,37	82,87	8,67	8,58	0,58	200 201	14,90	15,20
Н	CH3O	5	46,8	105-107/0,5	1,5411	1,0875	77,12	77,02	8,11	8,31	0,45	135—136	14,10	14, 15
CH ₃ O	CH ₃ O	4	50,0	145-147/0,8	1,5498	1,1397	71,58	71,75	7,41	7,74	0,60	155—158	13,70	13,50
C113O	C1130	4	,0	149—141/0,0	1,0490	1,1037	71,00	''','	1,41	7,74	0,00	100-100	10,70	

^{*} В литературе [5] выход 55%, т. пл. 2,4-динитрофенилгидразона 164—165%.
** Там же, выход 50%, т. пл. 2,4-динитрофенилгидразона 197—198%.

R	R′	n	х	Выход, "/,	Т. пл., °С
Н	н	4	OCC5H4N	64,0	186—187
Н	CH ₃ O	4	OC-C.H.N	46,8	60 61
Н	H	5	OC-C5H4N	57,8	155-156
Н	CH ₃ O	5	OC-C5H4N	51,5	164-165
CH ₃ O	CH ₃ O	4	OC-C ₅ H ₄ N	57,1	98—100
H	Н	4	CSNH ₃	65,6	126—128
H	CH3O	4	CSNH ₂	44,4	131—133
H	Н	5	CSHH,	53,9	165—166
Н	CH ₃ O	5	CSNH ₂	40,8	масло*
CH ₃ O	CH3O	4	CSNH ₃	66,6	175177

[•] Т. пл. гидрохлорида 127—129°.

$$\sum_{-C-C}^{(CH_2)_n} N-NH-X$$

A I		0/0	Бактерностатичная концентрация In vitro, 7/мл						
найдено	вычис- лено найдено		найдено вычис- лено		Н ₃₇ R _v БЦЖ		Fortultum (lousanai)	Smegma S № 7	
14,05	14,39	_	_	1	1	2	16,5	33	
13,60	12,99	_		1	1	1	125	125	
13,90	13,66	_	_	1	1	2	33	66	
12,52	12,60	_		1	- 1	1	125	250	
11,70	11,88	_	_	0,5	1	0,5	16,5	33	
17.44	16,92	13,57	12,95	100	100	100	1000	1000	
15,40	15,59	11,76	11,56	100	100	100	1000	1000	
16,00	16,08	12,00	12,29	100	100	100	1000	1000	
14,20	14,27	10,50	10,87	250	250	250	125	66	
13,47	14,10	10,28	10,43	100	100	100	1000	1000	
3			F 3		-	1			

61,06. Найдено %: С 83,67; Н 8,02. С₁₄Н₁₈О. Вычислено %: С 83,12; Н 8,97.

2,4-Динипрофенилгидразон, т. пл. 166—167°С. Найдено %: N14,72. С₂₀Н₂₂N₄O₄. Вычислено %: N 14,64.

Изоникотиноилгидразон 1-фенил-1-циклопентанкарбальдегида. Смесь 1,7 г (0,01 моля) 1-фенил-1-циклопентанкарбальдегида в 50 мл абс. спирта и 1,35 г (0,01 моля) гидразида изоникотиновой кислоты в 50 мл абс. спирта кипятилась 6 час. Образующиеся кристаллы были отфильтрованы, перекристаллизованы из абс. спирта. Остальные гидразоны получены аналогично (табл. 2).

Изоникотиноилгидразон 2-фенил-2-циклогексилацетальдегида. Т. пл. 153—154°. Выход 59,4%. Найдено %: N 13,32. $C_{20}H_{23}N_3O$. Вычислено %: N 13.09.

Тиосемикарбазон 1-фенил-1-циклопентанкарбальдегида. Теплые растворы 1,7 г (0,01 моля) 1-фенил-1-циклопентанкарбальдегида в 15 мл этилового спирта и 1,4 г (0,015 моля) солянокислого тиосемикарбазида в 15 мл воды смешивались и кипятились 3 часа. После отгонки растворителя образующийся осадок перекристаллизовывался из абс. метанола. Остальные тиосемикарбазоны получены аналогично (табл. 2).

Тиосемикарбазон 2-фенил-2-циклогексилацетальдегида. Т. пл. 172—174°. Выход 62,0%. Найдено %: N 15,42; S 11,36. $C_{15}H_{21}N_3S$. Вычислено %: N 15,25; S 11, 61.

ԱՐԻԼ ԵՎ ՑԻԿԼՈԱԼԿԻԼ ԽՄԲԵՐ ՊԱՐՈՒՆԱԿՈՂ ԱԼԴԵՀԻԴՆԵՐԻ ՍԻՆԹԵԶ ՀԱՄԱՊԱՏԱՍԽԱՆ ՆԻՏՐԻԼՆԵՐԻՑ

t. u. vupaupsut, u. u. 2uxpebusut L u. a. qupuasnasut

Ստեֆանի ռեակցիայով սինթեզված են 1-ֆենիլ, 1-(պ-մեթօքսիֆենիլ)1-(3,4-դիմեթօքսիֆենիլ)ցիկլոպենտան և ցիկլոհեքսան կարբալդեհիդներ,
ինչպես նաև 2-ֆենիլ-2-ցիկլոհեքսիլացետալդեհիդ համապատասխան նիտրիլներից։ Ստացված են նաև նրանց իզոնիկոտինոիլ հիդրազիդոհիդրազոնները և Թիոսեմիկարբազոնները։

SYNTHESIS OF ALDEHYDES CONTAINING ARYL, CYCLOALKYL FRAGMENTS FROM THE CORRESPONDING MITRILES

E. A. MARKARIAN, A. S. HAJIBEKIAN and S. G. GhARAGEZIAN

1-Phenyl-, 1-(4-methoxyphenyl)-, 1-(3,4-dimethoxyphenyl)cyclopentane and cyclohexane carboaldehydes, as well as 2-phenyl-2-cyclohexyl acetaldehyde have been synthesised from the corresponding nitriles according to Stephen's reaction and their isonicotinoyl hydrazidohydrazones and thiosemicarbazones have been obtained.

ЛИТЕРАТУРА

1. М. Д. Машковский, Лекарственные средства, Изд. «Медицина», М., 1967, т. 1. стр 214.

2. J. W. Will, B. H. Philip, J. Org. Chem., 24, 619 (1959).

3. А. Л. Миджоян, Э. А. Маркарян, Ж. С. Арустамян, ХГС, 1971, 637.

4. Э. А. Маркарян, Ж. С. Арустамян, ХГС, 1973, 679.

- J. Crouzet, L. Giral, Bull. Soc. Chim. Fr., 12, 4842 (1968); J. W. Wilt, J. M. Kosturik, J. Org. Chem., 30, 1052 (1965).
- 6. F. C. Michael, M. Q. Ray. Org. Prep. Proced., 1 (3), 193 (1969); [C. A., 71, 70550u (1969)].
- 7. Е. Д. Венус-Данилова, А. Н. Большухин, ЖОХ, 7, 2827 (19.7).
- 8. T. Stephen, H. Stephen, J. Chem. Soc., 1959, 4695.

XXVII, № 10, 1974

УДК 547.781.1

производные имидазола

у, некоторые синтезы на базе 4(5)-арилимидазолов

м. а. ирадян, а. г. торосян и А. а. ароян

Институт тонкой органической химии им. А. Л. Миджояна АН Армянской ССР, Ереван

Поступило 22 II 1974

Исследована реакция калиевых солей 4(5)-арилимидазолов с дихлорэтаном, этиленхлоргидрином, эфиром и амидом монохлоруксусной кислоты. Разработаны оптимальные условия получения соответствующих N-замещенных имидазолов.

Табл. 3, библ. ссылок 4.

Физиологическая активность производных имидазола в значительной степени предопределяется природой заместителей. В зависимости от последних имидазолы могут проявлять антибактериальное, противотрихомонадное, противовоспалительное, функцииное действия [1, 2, 3].

В [4] нами получены N-аминоалкильные производные арилимидазолов и показано, что взаимодействие калиевых солей 4(5)-(4'-алкоксифенил)имидазолов с галогенпроизводными приводит к 1,4-замещенным изомерам.

В продолжение исследований в этой области синтезированы 4-арилимидазолы с различными функциональными заместителями. Соединения II—V получены взаимодействием солей I с дихлорэтаном, этиленхлоргидрином и производными монохлоруксусной кислоты в диметилформамиде.

 $R=H, \ 4-CH_3OC_eH_4\cdots 4-u3o-C_4H_0OC_eH_4,$ $X=COOC_2H_5 \ (II), \ CH_2OH \ (III), \ CONH_2 \ (IV), \ CH_2CI \ (V).$

Обработкой гидрохлоридов II водным аммиаком получены амиды IV, идентичные амидам, синтезированным взаимодействием солей I с хлорацетамидом.

В реакции дихлорэтана с I после обработки разбавленной соляной кислотой, кроме V, выделен плохо растворимый в воде гидрохлорид,

которому на основании данных масс-спектра (M^+ —374, R=4-CH₃OC₆H₄) можно приписать строение VII.

Димеры VII получены с 4—6% выходами и обработкой раствором карбоната натрия переведены в основания.

Структура имидазолов II—VI доказана также данными ИК и массспектрометрии*.

Экспериментальная часть

Этиловые эфиры 4-(4'-алкоксифенил)-1-имидазолилуксусных кислот (11). Смесь 0,05 моля 1 [4], 7,3 г (0,06 моля) этилового эфира хлоруксусной кислоты и 50 мл диметилформамида кипятилась 8—10 час. Осадок хлористого калия отфильтровывался, растворитель отгонялся водоструйным насосом. Остаток подкислялся 10% соляной кислотой и экстрагировался эфиром Водный слой нейтрализовался карбонатом натрия и оставлялся на ночь в холодильнике. Выпавший осадок отфильтровывался и перекристаллизовывался из смеси этанола и воды (1:4) (табл. 1).

ИК спектр II (R=4-C₂H₅OC₆H₄), $c M^{-1}$: $\nu_{C=0}$ 1760; $\nu_{C=C}$ 3060, 1625, 1580; ν_{COC} 1030. Масс-спектр II (R=4-CH₃OC₆H₄): M^+ -260; m/e 245, 232, 189, 187, 167, 149, 133.

Гидразиды 4-(4'-алкоксифенил)-1-имидазолилуксусных кислот (VI). Смесь 0,02 моля II, 5 г (0,1 моля) глдрата гидразина и 40 мл метанола кипятилась 12—14 час. После охлаждения выпавший осадок отфильтровывался и промывался на фильтре водой (табл. 2).

ИК спектр VI (R=4-C₂H₅OC₆H₄), см⁻¹: ν_{NHNH_3} 3320, 3270, 3110; $\nu_{C=0}$ 1660; $\nu_{C=C}$ 1620, 1560; ν_{COC} 1020. Macc-спектр VI (R=4-C₃H₇OC₆H₄): M^+ -274; m/e 232, 231, 215, 202, 201, 188, 174, 173, 160, 146, 133, 105.

Амиды 4-(4'-алкоксифенил)-1-имидазолилуксусных кислот (IV). Смесь 0,02 моля I, 2 г (0,022 моля) хлорацетамида и 40 мл диметилформамида кипятилась 8—10 час. Осадок отфильтровывался, растворитель отгонялся водоструйным насосом. Затем добавлялась вода, выпавший осадок отфильтровывался и промывался на фильтре метанолом. Продукт перекристаллизовывался из смеси диметилформамида и воды (1:1) (табл. 2).

^{*} Авторы выражают благодарность Р. С. Авоян и Р. Г. Мирзояну за сиятие ИК в масс-спектров.

		%				A n	ал	н э,	º/o			Т. пл.	
R	X		Т. пл.,		вычнслено				гидро-	R_I^*			
		Выход,	°C	С	н	N	СІ	С	н	N	СІ	хлорида,	
4-CH ₃ OC ₄ H ₄	сн,он	42,3	79-80	65,63	6,18	13,13	-	66,04	6,46	12,84		230231	0,64
4-C ₂ H ₅ OC ₆ H ₄	CH ₂ OH	44,8	119120	68,02	7,21	12,23		67,72	6,94	12,06		196—197	0,67
4-C ₃ H ₇ OC ₄ H ₄	CH₂OH	50,0	102—103	68,00	7,30	11,52		68,27	7,36	11,37		192—193	0,70
4-C ₄ H ₉ OC ₆ H ₄	СН,ОН	48,8	121—122	69,30	7,44	10,56		69,20	7,74	10,76		171—172	0,72
C _e H ₅	CH ₂ CI	48,0	_	63,64	5,66	13,34	17,12	63,92	5,36	13,55	17,15	141-142	0,87
4-CH ₃ OC ₄ H ₅	CH,CI	50,4	127—128	61,12	5,57	12,03	15,17	60,89	5,53	11,83	14,97	185—186	0,83
4-C ₂ H ₅ OC ₆ H ₅	CH ₂ CI	47,3	114-115	61,97	6,13	11,08	13,80	62,27	6,03	11,17	14,14	173-174	0,86
4-C ₃ H ₇ OC ₆ H ₅	CH ₂ CI	46,5	101-102	63,22	6,16	10,31	13,12	63,51	6,47	10.58	13,39	_	0,88
4-C4H9OC4H5	CH₂C1	52,7	104—105	60,88	6,21	9,41	11,80	61,11	6,49	9,50	12,02	_	0,87
C _e H _s	COOC,H,	50,0	7980	67,50	5,90	12,42		67,81	6,13	12,16		194—195	0,77
4-CH ₃ OC ₄ H ₅	COOC ₂ H ₅	52,3	112-113	64,90	6,22	10,60		64,60	6,19	10,76		188-189	0,70
4-C ₂ H ₅ OC ₆ H ₅	COOC,H,	48,5	123—124	65,29	6,65	9,95		65,67	6.61	10,21		171-172	0,72
4-C ₃ H ₂ OC ₆ H ₆	COOC,H,	49,7	110111	66,90	6,75	9.66		66,65	6,99	9,71		173—174	0,73
4-C ₄ H ₉ OC ₆ H ₅	COOC,H5	50,5	108—109	67,23	7,10	9,50		67,53	7,33	9,22		151—153	0.75
4-u30-C4H9OC6H5	COOC ₃ H ₅	54,8	111—112	67,30	7.28	9,26		67,53	7,33	9,22	-	149151	0,77

^{*} ТСХ на окиси алюминия II степени активности в системе абс. эфир—абс. метанол, 17:1 (X=CH₂OH, CH₂CI); на силуфоле в системе абс. этанол —этилацетат, 5:1 (X=COOC₂H₅).



		0/0			A		
R	x	_ [Т. пл.,	найде			
	A	Выход.	°C	С	Н		
C ₄ H ₅	CONH ₂	68,4	247218	65,80	5,30		
4-CH ₃ OC ₄ H ₄	CONH,	54,6	265 - 266	62,40	5,61		
4-C ₃ H ₅ OC ₆ H ₄	CONH,	66,6	259 — 260	63,35	6,26		
4-C ₃ H ₇ OC ₆ H ₄	CONH,	60,6	267—268	65,13	6,90		
4-C4H,OC6H4	CONH ₂	55,8	269-270	65,67	7,31		
4-1130-C4H.OC.H4	CONH ₂	58,5	265-266	65,87	6,91		
C ₆ H ₅	CONHNH,	82,6	170—171	60,90	5,64		
4-CH ₃ OC ₆ H ₄	CONHNH ₂	79,6	199—200	58,62	6,01		
4-C ₂ H ₅ OC ₆ H ₄	CONHNH ₂	83,5	233-234	59,70	6,50		
4-C ₃ H ₇ OC ₆ H ₄	CONHNH ₂	96,6	230—231	61,50	6,20		
4-C ₄ H ₄ OC ₄ H ₄	CONHNH ₂	93,9	228 229	62,18	6,88		
4- <i>u30</i> -C ₄ H ₉ OC ₆ H ₄	CONHNH ₃	78,8	227—228	62,80	6,99		

^{*} C разложением. ** ТСХ на силуфоле в системе абс. метанол —этилацетат, 1:1.

		0/0		Т. пл.	Contract of the Contract of th
10	B P1 d	нсл	e H 0	гидро-	R,**
N	С	Н	N	хлорида, °С	t
21,16	65,65	5,50	20,88	174-175*	_
17,89	62,32	5,66	18,17	185—186*	0,36
17,21	63,65	6.16	17,13	191-192*	0,40
16,33	64,84	6,60	16,20	168 169*	0,42
15,14	65,91	7,00	15,37	130 131*	0,48
15,13	65,91	7,00	15,37	180-181*	0,47
25,64	61,09	5,59	25,91	216—217	
22,70	58,82	5,73	22,75	190-191	
21,17	59,98	6,19	21,52	199200	
20,20	61,29	6,61	20,42	221—222	-
19,23	62,48	6,99	19,43	240*	
19,71	62,48	6,99	19,43	232*	

ИК спектр IV (R=4-C₂H₅OC₆H₄), см⁻¹: ν_{NH_4} 3380, 3210: $\nu_{C=0}$ 1670; $\nu_{C=C}$ 1590, 1570. Масс-спектр IV (R=4-CH₃OC₆H₄): M⁺-231: m/e 216,

188, 187, 160, 159, 133, 132, 119, 107.

1-β-Оксиэтил-4-(4'-алкоксифенил) имидазолы (III). Смесь 0,05 моля I, 4,8 г (0,06 моля) этиленхлоргидрина и 50 мл диметилформамида кипятилась 10—12 час. Осадок отфильтровывался, растворитель отгонялся водоструйным насосом. Остаток подкислялся 10% соляной кислотой и экстрагировался эфиром. Водный слой нейтрализовался карбонатом натрия и оставлялся на почь в холодильнике. Выпавший осадок отфильтровывался и перекристаллизовывался из смеси бензола и нетролейного эфира (4:1) (табл. 1).

ИК спектр III ($R=4-C_2H_3OC_6H_4$), см⁻¹: ν_{OH} 3150—3300; $\nu_{C=C}$ 1620, 1590; ν_{COC} 1030. Масс-спектр III ($R=4-C_3H_2OC_6H_4$): M^+-246 ; m/e 204, 203, 202, 160, 159, 146, 133, 131, 120, 105, 78.

1-β-Хлорэтил-4-(4'-алкоксифенил) имидазолы (V) и дигидрохлориды VII. Смесь 0,05 моля 1, 19,8 г (0,2 моля) дихлорэтана и 50 мл диметилформамида кипятилась 8—10 час. Осадок отфильтровывался, растворитель отгонялся водоструйным насосом. Остаток подкислялся 10% соляной кислотой, вышавший осадок дигидрохлорида VII отфильтровывался (табл. 3). Водный слой экстрагировался эфиром, затем нейтрализовался водным аммиаком. Выпавшие кристаллы V отсасывались и перекристаллизовывались из смеси бензола и петролейного эфира (табл. 1).

Масс-спектр* V (R=4-CH₃OC_eH₄): M^+ -236 (238); m/e 221 (223), 200, 193 (195), 185, 174, 160, 159, 133.

Таблица 3

100	1		Т. пл.					
R	Т. пл.,	на	йде	но	выч	гидро-		
R	°C	С	н	N	С	н	N	хлорида, °С
C ₆ H ₅	188—189	76,20	5,63	17,56	76,40	5,77	17,83	250—251
4-CH3OC,H4	228-229	70,44	5,75	14,81	70,56	5,92	14,96	256-258
4-C2H5OC6H4	194—195	71,48	6,33	13,87	71,61	6,51	13,92	260-261
4-C3H7OC6H4	180-181	72,33	6,89	12,96	72,53	7,02	13,01	263-264
4-C4H,OC6H4	177—178	73,10	7,22	12,11	73,33	7,47	12,21	274—275

[•] Масс-спектроскопическое исследование синтезированных имидазолов будет опубликовано отдельно.

ԻՄԻԳԱԶՈԼԻ ԱԾԱՆՑՅԱԼՆԵՐ

V. ՄԻ ՔԱՆԻ ՍԻՆԹԵԶՆԵՐ 4(5)-ԱՐԻԼԻՄԻԴԱԶՈԼՆԵՐԻ ԲԱԶԱՑԻ ՎՐԱ

Մ. พ. เคนารน**ง, น. ว. คกคกบรน**ง น **ี่ 2. น. Հนคกรน**ง

Ուսումնասիրված է 4(5)-արիլիմիդասուների կալիումական աղերի ռեակցիան դիքլորէնանի, էնիլենքլորհիդրինի և մոնոքլորքացախաննվի էսների և ամիդի հետ։ Մշակված են Ջ-տեղակալված իմիդազոլների ստացման օսյտիմալ պայմաններ։

IMIDAZOLE DERIVATIVES

V. SYNTHESES ON THE BASIS OF 4(5)-ARYLIMIDAZOLES

M. A. IRADIAN, A. G. TOROSSIAN and H. A. HAROYAN

The reactions of the potassium salts of 4(5)-arylimidazoles with ethylene chloride, ethylene chlorhydrin, and monochloroacetic acid esters and amides have been investigated.

Optimum conditions for the synthesis of N-substituted imidazoles have been elaborated.

ЛИТЕРАТУРА

- 1. G. P. Ellis, &C. Epstein C. Fitzmaurice, L. Golberg, G. H. Lord, J. Pharm. Pharmacol., 16, 801 (1964).
- 2. Г. Н. Першин, П. М. Кочергин, А. М. Цыгинова, Н. А. Новицкая, Л. С. Блинова, В. С. Шлихунова, Мед. пром. СССР, 10, 12 (1964).
- 3. Пат. США, 3, 714, 179 (1973); [С. А., 78, 111325q ((1973)].
- 4. М. А. Иридян, А. Г. Торосян, А. А. Ароян, Арм. хим. ж., 27, 337 (1974).

УДК 542.91+547.466+547.964.4

БИОЛОГИЧЕСКИ АКТИВНЫЕ ПОЛИМЕРЫ

VIII. СИНТЕЗ САРКОЛИЗИНСОДЕРЖАЩИХ ПОЛИ- И СОПОЛИПЕПТИДОВ

Ц. Е. АГАДЖАНЯН и К. Л. АМБОЯН

Институт тонкой органической химин им. А. Л. Миджояна АН Армянской ССР, Ереван

Поступнло 31 VII 1973

Синтезирован ряд поли- и сополипептидов, связанных карбоксильным концом амидной связью с этиловым эфиром дипептида С-концевого сарколизина с различными аминокислотами.

Табл. 4. библ. ссылок 2.

В синтеэированных нами рашее [1,2] поли- и сополипептидах, связанных карбоксильным жонцом с остатком этилового эфира сарколизина, противоопухолевая активность менялась в зависимости от природы аминокислот, входящих в их состав.

Интересно было установить, обязаны ли сарколизинсодержащие полипептиды своей цитостатической активностью выделяющемуся при их расщеплении сарколизину или же они действуют независимо. Для этого к карбоксильному концу одного и того же полипептида были присоединены различные дипептиды с С-концевым сарколизином. Если противоопухолевая активность сарколизинсодержащих полипептидов зависит от скорости выделения сарколизина, то природа полипептида в синтезироважных нами соединениях не будет иметь принципиального значения. В обратном случае, независимо от природы, пепосредственно связанной с сарколизином аминокислоты, все производные одного и того же полипептида должны иметь сравнимую активность. Были синтезированы этиловые эфиры глицил-, DL-аланил-, DL-валил- и DL-норлейцилсарколизина и использованы в качестве инициаторов полимеризации N-карбоксиангилондов α-аминокислот. Соответствующие N-защищенные дипелтиды получены взаимодействием карбобензоксиаминокислот с этиловым эфиром сарколизина методом смешанных анпидридов (изобутилхлоркарбонат). Удалением карбобензоксигрупп и действием насыщенного раствора бромистого водорода в ледяной уксусной кислоте получены гидробромиды этиловых эфиров дипептидов, переведенные в свободные основания с ломощью триэтиламина. Полимеризация N-карбоксианпидридов аминокислот в присутствии свежеприготовленных оснований этиловых эфиров дипелтидов проводилась в сухом диоксане в термостате при при 30° в течение нескольких дней.

$$\begin{array}{c} n \\ RCH-CO \\ HNO \\ CO \end{array} + H_{2}NCHR'CONHCHCH_{2} N(CH_{2}CH_{2}CI)_{2} \longrightarrow \\ COOC_{2}H_{5} \\ N(CH_{2}CH_{2}CI)_{2} + \pi CO_{2} \\ \\ COOC_{2}H_{5} \end{array}$$

Получены следующие сарколизинсодержащие полипептиды:

(DL-Aла)_п-Гли-Сарк-ОС₂Н₅; (DL-Ала)_п—DL-Вал-Сарк-ОС₂Н₅;

(DL-Aла)_п—DL-Нлей-Сарк-ОС₂Н₅; (DL-Вал)_п—DL-Ала-Сарк-ОС₂Н₅;

(DL-Вал)_п—DL-Нлей-Сарк-ОС₂Н₅; (Гли)_п—DL-Ала-Сарк-ОС₂Н₅;

(DL-Нлей)--Гли-Сарк-ОС₂Н₅.

С другой стороны, при сополимеризации смеси двух N-карбоконангидрядов аминокислот в присутствии этилового эфира сарколизина получаются перегулярные сополипептиды, содержащие на карбоксильном конце остаток сарколизина, связанного в одних молекулах сополипептида непосредственно с одной из аминокислот, а в других—со второй. Интересно было установить активность сарколизинсодержащих сополипептидов в зависимости от характера аминокислоты, непосредственно связанной с сарколизином. С этой целью были синтезированы также два ряда сарколизинсодержащих сополипептидов—сополипептид, связанный с сарколизином с помощью одной из входящих в его состав аминокислот, и сополипептид того же состава, связанный с сарколизином через вторую аминокислоту. Были получены сарколизинсодержащие дипептиды с каждой из аминокислот, входящих в состав сополипептида, и их сополипептиды.

$$\begin{array}{c|c}
n & R'CH-CO \\
HN & O \\
CO & HN & O
\end{array} + (n-1) & R'CH-CO \\
HN & O \\
+ NH2CHR'CONHCHCH2 N(CH2CH2CI)3$$

+ n'CO₂
[(DL-Ала)_{n-1} (DL-Вал)_n]—DL-Ала-Сарк-ОС₂Н₅;
[(DL-Ала)_n(DL-Вал)_{n-1}]—DL-Вал-Сарк-ОС₂Н₅;
[(Гли)_n(DL-Нлей)_{n-1}]—DL-Нлей-Сарк-ОС₂Н₅;
[(Гли)_{n-1} (DL-Нлей)_n]-Гли-Сарк-ОС₂Н₅.

Сополимеризация проводилась аналогично полимеризации.

Экспериментальная часть

Этиловые эфиры дипептидов сарколизина. а) Карбобензоксипроизводные дипептидов. К охлажденному до 0° раствору 0,005 моля карбобензоконаминокислоты и 0,005 моля триэтиламина в 20 мл сухого ТГФ при перемешивании прибавлялся раствор эквимольного количества изобутилхлоркарбоната в 5 мл сухого ТГФ. После 20 мин. перемешивания при 0° к смеси в течение 20 мин. прибавлялся раствор 0,005 моля свежеприготовленного этилового эфира сарколизина в 20 мл сухого хлороформа. Смесь перемешивалась при компатной температуре 2 часа. На следующий день выпавший осадок фильтровался и растворитель удалялся в вакууме (<40°), оставшееся масло растворялось в 80 мл этилацетата, этилацетатный раствор промывался последовательно водой, 0,1 м НСІ, водой, раствором соды, водой, сушился над сульфатом натрия и упаривался в вакууме при 30—40°. Выходы, элементные анализы и физикохимические константы приведены в табл. 1.

C _e H _e CH,	Tab.nuqa 1 OCONHICHRCONHCHCH, N(CH2CH2CI)2
100	COOC ₂ H ₅
	Анализ, %

a - I TWY	%			A	н а л	н з,	0/0	
R		Т. ил.,	R _t	найд	ено	вычислено		
R	Выход.	°C	,	CI	N	CI	N	
H	87	масло	0,60	13,74	8.58	13,55	8,01	
CH ₃	75		0,57	13,13	8,32	13,19	7,81	
изо-СаН,	75	135—137	0,55	12,71	7.81	12,54	7,40	
H-C4H,	76	масло	0,57	11,76	7,08	12,24	7,24	

- * Al₂O₃, абс. бензол-абс. этанол (15:1).
- б) Удаление карбобензоксигрупп. Смесь карбобензоксипроизводного этилового эфира дипентида и насыщенного раствора бромистого водорода в ледяной уксусной кислоте (10 мл раствора на 1 г пентида) оставлялась при комнатной температуре 30 мин. Затем прибавлялось трехкратное (по объему) количество абс. эфира. Выпавшее вещество несколько раз протиралось абс. эфиром, фильтровалось, очищалось осаждением из абс. этанола эфиром и сушилось в вакууме над КОН. Выходы, элементные анализы и физико-химические константы гидробромидов дипентидов приведены в табл. 2.
- в) Основания дипептидов. Смесь 0,01 моля гидробромида дипептида в 30 мл абс. хлороформа и 0,02 моля триэтиламина взбалтывалась 20 мин. Далее прибавлялось 100 мл абс. эфира, смесь охлаждалась льдом и фильтровалась. После удаления растворителя в вакууме к остатку добавлялось 10 мл абс. хлороформа. Полученные после повтор-

ного упаривания маслообразные основания дипептидов растворялись в сухом диоксане. В ИК спектрах оснований дипептидов, аналогично ИК спектрам соответствующих гидробромидов дипептидов, имеются полосы поглощения, характерные для амидной СО (1680—1690) и сложноэфирной СО групп (1740), а также С=С аром. (1600 см⁻¹). R_f оснований дипептилов совпадают с R_f соответствующих гидробромидов.

Таблица 2 Hanchronheich, N(CH2CH2CI)2-2HBr COOC,II, н % Н a Л 3, найдено вычислено BMXOJ, Т. пл., R R, Br⁻ N Br-N H 71 123-125 0,37 29,36 6,70 28,98 7,61 CH₃ 81 121-123 0,36 28,62 8,16 28,27 8,00 1130-Calla 80 142-144 0,35 27,31 7,05 26,93 7,07 H-C4H. 92 132 - 1340,35 25,91 6,66 26,31 6,90

Полимеризиция N-карбоксиангидридов аминокислот в присутствии этиловых эфиров дипептидов сарколизина. К раствору N-карбоксиангидрида аминокислоты в сухом диоксане прибавлялся раствор свежеприготовленного основания этилового эфира дипептида сарколизина в сухом диоксапе. Конечная концентрация раствора 3%, считая на сумму Nкарбокспаппидрида и эфира дипептида, взятых в мольном соотношении 9:1. Смесь оставлялась в термостате при 30° на несколько дней. К образовавшемуся гелю прибавлялся равный объем петролейного эфира. фильтровался, промывался После тщательного протирания осадок диоксаном и петролейным эфиром и сущился. При хроматографировании на закрепленном слое силикагель-гипс в системе и-пропанол-вода (7:3) пайдены лишь следы дипелтида. В ИК спектрах производных политептидов найдены широкие полосы поглощения (1510-1570, 1620-1690 и 3300 см-1), характерные для фенильной и амидных NH и CO групп по-1740 $cм^{-1}$. Выход, элементный липентидов Имеется также ACO Alp апализ и физико-химические константы приведены в табл. 3.

Сополимеризация смеси N-карбоксиангидридов аминокислот в присутствии этилового эфира дипептидов сирколизина. При сополимеризации соотношение мольных количеств N-карбоксиангидридов, дипептида и N-карбоксиангидрида аминокислоты, входящей в состав дипептида 5:1:4. Конечная концентрация раствора 3%, считая на сумму двух Nкарбоксиангидридов и эфира дилептида. Выходы, элементные анализы и физико-химические константы приведены в табл. 4.

[•] См. примечание в табл. 1.

Таблица 3

		0 -			E		5	40		Анализ,	. %
R	R'	R' HWW	лжи- ость п изацин	Т. разл., °С	DPHNO BH HR TA		ний мол	IIAR CTE- HOTHNE	найдено		вычис- лено
	71	Продолжи тельность лимеризац сутки	Выход,		Раствори в воде	Реакция биурета	Средний	Средияя пень по ризации	Cı	N	N
CH ₃	Н	3	96	>140	+	+	1010	8,8	7,00	15,46	16.23
	30-C ₃ H,	4	82	110-115*		+	1100	9,3	6,47	16,26	15,69
CH ₃	н-C ₄ H,	3	95	110-115*	+	+	1040	8,4	6,78	15,85	15,40
изо-C ₃ H ₁	CH ₃	3	87	> 180	_	_	1410	10,1	5,03	13,76	12,99
изо-С ₃ Н ₇	H-C4H,	4	70	>200	_	+	1230	8,0	5,77	12,57	12,52
н	CH ₃	2	90	>150	_	+	940	9,4	7,54	18,10	18,44
н-С ₄ Н ₉	н	3	89	>180	-	+	1450	9,4	4,88	12,11	11,93

Примечание к таблицам: По процентному содержанию найденного хлора рассчитаны средний молекулярный вес и средняя степень полимеризации, а по последним — вычисленное процентное содержание N.

* Плавятся с разложением, для остальных указано начало изменения окраски.

Ταδλυμα 4
H[(NHCHRCO)_{n-1}(NHCHR'CO)_n]NHCHRCONHCHCH₂(CH₂CH₂CI)₃
COOC₃H₄

	31 - 1	KII- Tb	%		1.			A	нали	3, %
	D/	AOAMI HOCTI IMEDII H, CYT	2	Т. разл.,	op a	LIIA eTa	ний	Hai	йдено	вычислено
R	R'	Продол темьнос полиме зации, с		,C	Раств мость воде	Реакція биурета Средний мол. вес		CI	N	N
СН	изо-С ₃ Н ₁	4	79	>170	_	+	1150	6,16	12,72	14,09
изо- C ₃ H ₂	CH ₃	4	90	>230	_	+	1230	5,77	14,81	14,11
н	H-C4H	3	90	>220	_	_	1220	5,84	13,75	14,27
н-С ₄ Н	Н	3	85	>180	_	+	1130	6,30	13,82	13,91

^{*} См. примечание в табл. 3.

ԿԵՆՍԱՔԱՆՈՐԵՆ ԱԿՏԻՎ ՊՈԼԻՄԵՐՆԵՐ

VIII. ՍԱՐԿՈԼԻԶԻՆ ՊԱՐՈՒՆԱԿՈՂ ՊՈԼԻ- ԵՎ ՀԱՄԱՏԵՂ ՊՈԼԻՊԵՊՏԻԴՆԵՐԻ ՍԻՆԹԵԶ

8. b. ULUQUUSUU L 4. L. ZUUPNSUU

Սարկոլիզինի էթիլէսթեր պարունակող դիպեպտիդների ներկայությամբ ամինաթթուների N-կարբօջսիանհիդրիդների պոլիմերացմամբ և համատեղ պոլիմերացմամբ սինթեզված են սարկոլիզինի էթիլէսթեր պարունակող մի շարջ պոլիպեպտիդներ։

BIOLOGICALLY ACTIVE POLYMERS

VIII. SYNTHESIS OF POLY- AND COPOLYPEPTIDES CONTAINING SARCOLYSINE

Ts. Ye. AGHAJANIAN and K. L. HAMBOYAN

By polymerization and copolymerization of N-carboxyanhydrides of aminoacids in the presence of dipeptides of sarcolysine the corresponding polypeptides and copolypeptides have been obtained.

ЛИТЕРАТУРА

^{1.} *Ц. Е. Агиожинян, К. Л. Амбоян, Б. Т. Гарибджанян, А. А. Чичоян, Арм. хим. ж.,* 25, 955 (1972). 2. *Ц. Е. Агаджанян, К. Л. Амбоян,* Арм. хим. ж. (в печвти).

УДК 542.91+547.466+547.964.4

БИОЛОГИЧЕСКИ АКТИВНЫЕ ПОЛИМЕРЫ

IX. СИНТЕЗ САРКОЛИЗИНСОДЕРЖАЩИХ ПОЛИПЕПТИДОВ L-ЛИЗИНА И L-АСПАРАГИНОВОЙ КИСЛОТЫ

Ц. Е. АГАДЖАНЯН и К. Л. АМБОЯН

Институт тонкой органической химин им. А. Л. Миджояна АН Армянской ССР, Ереван

Поступило 31 VII 1973

Полимеризацией N-харбоксиангидридов в-карбобензокси-L-лизина или р-бензилового эфира L-аспарагиновой кислоты или сополимеризацией их с N-карбоксиангидридами с-аминокислот в присутствии этилового эфира сарколизина с дальчейшим удалением боковых защитных групп синтезированы полипептиды L-лизина и L-аспарагиновой кислоты, а также их сополипептиды.

Табл. 2, библ ссылок 5.

В продолжение наших предыдущих исследований [1,2] было интересно синтезировать и испытать противоопухолевую активность сарколизинсодержащих поли- и сополипептидов трифункциональных аминокислот, содержащих боковые карбоксильные или аминные группы.

В настоящем сообщении приводится синтез полипептидов L-лизина и L-аспарагиновой кислоты.

Синтез сарколизинсодержащих полипептидов L-лизина осуществлялся полимеризацией N-карбоксиангидрида є-карбобензокси-L-лизина или сополимеризацией эквимольной его смеси с N-карбоксиангидридами саминокислот в присутствии этилового эфира сарколизина (а). Полипептиды L-аспарагиновой кислоты получались по [3]—полимеризацией N-карбоксиангидрида р-бензилового эфира L-аспарагиновой кислоты или сополимеризацией эквимольной его смеси с N-карбоксиангидридами саминокислот (б). Боковые є-карбобензоксильные и р-бензильные группы удалялись действием насыщенного раствора бромистого водорода, соответственно, в ледяной уксуоной кислоте или абсолютном диоксане.

a) $R = (CH_2)_4NHCOOCH_2C_6H_5$, R' = H, CH_3 , $uso-C_3H_7$, $n-C_4H_9$, $CH_2C_6H_5$, $k'' = (CH_2)_4NH_2 \cdot HBr$;

6) $R=CH_2COOCH_2C_6H_5$, $R'=CH_3$, $n-C_4H_9$, $R''=CH_2COOH$.

Конечные полипентиды очищались переосаждением ацетоном из водного раствора (полипентиды лизина) или эфиром из раствора в смеси лиметилформамида и диоксана (полипентиды аспарагиновой кислоты).

Средний молекулярный вес полимеров, содержащих боковые є-карбобензокси- или β-бензильные группы, определялся по содержанию вних хлора. Все полипептиды после удаления боковых защитных групп дают реакцию биурета.

В ИК спектрах полипентидов лизина после удаления ε -карбобензоксигрупп отсутствует полоса поглощения уретанной группы (1700 cm^{-1}). В ИК спектрах полипентидов аспарагиновой кислоты после удаления β -бензильных групп интенеивности полос поглощения в областях 1630 (C=C аром.) и 1745 cm^{-1} (CO сл. эф.) сильно уменьшаются и появляются поглощения в областях 1725 и 3200—3400 cm^{-1} .

Экспериментальная часть

Сарколизинсодержащие полипептиды L-лизина. а) в-Карбобензокси-производные сарколизинсодержащих полипептидов L-лизина. К раствору N-карбоксиангидрида в-карбобензокси-L-лизина [4] или его эквимольной смеси с N-карбоксиангидридами глицина, DL-аланина, DL-валина, DL-норлейцина или L-фенилаланина в абс. диоксане прибавлялся диоксановый раствор основания этилового эфира сарколизина. Конечная концентрация раствора 3%. Смесь оставлялась в термостате при 30° на несколько дней. Образовавшийся гель растирался в равном объеме петролейного эфира, осадок фильтровался, промывался диоксаном и петролейным эфиром.

Время полимеризации, соотношение мольных количеств N-карбоксиангидридов аминокислот и этилового эфира сарколизина ([A]/[J]), выход, элементный анализ и физико-химические константы приведены в табл. 1.

б) Удаление е-карбобензоксигрупп. Смесь е-карбобензоксипроизводного полипептида и насыщенного раствора бромистого водорода в ледяной уксусной кислоте (10 м.1 на 1 г вещества) оставлялась при комнатной температуре 30 мин. К полученному раствору прибавлялось двукратное (по объему) количество абс. эфира. После декантирования остаток,
несколько раз растирался в абс. эфире, фильтровался и промывался абс.
эфиром, затем растворялся в воде и осаждался из 10% водного раствора,
десятикратным по объему ацетоном. Выпавший осадок растирался в
ацетоне, фильтровался и сушился в вакууме над КОН (табл. 2).

Армянский химический журнал, XXVII, 10-6

Таблица / Полипептиды с защищенными боковыми группами, содержащие остаток этилового эфира сарколизина

	Усло	овия по-				<u></u>	Анализ, %		
	лимеризации		0/0			CI	1	1	
Название полипентида	Время, сутки	[A]/JJ]	BMXOA, 0	Т. разл	Срединії мол. вес	найдено	найдено	вычис-	
Поли(в-карбобензокси-L-лизил)-	7	5:1	81	180—185	1490	4,78	10,45	10,18	
Полн(в-карбобензокси-L-лизил, глицил)-	3	5:5:1	88	> 160	2100	3,39	12,00	12,39	
Полн(«-карбобензокси-L-лизил, DL-алашил)-	3	5:5:1	85	> 180	2100	3,39	11,47	11,96	
Поли(«-карбобензокси-L-лизил, DL-норлейцил)-	3	5:5:1	87	>180	1950	3,65	10,95	10,73	
Полн(«-карбобензокси-L-лизил, DL-валил)-	3	5:5:1	86	>210	1760	4,04	11,42	11,15	
Поли(«-карбобензокси-L-лизил- DL-фенилаланил)-	3	5:5:1	70	>200	1780	4,00	10.48	10,01	
Полн(3-бензил-L-аспартил)-	8	10:1	86	165—170		2,99	6,96	7,08	
Поли(β-бензил-L-аспартил, DL-аланил)-	4	5:5:1	90	150—155	1700	4,18	10,09	9,88	
Поли(3-бензил-L-аспартил, DL-норлейцил)-	4	5:5:1	93	160 – 165	1930	3,68	9,20	8,71	

Таблица 2
Гидробромиды полипептилов, содержащие остаток этилового эфира сарколизина

Название полипептида	Выход, ⁰ / ₀	Т. разл., °C	[η]*	Br-, •/•
Поли(L-лизил)-	85	160—170	0,05	33,40
Поли(L-лизил, глицил)-	95	150—155	0,10	28,01
Полн(L-лизил, DL-аланил)-	92	180—185	0,10	26,08
Поли(L-лизил, DL-валил)-	96	175-180	0,11	24,84
Поли(L-янзил, DL-норлейцил)-	92	185—190	0.12	23,20
Полн(L-лизня, L-фенилаланил)-	95	175—180	0,11	21,69
Поли(L-аспартил)-	87	110115	0,12	_
Поли(L-аспартил, DL-аланил)-	90	125—130	0,08	10,97
Поли(L-аспартил, DL-норлейцил)-	95	130—135	0,09	9,88

^{*} Полипептиды лизина — вода, 28°; аспарагиновой кислоты — диметилформамид. 28°.

Получение сарколизинсодержащих полипептидов L-аспарагиновой кислоты а) Получение в-бензиловых эфиров сарколизинсодержащих полипептидов L-аспарагиновой кислоты. Полимеризация N-карбоксиангидрида в-бензилового эфира L-аспарагиновой кислоты [5] и его сополимеризация с N-карбоксиангидридами DL-аланина или DL-норлейцина

в присутствии этилового эфира сарколизина проводились аналогично. Растворитель удалялся из образовавшегося вязкого раствора под вакуумом, остагок растирался в петролейном эфире, промывался диоксаном и петролейным эфиром (табл. 1).

б) Удаление в-бензильных групп. в-Бензиловый эфир полипептида смешивался с насыщенным раствором бромистого водорода в абс. диоксане и оставлялся при комнатной температуре 3 часа (осадок со временем растворяется). Далее прибавлялось пятикратное (по объему) количество абс. эфира и выпавшее вещество (маслообразное—производное полиаспарагиновой кислоты, твердое—сополипептид) многократно растиралось в абс. эфире, фильтровалось, промывалось абс. эфиром и осаждалось семикратным объемом эфира из 10% раствора в смеси диоксана и диметилформамида (1:1). Выпавший осадок растирался в эфире, фильтровался и сушился в вакуум-эксикаторе над КОН (табл. 2).

ԿԵՆՍԱՔԱՆՈՐԵՆ ԱԿՏԻՎ ՊՈԼԻՄԵՐՆԵՐ

IX. ՍԱՐԿՈԼԻԶԻՆ ՊԱՐՈՒՆԱԿՈՂ L-ԼԻԶԻՆԻ ԵՎ L-ԱՍՊԱՐԱԳԻՆԱԹԹՎԻ ՊՈԼԻՊԵՊՏԻԴՆԵՐԻ ՍԻՆԹԵԶ

8. b. UZUZULBUL L 4. L. ZUUPABUL

Հակաուտուցքային ակտիվության ուսումնասիրման նպատակով սինիեզված են ամիդային կապով սարկոլիզինի էթիլ էսթերին միացած Լ-լիզինի և Լ-ասպարագինաթթվի պոլիպեպտիդներ, ինչպես նաև վերջինների և գլիցինի, DL-ալանինի, DL-վալինի, DL-նորլեյցինի և L-ֆենիլալանինի համատեղ պոլիպեպտիդներ։

Պոլիպեպտիդներն ստացված են սարկոլիզինի էԹիլ էսԹերի ներկայու-Թյամբ ε-կարբոբենզօքսի-L-լիզինի և L-ասպարագինաԹԹվի β-բենզիլ էս-Թերի N-կարբօքսիանհիդրիդների պոլիմերացմամբ կամ նշված ամինաԹԹուների N-կարբօքսիանհիդրիդների հետ համատեղ պոլիմերացմամբ։

BIOLOGICALLY ACTIVE POLYMERS

IX. SYNTHESIS OF POLYPEPTIDES OF L-LYSINE AND L-ASPARTIC ACID CONTAINING SARCOLYSINE

Ts. Ye. AGHAJANIAN and K. L. HAMBOYAN

For the purpose of studying their antitumor activity polypeptides and copolypeptides of L-lysine and L-aspartic acid have been synthesized which are bonded with ethyl ester of sarcolysine by an amide linkage.

ЛИТЕРАТУРА

1. Ц. Е. Агаджанян, К. Л. Амбоян, Б. Т. Гарибджанян, А. А. Чачоян, Арм. хим. ж., 25, 955 (1972).

- 2. Ц. Е. Агаджанян, К. Л. Амбоян, Арм. хим. ж. (в печати).
- 3. M. Szekerke, R. Wade, F. Bergel, J. Chem. Soc., 1968, 1792.
- 4. M. Bergmann, L. Zervas, W. F. Ross, J. Biol. Chem., 111, 245 (1935).
- 5. A. Berger, E. Katchalski, J. Am. Chem. Soc., 73, 4084 (1951).

КРАТКИЕ СООБЩЕНИЯ

УДК 547.534.021

О ЗОНАХ ЛОКАЛИЗАЦИИ МОЛЕКУЛ о-КСИЛОЛА В МИЦЕЛЛАХ

Д. А. ВАРДАНЯН, А. А. ШАГИНЯН и Л. Г. МЕЛКОНЯН

Горисская лаборатория при ВЦ АН Армянской ССР Институт экспериментальной биологии АН Армянской ССР Ереванский государственный университет

Поступило 7 V 1974

Нами было показано, что стабилизация о-ксилола в мицеллах алкилсульфоната натрия в начале процесса сопровождается поглощением, а в дальнейшем—выделением тепла [1]. Для объяснения этого явления был предложен механизм солюбилизации с зародышеобразованием, согласно которому возникновение зародышей о-ксилола в мицеллах протекает с поглощением, а их дальнейший рост—с выделением тепла.

Дифференциальным микрокалориметрическим методом проведено исследование механизма солюбилизации о-ксилола с целью определения зон локализации его молекул в мицеллах алкилсульфоната натрия в воде. Измерения проводились в дифференциальном микрокалориметре КАЛЬВЕ-стандарт при 30° и рН 9,2. Механизм солюбилизации изучался в 5 и 15% растворах Е-30 (марка ПАВ) с предварительной затравкой о-ксилола. Суть эксперимента заключается в следующем: регистрируются тепловые эффекты насыщения мицелл, содержащих разное количество предварительно введенных молекул о-ксилола. Экспериментальные данные приведены на рис. 1, из которого видно, что удельный тепловой эффект (УТЭ), наблюдающийся при солюбилизации 1 моля о-ксилола в эндотермическом процессе, резко уменьшается с увеличением степени затравки ($C_{\mathrm{O}-\mathrm{K}}$) и практически исчезает при 10% $C_{\mathrm{O}-\mathrm{K}}$. По всей вероятности, это указывает на окончание процесса зародышеобразования в мицеллах. При 50% Со к процесс протекает с постоянным экзотермическим УТЭ, что характерно для ассоциации молекул о-ксилола в мицеллах. При 50-60% Со-к наблюдается скачкообразный рост эндотермического эффекта. Дальнейшее увеличение $C_{\mathbf{0}-\mathbf{K}}$ приводит к повторению картины, наблюдаемой в начальной части кривой, что и дает основание полагать о существовании двух зон локализации о-ксилола в мицеллах. Для выяснения вопроса о соответствии одной из наблюдаемых зон локализации гидрофильной или гидрофобной части мицелл нами была исследована степень связывания молекул о-ксилола по зонам локализации. С этой целью мы изучили термокинетику перераспределения молекул о-ксилола из мицелл разной насыщенности в пустые. Была снята кривая изменения тепловых эффектов смешивания 1 мл 15% раствора Е-30 в разной степени насыщенного о-ксилолом с 15% раствора, не содержащего о-ксилола (рис. 2). Как видно из рис. 2, тепловой эффект процесса до степени насыщения в 50% остается постоянным, очевидно, равным тепловому эффекту смешения мицелл, содержащих о-ксилол, с пустыми мицеллами. Выше 50% тепловой эффект увеличивается с ростом степени насыщения.

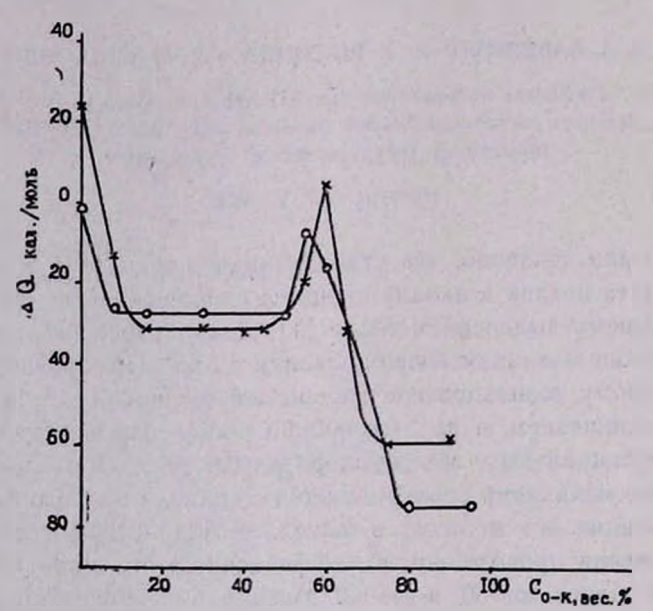


Рис. 1. Кривые изменения удельного теплового эффекта солюблизации от степени затравки мицелл o-ксилолом при разных концентрациях ПАВ: $x = 5^{\circ}/_{\circ}$; $o = 15^{\circ}/_{\circ}$.

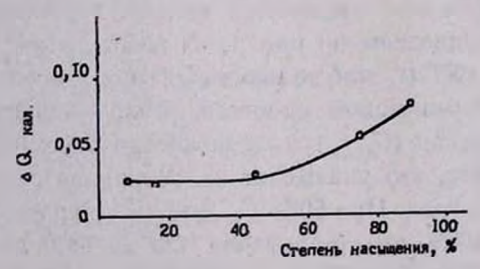


Рис. 2. Зависимость теплового эффекта перераспределения солюбилизированных молекул о-ксилола по пустым мицеллам от степени насыщения мицелл о-ксилолом.

Сопоставление результатов, приведенних на рис. 1 и 2, дает нам основание полагать, что 50% молекул о-коилола, проникших в мицеллы в начале процесса и не подвергшихся перераспределению по пустым мицеллам, вероятно, локализованы во внутренней, гидрофобной зоне мицелл, а остальная часть молекул, сравнительно легко перераспределяюцаяся по пустым мицеллам, локализована в гидрофильной зоне мицелл (слой Штерна).

ЛИТЕРАТУРА

1. А. А. Шигинян, Д. А. Варданян, Л. Г. Мелконян, ДАН СССР (в печати).

УДК 541.127

О ВЛИЯНИИ КОНЦЕНТРАЦИИ ПАВ НА КИНЕТИКУ СОЛЮБИЛИЗАЦИИ СУБСТРАТА

А. А. ШАГИНЯН, О. М. АЙВАЗЯН и Л. Г МЕЛКОНЯН

Институт экспериментальной биологии АН Арминской ССР, Ереван Ереванский государственный университет

Поступило 15 V 1974

Как известно [1], с увеличением концентрации водных растворов поверхностно-активных веществ (ПАВ) система претерпевает ряд последовательных структурных превращений от мицеллярного раствора до жидкокристаллических мезофаз. В воде агрегаты молекул ПАВ окружены слоем связанной воды, молекулы которой ориентированы под воздействием лоля диссоциированных монов молекул ПАВ.

В жидкокристаллических мезофазах вся вода в системе переходит в связанное, ориентированное состояние. Помимо структурных свойств, растворы ПАВ обладают также опособностью солюбилизовать не растворимые или малорастворимые в воде вещества. Имеющиеся литературные данные дают основание полагать, что молекулы субстрата распределяются по гидрофильным (слой Штерна) и гидрофобным зонам агрегатов ПАВ (2,3).

Для выяснения зависимости процесса солюбилизации от структурных изменений агрегатов ПАВ нами изучена кинетика солюбилизации о-, м- и n-коилолов, в водных растворах алкилсульфоната натрия (C₁₅H₃₁SO₃Na) марки Е-30 (содержание основного вещества 97, примесей 3%) в широком интервале концентраций—от критической концентрации мицеллообразования (ККМ) до 1,6 моль/л. Одновременно для контроля над структурными переходами агрегатом ПАВ был исследован логарифм вязкости системы до и после солюбилизации. о-, м-, n-Ксилолы марки «ч.д.а.» были использованы лосле повторной ректификации.

Кинетические кривые солюбилизации получены на установке (рис. 1), принцип работы которой заключается в следующем: через определенные промежутки времени под давлением воздуха органическая фаза, нанесенная тонким слоем на поверхность водного раствора ПАВ в реакторе, поднимается в капилляр 4, где и определяется ее расход. Измерения проводились при 20°, рН = 9,2. Ввиду того, что данные, полученные для всех изомеров ксилола, идентичны, на кривых будет фигурировать «ксилол».

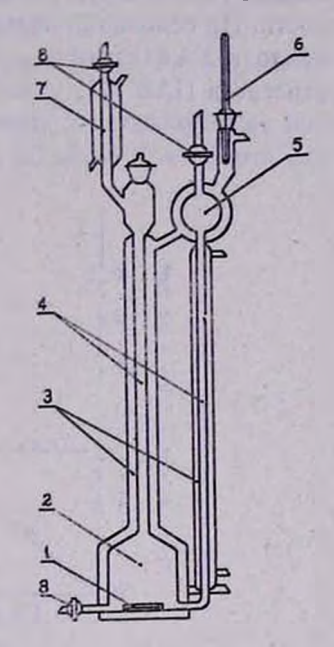
Из кривых изменения как абсолютной I (рис. 2), так и удельной 2 (рис. 2) величин солюбилизации (УВС-количество солюбилизован-

ного вещества в молях, приходящее на один моль ПАВ) с концентрацией ПАВ видно, что при 0,8—1,0 моль/л имеет место скачок УВС, что несомненно, обусловлено структурным изменением мицелл.

На рис. З приведены зависимости абсолютной (1) и удельной (2) скоростей солюбилизации от концентрации ПАВ. Как видно из кривых,

начальная стадия солюбилизации имест первый порядок по концентрации ПАВ (порядок определен углом наклона прямолинейной зависимости логарифма начальной скорости от логарифма концентрации ПАВ). Структурные изменения, имеющие место в интервале концентраций ПАВ от 0,8 до 1,0 моль/л приводят к уменьшению скорости просачивания молекул ксилола впутрь агрегатов. При концентрациях выше 0,8 моль/л, вследствие сильного роста вязкости системы, скорость диффузии молекул ксилола быстро падает и скорость солюбилизации уменьшается.

Рис. 3. Схема установки для измерения скорости солюбилизации: 1 — магинтная мешалка, 2 — реактор, 3 — термостатическая рубашка, 4 — градупрованные канилляры, 5 — реасрвуар, 6 — термометр, 7 — водяной холодильник, 8 — краны.



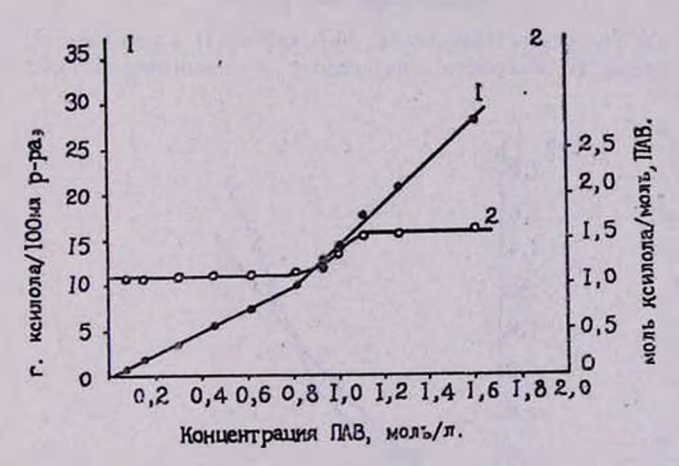


Рис. 2. Кривые изменения абсолютной (1) и удельной (2) величин солюбилизации ксилола с концентрацией ПАВ.

Для проверки сделанных предположений изучена зависимость логарифма вязкости системы до и пссле солюбилизации от концентрации ПАВ. (рис. 4). Как видно из кривой I (рис. 4), логарифм вязкости системы имеет перегиб при концентрации ПАВ 0,9 моль/л. Аномальное поведение логарифма вязкости при концентрациях выше 0,9 моль/л яв-

ляется следствием образования асимметричных стержнеобразных мицелл [4,5]. Из кривой 2 рис. 4 видно некоторое увеличение логарифма вязкости системы при наличии ксилола при концентрации ПАВ ниже 0,9 моль/л, что, вероятно, обусловлено укрупнением мицелл [6]. При высоких концентрациях ПАВ наблюдается уменьшение логарифма вязкости. На основании полученных данных и при учете того, что молекулы ксилола локализуются как в гидрофобной, так и в гидрофильной зонах агрегатов ПАВ [7], можно полагать, что наличие ксилола в гидрофильной зоне приводит к некоторому уменьшению количества связанной воды, что, в свою очередь, тормозит появление мезофаз.

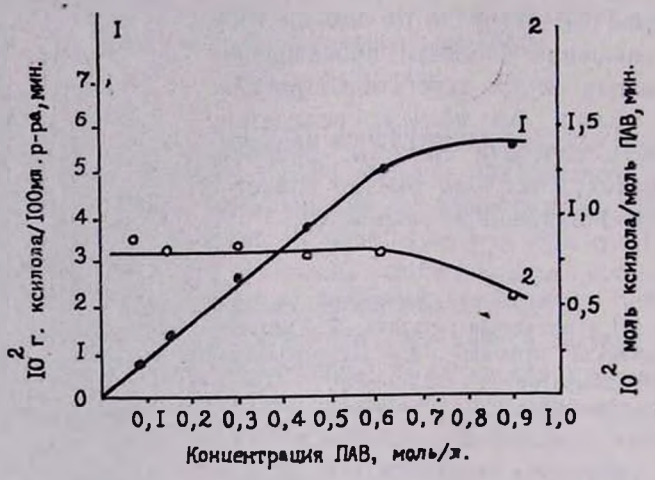


Рис. 3. Кривые изменения абсолютной (1) и удельной (2) скоростей солюбилизации ксилола с концентрацией ПАВ.

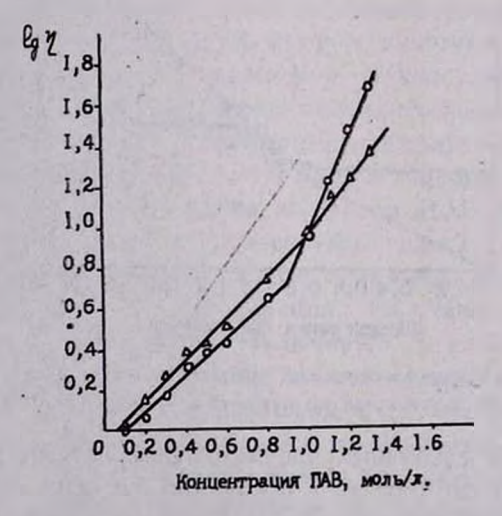


Рис. 4. Кривые изменения логарифма вязкости системы до (о) и после (\triangle) солюбилизации ксилола с концентрацией ПАВ.

ЛИТЕРАТУРА

- 1. V. Luzzatt, H. Mustacchi, A. Skoultos, F. Hussou, Acta Cryst. 13, 660 (1960).
- 2. S. Riegelman, N. A. Allawala, M. K. Hrenoff, L. A. Stalt, J. Colloid Sci. 13, 203 (1958),
- 3. J. C. Eriksson, G. Grillberg, Surface chem. 148, 1965.
- 4. А. В. Чинникова, З. Н. Маркина, Г. А. Корнеева, Коллоид. ж., 34, № 2, 1972.
- 5. Per Ekwall, Leo Mondell, Krister Fontell, Molecular crystals and Liquid Crystals, 8, 157, 1969.
- А. В. Чинникова, З. Н. Маркина, П. А. Ребиндер, Коллонд, ж., 34, 288, 1970.
- 7. Д. А. Варданян, А. А. Шагинян, Л. Г. Мелконян, Арм. хим. ж., 37, 901, 1974.

УДК 547.781.1

2[α-(2'-МЕТИЛ-4'-ҚАРБОҚСИХИНОЛИЛ-3')]АЛҚИЛБЕНЗ-ИМИДАЗОЛЫ

3. В. ЕСАЯН и Г. Т. ТАТЕВОСЯН

Институт тонкой органической химии им. А. Л. Миджояна

АН Армянской ССР, Ереван

В продолжение исследований по алкилбензимидазолам в настоящем сообщении описываются 2[α-(2'-метил-4'-карбоксихинолил-3')] алкилбензимидазолы, синтезированные по схеме

Конденсация описанных ранее [1] 2-(α-алкил-γ-кетобутил) бензимидазолов (I) с изатином проводилась в спиртово-щелочной среде: соединения II получались с выходами 41—58%. Строение подтверждено оравнением их УФ спектров со спектром эквимольной смеси 2-метил-бенэимидазола и 2,3-диметил-4-карбоксихинолина и ПМР спектром соединения II R=H, δ м. д.: 2,59 (3H, синглет, протоны CH₃ группы); 3,65 (2H, мультиплет, протоны CH₂ группы).

Экспериментальная часть

2(α-(2'-Метил-4'-карбоксихинолил-3')] алкилбензимидазолы (11). Смесь 0,011 моля 2-(α-алкил-γ-кетобутил) бензимидазола, 1,47 г (0,01 моля) изатина и 1,68 г (0,03 моля) едкого кали в 30 мл спирта кипятилась с обратным холодильником при перемешивании 24 часа. После отгонки большей части спирта добавлялась вода. Раствор отфильтровывался от непрореагировавшего исходного кетона, кипятился с углем и после фильтрования подкислялся уксуоной кислотой до рН 7. Выходы и константы соединений приведены в таблице.

Таблица

						Дигидрохлорид			
	0/0		Анализ, ⁰ /₀			7)	Cl, º/o		
R	Выхол,	т. пл., °С	найдено	вычис-	R	Т. пл., °С	пайдено	вычис-	
Н	58,0	176—177	13,44	13,24	0,77*	242—244	18,67	18,20	
CH ₃	45,3	165—167	12,98	12,68	0,69*	179181	17,30	17,57	
C ₂ H ₅	52,1	178—179	12,30	12, 17	0,67**	159—161	16,53	16,98	
C ₃ H ₇	41,7	172—174	11,77	11,69	0,78*	187—199	17,05	16,49	
C4H,	46,4	150-152	10,81	11,26	0.62**	161-163	16,20	15,91	

Растворители: метанол—уксусная кислота $(3,2:0,2)^*$; метанол—уксусная кислота $(3,2:0,1)^{**}$ силикатель—гипс, проявление в УФ свете.

ЛИТЕРАТУРА

1. З. В. Есаян, Г. Т. Татевосян, Л. А. Манучарова, Арм. хим. ж., 25,345 (1972).

Ընդհանուս և ֆիզիկական քիմիա	
Ճշմարիայան Ջ. Հ., Բեյլերյան Ն. Մ., Մկրաչյան Է. Հ. — Ջրային լուծույք ներում պերսուլֆատով գլիցինի օբորդացման կինետիկայի ուսումնասիրություն և տարրական ակտերի հաստատունների որոշում	819
Թառայան Վ. Մ., Միրզոյան Ֆ. Վ., Սարգսյան Ժ. Վ. — Մեքիլային կանաչ հիմ- նային ներկանյութով՝ պերռենատ-իոնի էջստրագման առանձնահատկու- թյունների մասին	825
Աբրանամյան Ա. Ա., Մեդրոյան Հ. Ա., Քոչարյան Ա. Ա., Թևոսյան Ա. Ս.— Օրգա- Նական միացությունների էլեմենտային միկրոանալիզում կալիումի պեր- մանդանատի ջերմային ջայջայման պրոդուկտի, նստեցրած պեմզայի վրա, օգտագործումը որպես այրման կատալիզատոր և կլանիչ	832
Orqueaujus fhulpu	•
Գումմել Դ, 0., Շաենցենբերգեր Գ., Հայնեն Կ. Ու., Ռոզեն Գ.— Ջերմառեակաիվ թիսմալեիմիդներ՝ մանրաթելով ամրանացված բարձր ջերմակայունու- թյուն և մեծ ամրություն ունեցող նյութերի ստացման համար	838
Սարկիսյան Կ. Լ., Մինասյան Տ. Տ., Բաղանյան Շ. Հ. — ՉՏագեցած միացություն- Ների ոեակցիաները։ XVIII. Օրդանական ԹԹուների հալոգենանհիղրիղների փոխազդեցությանը ղուդորդված կրկնակի կապեր պարունակող միացու-	
թյունների հետ Բաղանյան Շ. Հ., Ոսկանյան Մ. Գ., Չոբանյան Ժ. Ա. — Ձհաղեցած ժիացություն-	848
Ների ռեակցիաները, XIX. Վինիլացետիլենային հալոգենիգների վերա- կանգնող դեհալոգիմերիզացիայի նոր ռեակցիայի մասին ւ	852
ների բնադավատում։ CIV. Ցիկլացման ռեակցիա	861
<i>Ների սինՁեդ</i>	868
յալների ալկիլումը ստիրոլով նատրիումի ներկայությամբ Մարզարյան Է. Ա., Հաջիբեկյան Ա. Ս., Ղարագյոցյան Ս. Գ. — Աթիլ և ցիկլոալկիլ	872
խմբեր պարունակող ալդեհիգների սին թեղ համապատասխան նիտրիլներից	878
Իրադյան Մ. Ա., Թորոսյան Ա. Գ., <u>Հարոյան Հ. Ա. — Իժիղազոլի ածանցյալներ</u> ։	
V. Մի ջանի սին Թեզներ 4(6)-արիլիմիդազոլների բազայի վրա Աղաջանյան 8. Ե., Համբոյան Կ. Լ. — Կենսարանորեն ակտիվ պոլիմերներ։ VIII.	884
Սարկոլիզին պարունակող պոլի- և համատեղ պոլիպեպտիդների սինթեղ Աղաջանյան 8. Ե., Համբոյան Կ. Լ. — Կենսարանորեն ակաիվ պոլիմերներ։ IX. Սարկոլիզին պարունակող L-լիզին և L-ասպարգինաԹԹվի պոլիպեպտիդ-	890
ների սինքեղ	896
Կաrն հաղուգում ն եր	
Վարդանյան Դ. Ա., Շաճինյան Ա. Ա., Մելբոնյան Լ. Գ. — Միցելներում Նյութի մոլեկուլաների կենտրոնացման գոտիների մասին	901
Շաճինյան Ա. Ա., Այվազյան Հ. Մ., Մելքոնյան Լ. Գ. — ՄԱՆ-ի կոնցենտրացիայի աղդեցությունը նյութի սոլյուրիլացման կինետիկայի վրա	904
իսայան Ձ. Վ., Բ ադևոսյան Գ. Տ. — Հ- (Հ- <i>Մեթիլ</i> - 4-կարրօքսիխինսլիլ-3)ալ-	
կիլբենցաժիդագոյներ	908

СОДЕРЖАНИЕ

	Стр.
Общая и физическая химия	
Чшмаритин Дж. Г., Бейлерян Н. М., Мкртчян Э. А. — Изучение кинетики	
окисления глицина персульфатом калия в водных растворах и опре-	
деление констант элементарных актов	819
The state of the s	0.5
Неорганическая и аналитическая химия	
Тараян В. М., Мирзоян Ф. В., Саркисян Ж. В. — К особенностям экстрак-	
ции перренат-нона основным красителем-метиленовым зеленым	825
Абрамян А. А., Мегроян Р. А., Кочарян А. А., Тевосян А. С. — Примене-	
пие продукта термического разложения перманганата калия, осажден-	
пого на асбесте или пемзе, в качестве катализатора сожжения и по-	
глотителя при элементном анализе органических соединений	832
Органическая химия	
Гуммель Д. О., Штенценбергер Г., Гайнен К. У., Розен Г. — Термореак-	
тивные бис-малеимиды для высокотермостойких и высокопрочных ма-	
териалов, армированных волокном	838
Саркисян К. Л., Минасян Т. Т., Баданян Ш. О. — Реакция непредельных	
соединений. XVIII. Взаимодействие галогенангидридов органических	
кислот с соединениями, содержащими сопряженные кратные связи	848
Баданян Ш. О., Восканян М. Г., Чобанян Ж. А. — Реакции непредельных	
соединений. XIX. О новой реакции восстановительной дегалодиме-	050
ризации винилиропаргильных галогенидов	852
баян А. Т. — Исследовання в области аминов и аммониевых соеди-	
пения. CIV. Реакция циклизации	861
Аракелян С. В., Акопян С. М., Дангян М. Т. — Синтез 2-алкил(арил)-N-(ш-	001
аминогетраметил)-у-валеролактамов и соответствующих бис-лактамов	868
Григорян Э. А., Сукиасян Г. Г., Мартиросян Г. Т. — Алкилирование произ-	- 10
водных кислот стиролом в присутствии натрия	872
Маркарян Э. А., Аджибекян А. С., Карагезян С. Г. — Синтез альдегидов,	
содержащих арильные и циклоалкильные фрагменты, из соответствую-	
щих интрилов	878
Ирадян М. А., Торосян А. Г., Ароян А. А. — Производные имидазола. V.	
	884
Некоторые синтезы на базе 4(5)-арилимидазолов	004
Синтез сарколизинсодержащих поли- и сополипептидов	890
Агаджанян Ц. Е., Амбоян К. Л. — Биологически активные полимеры. IX.	030
Синтез сарколизинсодержащих полипептидов L-лизина и L-аспаргино-	
вой кислоты	896
Краткие сообщения	
Варданян Д. А., Шагинян А. А., Мелконян Л. Г О зопах локализации	
молекул о-ксилола в мицеллах	901
Шагинян А. А., Айвазян О. М., Мелконян Л. Г. — О влиянии концентра-	
ции ПАВ на кинетику солюбилизации субстрата	904
<i>Есаян З. В.</i> , <i>Татевосян Г. Т.</i> — 2-[(2-2'-Метил-4'-карбоксихинолил-3')]ал-	
	908.
килбензимилязолы	900

CONTENTS

General and Physical Chemistry

Chshmarttian J. H., Beylerian N. M., Mkrtchian E. H. — Kinetics of Glycine Oxidation by Potassium Persulfate in Aqueous Solutions and Rate Constants the Elementary Steps	819
Inorganic and Analytical Chemistry	
Tarayan V. M., Mirzoyan F. V., Sarkissian Zh. V.— On the Peculiarities of the Extraction of Perchenate-ion Basic Dye of Methyl Green Abramian A. A., Meghroyan H. A., Kocharian A. A., Tevossian A. S.—The Use of the Thermal Destruction Product of Potassium Permanganate Precipitated on Pumices Stone as a Catalyst and Absorber in the Elemental Microanalysis of Organic Compounds	825 832
Organic Chemistry	
Gumel D. O., Shtentsenberger G., Haynen K. U., Rosen G. — Thermoreactive bis-maleimides for Highly Thermostable and Durable Materials Rinforced with Fibres	838
Organic Acids with the Compounds Containing Conjugated Double Bounds	848
turated Compounds. XIX. On New Reaction of Reductive Dehalodimerization of Vinylpropargylhalides	852
bayan A. T.— Investigation in the Field of Amines and Ammonium Compounds. CIV. The Cyclications Reaction	862
Arakellan S. V., Hakoplan S. M., Danghlan M. T. — Synthesis of α-Alkyl-(aryl)-N-(ω-aminothetramethyl)-Valerolaciams and bls-lactams	868
Grigorian E. A., Suklassian G. G., Martirossian G. T.—The Alkylation of Acid Derivatives with Styrene in the Presence of Sodium	872
Markarian E. A., Hajibekian A. S., Gharagezian S. G. — Synthesis of Aldehydes Containing Aryl, Cycloalkyl Fragments from the Corresponding Nitriles	878
Iradian M. A., Torossian A. G., Haroyan H. A Imidazole Derivatives.	
V. Syntheses on the Basis of 4(5)-Arylimidazoles	884
Syntheses of Poly- and Copolypeptides Containing Sarcolysine Aghajanian Ts. Ye., Hambojan K. L. — Biologically Active Polymers. IX. Synthesis of Polypeptides of L-lysine and L-aspartic Acid Containing	890
Sarcolysine	896
Short Communications	
Vardanian J. A., Shahinian A. A., Melconian L. G.— About Location Zones of Substratum Molecules in Micels	901
lization	904
Alkylbenzimidazoles	908